



UNIVERSITAS INDONESIA

**PENGARUH EKSITASI EKSTERNAL BERUPA INJEKSI GAS
PANAS TERHADAP POLA ALIRAN PADA ZONA
RESIRKULASI GEOMETRI *BACKWARD-FACING STEP***

SKRIPSI

PRIYA NUGRAHA

0606073423

FAKULTAS TEKNIK

PROGRAM STUDI TEKNIK MESIN

DEPOK

JULI 2010



UNIVERSITAS INDONESIA

**PENGARUH EKSITASI EKSTERNAL BERUPA INJEKSI GAS
PANAS TERHADAP POLA ALIRAN PADA ZONA
RESIRKULASI GEOMETRI *BACKWARD-FACING STEP***

SKRIPSI

Diajukan sebagai salah satu syarat untuk memperoleh gelar Sarjana Teknik

PRIYA NUGRAHA

0606073423

FAKULTAS TEKNIK

PROGRAM STUDI TEKNIK MESIN

DEPOK

JULI 2010

HALAMAN PERNYATAAN ORISINALITAS

**Skripsi ini adalah hasil karya saya sendiri,
dan semua sumber baik yang dikutip maupun dirujuk
telah saya nyatakan dengan benar.**



HALAMAN PENGESAHAN

Skripsi ini diajukan oleh :

Nama : PRIYA NUGRAHA

NPM : 0606073423

Program Studi : Teknik Mesin

Judul Skripsi : PENGARUH EKSITASI EKSTERNAL BERUPA INJEKSI GAS PANAS TERHADAP POLA ALIRAN PADA ZONA RESIRKULASI GEOMETRI BACKWARD-FACING STEP

Telah berhasil dipertahankan di hadapan Dewan Pengaji dan diterima sebagai bagian persyaratan yang diperlukan untuk memperoleh gelar Sarjana Reguler pada Program Studi Teknik Mesin Fakultas Teknik, Universitas Indonesia

DEWAN PENGUJI

Pembimbing : Dr. Ir. Harinaldi, M.Eng

Pengaji : Dr. Ir. Engkos A. Kosasih M.T.

Pengaji : Dr. Ir. Warjito, M.Eng

Pengaji : Ardiyansyah S.T., M.Eng

Ditetapkan di : Depok

Tanggal : 12 – Juli - 2010

KATA PENGANTAR

Puji syukur penulis panjatkan kepada Tuhan Yang Maha Esa, karena atas berkat dan rahmat-Nya, saya dapat menyelesaikan skripsi berjudul “Pengaruh Eksitasi Eksternal Berupa Injeksi Gas Panas Terhadap Pola Aliran Pada Zona Resirkulasi Geometri *Backward-Facing Step*“. Penulisan skripsi ini dilakukan dalam rangka memenuhi salah satu syarat untuk mencapai gelar Sarjana Teknik pada jurusan Teknik Mesin Universitas Indonesia. Penulis menyadari bahwa, tanpa bantuan dan bimbingan dari berbagai pihak, dari masa perkuliahan sampai pada penyusunan skripsi ini, sangatlah sulit bagi penulis untuk menyelesaikan skripsi ini. Oleh karena itu, penulis mengucapkan terima kasih kepada:

- (1) Ibu dari penulis yang tak pernah hentinya mendukung dan memberi bantuan secara moral yang tak ternilai dalam mengerjakan skripsi ini dan almarhum Ayah yang sudah membentuk kepribadian penulis hingga saat ini;
- (2) Dr.Ir.Harinaldi M.Eng, selaku dosen pembimbing yang telah menyediakan waktu, tenaga, dan pikiran untuk mengarahkan penulis dalam penyusunan skripsi ini;
- (3) Kak Damora Rhakasyiwi, sebagai mahasiswa tingkat lanjut yang telah membantu mengerjakan skripsi ini baik secara teori maupun eksperimental;
- (4) Dipo Andika Syarieff, sebagai rekan kerja penggerjaan skripsi ini dimana dengan partisipasinya, pelaksanaan skripsi ini dapat berjalan lancar berkat dukungan dan kerja samanya;
- (5) Seseorang yang telah memberi penulis motivasi tambahan selama hampir 4 tahun perkuliahan , keberadaannya merupakan salah satu faktor penting dari hasil usaha penulis hingga saat ini;
- (6) R. Achmad Farid, R.Achmad Fakhri dan Danang Eka P selaku teman seperjuangan dari awal masa perkuliahan;
- (7) Anggariawan Adi, Danal Arfad, Edwin Waskito,Lintang Martulesy, Reza Kurnia sebagai teman bekerja dan bercanda selama masa perkuliahan;

- (8) Nursanty Elisabeth, Martha Indah, Octaviandy, Rikko Defriadi, Achmad Shoim dan Nicolaus CTPP dan semua mahasiswa penghuni lab lantai 3 sebagai pemberi dukungan dan peningkat semangat menyelesaikan skripsi;
- (9) Mas Udiyono, selaku karyawan dan asisten lab lantai 3 atas bantuan yang diberikan;
- (10) Priza Karunia dan Prima Anugerah, selaku saudara penulis yang membantu penulis dalam menyelesaikan skripsi;
- (11) M.Muammar Faruq , Deddy Rizky Sahar, Dhana D, Ferdy Bastian, Ricky Rafiandy dan Septian sebagai teman bercanda pada saat berkumpul di gazebo mesin;
- (12) Semua karyawan Departemen Teknik Mesin yang tidak dapat disebutkan satu per satu atas dukungannya;
- (13) Semua dosen yang telah membantu penulis hingga saat sehingga mampu mengerjakan skripsi ini;
- (14) Semua teman Departemen Teknik Mesin yang tak dapat disebutkan satu per satu dimana tak hentinya memberi dukungan moral untuk menyelesaikan skripsi ini;
- (15) Klub Chelsea F.C yang telah menghibur selama 1 tahun terakhir masa perkuliahan.

Akhir kata, saya berharap Tuhan Yang Maha Esa berkenan membala segala kebaikan semua pihak yang telah membantu. Semoga skripsi ini membawa manfaat bagi pengembangan ilmu.

Depok, 30 Juli 2010



Penulis

HALAMAN PERNYATAAN PERSETUJUAN PUBLIKASI

TUGAS AKHIR UNTUK KEPENTINGAN AKADEMIS

Sebagai sivitas akademik Universitas Indonesia, saya yang bertanda tangan di bawah ini :

Nama : Priya Nugraha

NPM : 0606073423

Program Studi : Sarjana Reguler

Departemen : Mesin

Fakultas : Teknik

Jenis Karya : Skripsi

demi pengembangan ilmu pengetahuan, menyetujui untuk memberikan kepada Universitas Indonesia **Hak Bebas Royalti Noneksklusif (Non-exclusive Royalty-Free Right)** atas karya ilmiah saya yang berjudul :

PENGARUH EKSITASI EKSTERNAL BERUPA INJEKSI GAS PANAS TERHADAP POLA ALIRAN PADA ZONA RESIKULASI GEOMETRI BACKWARD-FACING STEP

beserta perangkat yang ada (jika diperlukan). Dengan Hak Bebas Royalti Noneksklusif ini Universitas Indonesia banyak menyimpan, mengalihmedia/format-kan, mengelola dalam bentuk pangkalan data (*database*) merawat, dan memublikasikan tugas akhir saya selama tetap mencantumkan nama saya sebagai penulis/pencipta dan sebagai pemilik Hak Cipta.

Demikian pernyataan ini saya buat dengan sebenarnya.

Dibuat di : Depok

Pada tanggal : 30 Juli 2010

Yang Menyatakan

(*Priya Nugraha*)

ABSTRAK

Name : Priya Nugraha
Program Studi : Teknik Mesin
Title : PENGARUH EKSITASI EKSTERNAL BERUPA INJEKSI GAS PANAS TERHADAP POLA ALIRAN RESIRKULASI PADA GEOMETRI *BACKWARD-FACING STEP*

Resirkulasi merupakan suatu fenomena dasar pada suatu aliran yang mengalami separasi dimana aliran tersebut dapat dipengaruhi oleh suatu eksitasi eksternal yang dikontrol secara aktif sehingga mempengaruhi karakteristik aliran tersebut. Salah satu metode eksitasi eksternal adalah dengan menginjeksikan gas panas sehingga terjadi perpindahan massa dan kalor pada aliran resirkulasi tersebut. Aliran resirkulasi yang telah dipengaruhi eksitasi eksternal ini akan mempunyai efektifitas berbeda dan untuk memperdalam keefektifitasan aliran tersebut, salah satu metodenya adalah mempelajari pola aliran resirkulasi tersebut dengan menggunakan metode visualisasi berkecepatan tinggi berbasis lembar cahaya terutama pada bagian resirkulasi itu sendiri. Pendekatan yang digunakan untuk metode visualisasi ini ada dua , yaitu pendekatan kualitatif dan kuantitatif dimana dengan dipelajarinya aliran tersebut dengan kedua pendekatan ini akan dapat mendalami kajian komprehensif mengenai aliran resirkulasi dengan eksitasi eksternal tersebut.

Kata kunci :

Aliran Resirkulasi, Injeksi Udara Panas, Visualisasi Berkecepatan Tinggi

ABSTRACT

Name : Priya Nugraha
Program Studi : Teknik Mesin
Title : EFFECT OF EXTERNAL EXCITATION BY HEATED GAS INJECTION TO THE FLOW PATTERN OF RECIRCULATION ZONE AT A BACKWARD FACING STEP GEOMETRY

Recirculation is a basic phenomena in a flow that underwent a separation process where that exact flow could be affected by an active control system which injects hot gas into the recirculation zone to modify the characteristic of the flow itself. With the injected hot gas, there is bound to be heat and mass transfer that will change the effectiveness of the flow, one of the method to study the recirculation flow pattern is with a high speed visualization based on light sheet emitter especially at the recirculation zone itself. Two approach that is used in the method are quantitative and qualitative approach where with a comprehensive studies on both of these approach will hopefully enhance the knowledge about the characteristic modification in a recirculation zone.

Keywords :

Recirculation Zone, Hot Gas Injection, High Speed Visualization

DAFTAR ISI

JUDUL	i
PERNYATAAN KEASLIAN SKRIPSI	ii
PENGESAHAN	iii
UCAPAN TERIMA KASIH	iv
HALAMAN PERNYATAAN PERSETUJUAN PUBLIKASI	vi
TUGAS AKHIR UNTUK KEPENTINGAN AKADEMIS	
ABSTRAK	vii
ABSTRACT	viii
DAFTAR ISI	ix
DAFTAR GAMBAR	xi
DAFTAR TABEL	xiv
DAFTAR SIMBOL	xv
BAB 1 PENDAHULUAN	1
1.1 Latar Belakang	1
1.2 Perumusan Masalah	3
1.3 Tujuan Penelitian	3
1.4 Pembatasan Masalah	3
1.5 Metodologi Penelitian	4
1.6 Sistematika Penulisan	5
BAB 2 TINJAUAN PUSTAKA	6
2.1 <i>Separated – Reattaching Flow</i>	6
2.2 <i>Backward – Facing Step</i>	7
2.3 Lapisan Batas, Lapisan Geser dan Separasi	9
2.4 Sistem dan Volume Atur	10
2.5 Eksitasi Eksternal	11
2.6 Visualisasi Berkecepatan Tinggi Berbasis Lembar Cahaya	12
BAB 3 METODE PENELITIAN	13
3.1 Peralatan Penelitian	14
3.2 Peralatan Pengukuran	22
3.3 Prosedur Penelitian	23
3.4 Kondisi Percobaan	26
BAB 4 ANALISA DAN PEMBAHASAN	27
4.1 Analisa Kualitatif	27
4.1.1 Ketinggian <i>Step</i> 20 mm	27
4.1.2 Ketinggian <i>Step</i> 40 mm	34
4.2 Analisa Kuantitatif	40
4.2.1 Ketinggian <i>Step</i> 20 mm	42
4.2.1 Ketinggian <i>Step</i> 40 mm	52
BAB 5 KESIMPULAN DAN SARAN	62
5.1 Kesimpulan	62

5.2 Saran	63
DAFTAR REFERENSI	64
LAMPIRAN	66



DAFTAR GAMBAR

	Hal	
Gambar 1.1	Pola Aliran Resirkulasi <i>Backward – Facing Step</i>	2
Gambar 2.1	<i>Backward – Facing Step</i>	7
Gambar 2.2	Sistem dan Volume Kendali	10
Gambar 3.1	Skema Eksperimental Alat	11
Gambar 3.2	Foto alat penelitian secara keseluruhan	14
Gambar 3.3	<i>Wind Tunnel</i> skala kecil	14
Gambar 3.4	<i>Blower</i> Sentrifugal	16
Gambar 3.5	Tampak Samping <i>Test Section</i> Beserta Dimensi	17
Gambar 3.6	<i>Heater Control Unit</i>	18
Gambar 3.7	Skema Prinsip Kerja <i>Nebulizer</i>	18
Gambar 3.8	<i>Nebulizer</i>	19
Gambar 3.9	<i>Voltage Regulator</i>	21
Gambar 3.10	<i>Dark room</i>	22
Gambar 3.10	Skema Manometer Kapiler	22
Gambar 4.1	Rangkaian Gambar Pola Aliran Kondisi Rasio Injeksi Injeksi 0,1 dan Temperatur 100 °C Untuk Tinggi <i>Step</i> 20 mm	28
Gambar 4.2	Rangkaian Gambar Pola Aliran Kondisi Rasio Injeksi Injeksi 0,1 dan Temperatur 300 °C Untuk Tinggi <i>Step</i> 20 mm	30
Gambar 4.3	Rangkaian Gambar Pola Aliran Kondisi Rasio Injeksi Injeksi 0,5 dan Temperatur 100 °C Untuk Tinggi <i>Step</i> 20 mm	31
Gambar 4.4	Rangkaian Gambar Pola Aliran Kondisi Rasio Injeksi Injeksi 0,5 dan Temperatur 300 °C Untuk Tinggi <i>Step</i> 20 mm	33
Gambar 4.5	Rangkaian Gambar Pola Aliran Kondisi Rasio Injeksi Injeksi 0,1 dan Temperatur 100 °C Untuk Tinggi <i>Step</i> 40 mm	34
Gambar 4.6	Rangkaian Gambar Pola Aliran Kondisi Rasio Injeksi Injeksi 0,1 dan Temperatur 300 °C Untuk Tinggi <i>Step</i> 40 mm	36
Gambar 4.7	Rangkaian Gambar Pola Aliran Kondisi Rasio Injeksi Injeksi 0,5 dan Temperatur 100 °C Untuk Tinggi <i>Step</i> 40 mm	37

Gambar 4.8	Rangkaian Gambar Pola Aliran Kondisi Rasio Injeksi Injeksi 0,5 dan Temperatur 300 °C Untuk Tinggi <i>Step</i> 40 mm	39
Gambar 4.9	Scaling Citra Kondisi Ketinggian <i>Step</i> 20 mm	41
Gambar 4.10	Scaling Citra Kondisi Ketinggian <i>Step</i> 40 mm	41
Gambar 4.11	Grafik Perbandingan Kondisi Injeksi Dan Tanpa Injeksi Bagian <i>Upstream Y=1</i> Dengan Tinggi <i>Step</i> 20 mm	42
Gambar 4.12	Grafik Perbandingan Kondisi Injeksi Dan Tanpa Injeksi Bagian <i>Upstream Y=2</i> Dengan Tinggi <i>Step</i> 20 mm	43
Gambar 4.13	Grafik Perbandingan Kondisi Injeksi Dan Tanpa Injeksi Bagian <i>Upstream Y=3</i> Dengan Tinggi <i>Step</i> 20 mm	43
Gambar 4.14	Grafik Perbandingan Kondisi Injeksi Dan Tanpa Injeksi Bagian <i>Upstream Y=4</i> Dengan Tinggi <i>Step</i> 20 mm	44
Gambar 4.15	Grafik Perbandingan Kondisi Injeksi Dan Tanpa Injeksi Bagian <i>Upstream Y=5</i> Dengan Tinggi <i>Step</i> 20 mm	44
Gambar 4.16	Grafik Perbandingan Kondisi Injeksi Dan Tanpa Injeksi Bagian <i>Downstream Y=1</i> Dengan Tinggi <i>Step</i> 20 mm	46
Gambar 4.17	Grafik Perbandingan Kondisi Injeksi Dan Tanpa Injeksi Bagian <i>Downstream Y=2</i> Dengan Tinggi <i>Step</i> 20 mm	46
Gambar 4.18	Grafik Perbandingan Kondisi Injeksi Dan Tanpa Injeksi Bagian <i>Downstream Y=3</i> Dengan Tinggi <i>Step</i> 20 mm	47
Gambar 4.19	Grafik Perbandingan Kondisi Injeksi Dan Tanpa Injeksi Bagian <i>Downstream Y=4</i> Dengan Tinggi <i>Step</i> 20 mm	47
Gambar 4.20	Grafik Perbandingan Kondisi Injeksi Dan Tanpa Injeksi Bagian <i>Downstream Y=5</i> Dengan Tinggi <i>Step</i> 20 mm	48
Gambar 4.21	Grafik Standar Deviasi Kondisi Dengan Dan Tanpa Injeksi Pada <i>Y=1</i> Untuk Ketinggian <i>Step</i> 20 mm	49
Gambar 4.22	Grafik Standar Deviasi Kondisi Dengan Dan Tanpa Injeksi Pada <i>Y=2</i> Untuk Ketinggian <i>Step</i> 20 mm	49
Gambar 4.23	Grafik Standar Deviasi Kondisi Dengan Dan Tanpa Injeksi Pada <i>Y=3</i> Untuk Ketinggian <i>Step</i> 20 mm	50
Gambar 4.24	Grafik Standar Deviasi Kondisi Dengan Dan Tanpa Injeksi Pada <i>Y=4</i> Untuk Ketinggian <i>Step</i> 20 mm	50

Gambar 4.25	Grafik Standar Deviasi Kondisi Dengan Dan Tanpa Injeksi Pada <i>Y=5 Untuk Ketinggian Step 20 mm</i>	51
Gambar 4.26	Grafik Perbandingan Kondisi Injeksi Dan Tanpa Injeksi Bagian <i>Upstream Y=1 Dengan Tinggi Step 40 mm</i>	52
Gambar 4.27	Grafik Perbandingan Kondisi Injeksi Dan Tanpa Injeksi Bagian <i>Upstream Y=2 Dengan Tinggi Step 40 mm</i>	52
Gambar 4.28	Grafik Perbandingan Kondisi Injeksi Dan Tanpa Injeksi Bagian <i>Upstream Y=3 Dengan Tinggi Step 40 mm</i>	53
Gambar 4.29	Grafik Perbandingan Kondisi Injeksi Dan Tanpa Injeksi Bagian <i>Upstream Y=4 Dengan Tinggi Step 40 mm</i>	53
Gambar 4.30	Grafik Perbandingan Kondisi Injeksi Dan Tanpa Injeksi Bagian <i>Upstream Y=5 Dengan Tinggi Step 40 mm</i>	54
Gambar 4.31	Grafik Perbandingan Kondisi Injeksi Dan Tanpa Injeksi Bagian <i>Downstream Y=1 Dengan Tinggi Step 40 mm</i>	55
Gambar 4.32	Grafik Perbandingan Kondisi Injeksi Dan Tanpa Injeksi Bagian <i>Downstream Y=2 Dengan Tinggi Step 40 mm</i>	55
Gambar 4.33	Grafik Perbandingan Kondisi Injeksi Dan Tanpa Injeksi Bagian <i>Downstream Y=3 Dengan Tinggi Step 40 mm</i>	56
Gambar 4.34	Grafik Perbandingan Kondisi Injeksi Dan Tanpa Injeksi Bagian <i>Downstream Y=4 Dengan Tinggi Step 40 mm</i>	56
Gambar 4.35	Grafik Perbandingan Kondisi Injeksi Dan Tanpa Injeksi Bagian <i>Downstream Y=5 Dengan Tinggi Step 40 mm</i>	57
Gambar 4.36	Grafik Standar Deviasi Kondisi Dengan Dan Tanpa Injeksi Pada <i>Y=1 Untuk Ketinggian Step 40 mm</i>	58
Gambar 4.37	Grafik Standar Deviasi Kondisi Dengan Dan Tanpa Injeksi Pada <i>Y=2 Untuk Ketinggian Step 40 mm</i>	58
Gambar 4.38	Grafik Standar Deviasi Kondisi Dengan Dan Tanpa Injeksi Pada <i>Y=3 Untuk Ketinggian Step 40 mm</i>	59
Gambar 4.39	Grafik Standar Deviasi Kondisi Dengan Dan Tanpa Injeksi Pada <i>Y=4 Untuk Ketinggian Step 40 mm</i>	59
Gambar 4.40	Grafik Standar Deviasi Kondisi Dengan Dan Tanpa Injeksi Pada <i>Y=5 Untuk Ketinggian Step 40 mm</i>	60

DAFTAR TABEL

	Hal
Tabel 3.1	19
Tabel 3.2	20
Tabel 3.3	20
Tabel 3.4	26



DAFTAR SIMBOL

h	:	Ketinggian fluida (mm)
H	:	Ketinggian step (mm)
l_f	:	Jarak letak injeksi dari step (mm)
I	:	Rasio spesifik momentum injeksi (mm)
SD_T	:	Standar deviasi (%)
T_i	:	Temperatur udara injeksi ($^{\circ}\text{C}$)
T_o	:	Temperatur udara suplai dari blower ($^{\circ}\text{C}$)
V_i	:	Kecepatan udara injeksi (m/s)
V_o	:	Kecepatan udara suplai dari blower (m/s)
ρ_i	:	Massa jenis udara injeksi (kg/m^3)
ρ_o	:	Massa jenis udara suplai dari blower (kg/m^3)

BAB 1

PENDAHULUAN

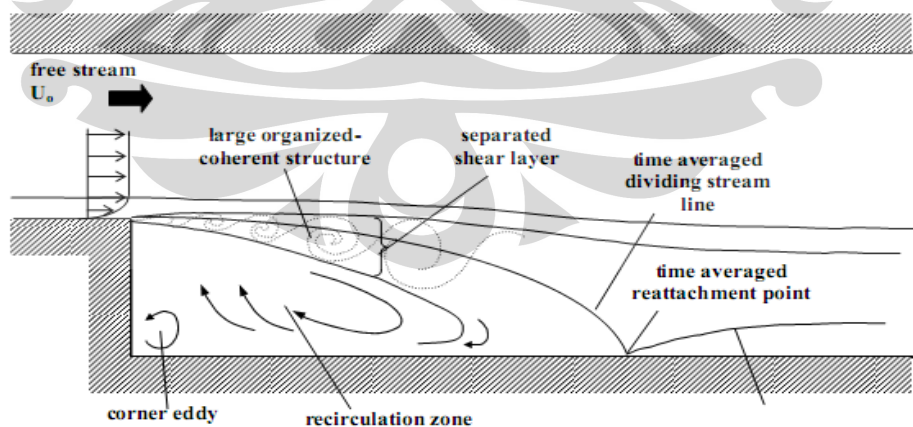
1.1 Latar Belakang

Perkembangan teknologi pada saat ini sedang mengalami kemajuan yang pesat dan dapat dikatakan sedang dalam masa dimana persentase laju peningkatannya terbesar dibandingkan masa-masa sebelumnya. Fenomena ini terjadi dikarenakan keperluan manusia atas berbagai macam hal untuk memenuhi kepentingannya sangat tinggi, sehingga berbagai metode atau pandangan yang sebelumnya kurang diperhatikan kini menjadi lebih ditelusuri. Kemajuan teknologi ini terbentuk dari suatu jalur dasar yang menjadi pedoman untuk zaman modern ini dengan tema *green technology*.

Green technology mengusung tidak hanya energi baru yang menghasilkan emisi dan performa yang lebih baik, namun juga peningkatan efisiensi dari sistem yang sudah digunakan pada saat ini. Dengan meningkatkan efisiensi sistem yang sudah ada, dapat menghemat biaya dibandingkan menemukan atau membuat teknologi baru serta mengurangi terjadinya fenomena krisis energi yang diperkirakan akan melanda dunia pada masa depan. Peningkatan efisiensi ini dapat dilakukan khususnya untuk performa alat di bidang yang berhubungan dengan aliran fluida seperti *aerofoil*, *combustor* ataupun aliran keluaran pada pompa baik di industri ataupun komersil. Usaha peningkatan efisiensi ini dapat dikatakan sebagai kemampuan mengkonversi energi menjadi lebih baik dibandingkan kemampuan sebelumnya, baik dari suatu sistem ataupun alat.

Salah satu kajian studi spesifik dari konversi energi bidang termofluida adalah ilmu medan resirkulasi , dimana fenomena ini terjadi karena adanya separasi (pemisahan) aliran. Aplikasi dari studi medan resirkulasi ini mencakup berbagai macam bidang, dimulai dari *vortex shredding* suatu benda dengan geometri *aerofoil* , pengaruh geometri *blade* (sudu) dan olakan untuk aplikasi alat turbo, sistem kontrol jet aktif yang bergelombang , sistem *flame holding* pada suatu *combustor*, dan lain-lain.

Suatu medan resirkulasi yang terjadi karena separasi dapat diikuti proses penyatuan kembali (pertautan) , namun bisa tidak diikuti proses pertautan juga. Proses yang tidak diikuti pertautan kembali ada pada aliran yang melewati *bluff body* , sedangkan contoh aliran resirkulasi yang diikuti pertautan kembali adalah pada alat yang akan diteliti pada makalah yaitu aliran kanal dimana terjadi perbesaran mendadak. Perbesaran mendadak ini diwujudkan dengan geometri yang sedemikian rupa sehingga terbentuk seperti anak tangga yang terbalik sehingga dinamakan *backward-facing step*. Pada Gambar 1 dapat terlihat beberapa elemen penting pada aliran resirkulasi pada geometri perbesaran mendadak ini diantaranya proses aliran resirkulasi (*recirculation zone*) , kemudian lapisan geser yang terseparasi (*shear layer*) dan terakhir lapisan dimana aliran berkembang kembali (*redeveloping boundary layer*). Dengan pola aliran seperti ini, turbulensi yang sangatlah besar serta mempengaruhi sifat *transport* turbulensi. Sifat tersebut ditentukan oleh suatu parameter bernama intensitas turbulensi sehingga dapat meningkatkan laju perpindahan momentum, laju perpindahan panas maupun laju perpindahan massa dalam jangka tertentu. Namun stabilitas dari medan aliran seperti ini sangatlah buruk sehingga diperlukan suatu metode untuk meningkatkan sifat *transport* sehingga memberikan eksitasi eksternal terhadap aliran. Salah satu metode yang digunakan adalah metode injeksi jet pulsatif ataupun kontinyu (*continuous / pulsative jet injection*).



Gambar 1. Pola aliran resirkulasi *backward-facing step*

1.2 Perumusan Masalah

Masalah yang ditelusuri adalah peningkatan parameter laju perpindahan momentum, kalor dan massa melalui analisa gambaran karakteristik medan aliran resirkulasi pada *backward-facing step* dengan injeksi jet. Pengaturan rasio momentum ditentukan dengan mangatur kecepatan injeksi jet dari kompresor udara serta kecepatan aliran bebas oleh *blower*.

Setelah mengatur rasio injeksi maka yang diatur berikutnya adalah bidang visualisasi aliran pada *test section*. Bagian ini terbagi menjadi dua yaitu titik posisi injeksi partikel analisa dan metode pengambilan gambar partikel. Setelah gambar didapatkan melalui *image capturing device*, maka gambar harus diolah sehingga dapat dianalisa dengan *image processing*.

1.3 Tujuan Penelitian

Tujuan dari penelitian ini adalah mendapatkan gambaran karakteristik dari sifat *transport* turbulensi sebagai fungsi parameter dinamika fluida aliran, karakteristik kanal aliran dan eksitasi eksternal pada aliran resirkulasi dimana hal tersebut digunakan sebagai dasar untuk perancangan yang lebih efisien dibandingkan perancangan sebelumnya untuk aliran kompleks pada bidang-bidang keteknikan.

Tujuan ini didasarkan oleh potensi eksitasi eksternal yang dikaji pada saat ini secara umum masih menimbulkan kemungkinan interferensi antara ketidak tunakan terkait turbulensi terhadap komponen gangguan dari ekstasisim.

1.4 Pembatasan Masalah

Penelitian yang dilakukan mempunyai beberapa kondisi penggerjaan sebagai berikut:

- Titik injeksi dari partikel diposisikan sebelum bagian *test section* dan menggunakan dua unit *nebulizer*.
- Menggunakan konsep *dark room* sebagai upaya pengendalian cahaya masuk untuk proses penangkapan medan aliran resirkulasi oleh *high speed camera / digital camcorder*.
- Parameter yang digunakan dalam penelitian adalah rasio momentum 0,1 dan 0,5 untuk temperatur 100 °C dan 300 °C . Geometri dari *test section* yang divariasikan adalah tinggi *step* 20 mm dan 40 mm serta jarak injeksi sebesar 20 mm dan 40 mm.

Pada penelitian ini dilakukan beberapa asumsi juga diantaranya adalah :

- Aliran injeksi jet yang keluar dari *slot* dianggap seragam untuk parameter kecepatan dan temperatur, sehingga hanya satu titik (titik tengah) dari *slot* yang diukur kecepatan dan temperaturnya.
- Aliran bebas yang terjadi mempunyai kecepatan yang seragam seluas penampang yang digunakan
- Tidak terjadi perubahan fase dari partikel aliran berupa *olive oil* akibat temperatur injeksi yang tinggi pada daerah resirkulasi

1.5 Metodologi Penelitian

Penelitian ini dilakukan langsung secara studi eksperimental oleh penulis bersama mahasiswa jenjang S-2 dan rekan jenjang S-1 pada Laboratorium Mekanika Fluida yang berada di Departemen Teknik Mesin Universitas Indonesia. Percobaan dilakukan dengan mengatur beberapa parameter eksperimental seperti geometri *backward facing step*, rasio momentum injeksi , temperatur injeksi sehingga didapatkan suatu gambar partikel medan aliran resirkulasi yang jelas dimana gambaran ini ditangkap oleh alat *high speed camera* dan *digital camcorder*. Akhirnya gambar yang diolah dengan *software digital image processing* dan akhirnya didapatkan batasan partikel yang dapat dianalisa.

1.6 Sistematika Penulisan

Berikut adalah penjabaran bab yang dituliskan oleh penulis pada makalah yang disesuaikan dengan sistematikan penulisan skripsi :

BAB 1 PENDAHULUAN

Bab ini terdiri dari latar belakang, tujuan, sistematika , batasan masalah dan metodologi penelitian.

BAB 2 TINJAUAN PUSTAKA

Bab ini menjelaskan teori dasar yang berhubungan dengan aliran fluida pada *backward facing step*.

BAB 3 METODE PENELITIAN

Memberikan penjelasan mengenai alat yang digunakan dari komponen hingga sistem secara menyeluruh beserta prosedur pengambilan data.

BAB 4 HASIL DAN PEMBAHASAN

Bab yang menjelaskan hasil analisa dan pengolahan data yang didapatkan pada proses eksperimental.

BAB 5 KESIMPULAN DAN SARAN

Memberikan kesimpulan dari semua tahap proses penelitian yang telah dilakukan serta beberapa masukan untuk hal yang berhubungan dengan bidang penelitian ini serta saran untuk penelitian berikutnya.

BAB 2

TINJAUAN PUSTAKA

Dengan banyaknya aplikasi dari medan resirkulasi untuk meningkatkan laju perpindahan momentum, massa dan kalor pada saat ini di berbagai bidang keteknikan maka terbentuklah berbagai macam alat (*tools*) yang membantu kegiatan eksperimental untuk meningkatkan kemajuan dalam bidang tersebut. Berdasarkan perkembangan teori turbulensi, maka alat seperti CFD (*computational fluid dynamics*) yang sudah digunakan dalam dunia perindustrian untuk *tracing*^[1] ataupun instrumen penunjang eksperimental medan resirkulasi akan semakin maju, namun teori dasar yang menjadi pedoman semua perkembangan teknologi tersebut tidak dapat diabaikan.

2.1 *Separated-Reattaching Flow*

Separated – reattaching flow merupakan suatu kejadian atau fenomena aliran fluida dimana fluida tersebut terseparasi dekat dengan batas padatnya lalu bertaut kembali dengan batas padatnya (*reattachment*) sehingga menghasilkan fluida dengan karakteristik tertentu. Aplikasi dari dasar fenomena ini mencakup banyak hal diantaranya *airfoil*, geometri kendaraan, pompa dan paling umum pada aplikasi sistem pembakaran yang menggunakan aliran resirkulasi untuk membuat pembakaran menjadi stabil. Salah satu studi mengenai sistem pembakaran ini adalah analisis numerik mengenai perubahan aliran tak tunak dan dinamika api dengan teknik *large-eddy-simulation*^[2] dan model LES untuk pembakaran turbulen *premixed* dan *non-premixed*^[3] dimana pada penelitian ini menjelaskan simulasi untuk menginjeksikan bahan bakar pada daerah resirkulasi dari *separated-reattaching flow*.

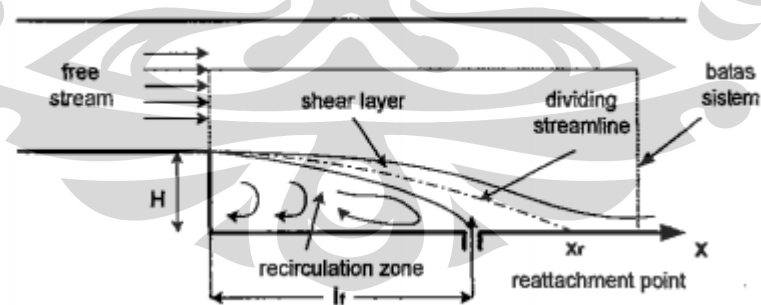
Beberapa penelitian telah dilakukan baik melalui *modelling* maupun eksperimental mengenai fenomena *separated-reattaching flow* ini. Salah satu contoh adalah penggunaan jet sintetik untuk mengontrol aliran yang terseparasi^[4] dimana dengan simulasi ini diharapkan mendapatkan efisiensi yang baik dalam mengatur aliran. Penelitian dasar yang mendukung fenomena dasar lain ini adalah

penggunaan *particle image velocimetry (PIV)* dan pengukuran tekanan pada *forward facing step* untuk mempelajari karakteristik aliran separasi^[5]. Mengenai bidang *reattachment* juga dipelajari dalam penelitian mengenai efek ketinggian *step* terhadap titik *reattachment*^[6].

Bidang lain yang menggunakan fenomena dasar separasi dan pertautan kembali adalah bidang aerodinamika dimana dengan menggunakan SCRAMJET dan pengaturan zona resirkulasi untuk mengurangi tekanan total secara aerodinamis^[7]. Dengan adanya efek *suction* dan *blowing* terhadap aliran separasi sangat berpengaruh dimana salah satunya adalah injeksi yang mempengaruhi karakteristik resirkulasi.

2.2 Backward-Facing Step

Backward-facing step merupakan suatu geometri dimana suatu jalur aliran mendapatkan pelebaran (*contraction*) mendadak sehingga tampak seperti anak tangga yang terbalik^{[22][23]}. Aliran yang melewati geometri ini akan menghasilkan aliran separasi sehingga terbentuk lapisan geser, zona resirkulasi dan lapisan batas yang berkembang kembali. Gambar 2.1 menjelaskan secara umum gambaran dari geometri *backstep* dimana geometri ini sudah dilengkapi titik injeksi beserta parameter yang berperan dalam aliran tersebut.



Gambar 2.1 *Backward-facing step*

Aliran separasi terjadi tepat pada ujung *step* sehingga membentuk lapisan geser bebas (*free shear layer*). Pada titik tersebut terbentuk garis aliran (*streamline*) yang bersifat paralel terhadap dinding *backstep*. Garis pembagi ini akan mencapai bagian bawah dari dinding geometri dan titik dimana dinding dan

dividing streamline ini bersentuhan adalah titik pertautan kembali atau *reattachment point* (X_t). *Reattachment point* ini didefinisikan sebagai titik dimana gesekan permukaan dinding lokal rata-rata sama dengan nol. Kecepatan aliran rata-rata berdasarkan waktu (*time-averaged streamwise velocity*) pada titik *reattachment point* ini sangat kecil dan secara tiba-tiba aliran membalik menjadi keadaan turbulen. Hal ini menyebabkan tekanan pada *reattachment point* cukup besar. Gradien tekanan searah aliran kurang lebih seimbang dengan gradien tegangan geser normal total dari fluida.

Pada gambar 2.1 dapat dilihat juga bahwa injeksi mempunyai posisi sebelum *reattachment point* sehingga sebelum fluida mengalami pertautan, gangguan dari injeksi akan memaksa aliran bersifat jauh lebih turbulen dibandingkan aliran tanpa injeksi jet.

Berbagai macam perkembangan dan penelitian juga dilakukan terhadap geometri *backward-facing step* ini, diantaranya penelitian perhitungan tegangan geser dengan model Smagorinsky^[8] dimana geometri *backstep* lebih kompleks dan mencari validitas model tersebut menggunakan DNS (*direct numerical simulations*). Penelitian numerikal dilanjutkan dengan meneliti aliran laminar dengan algoritma *viscous-splitting vortex*^[9]. Penelitian dasar yang berlanjut adalah penelitian mengenai dispersi partikel pada geometri *backward-facing step* satu sisi^[10] dimana partikel dengan diameter yang tertentu dialirkan dengan aliran yang melewati geometri *backward-facing step* dan diukur dengan laser anemometer.

Geometri *backward-facing step* yang dimodifikasi juga telah banyak diteliti dimana salah satunya adalah penelitian mengenai pola aliran dengan injeksi berdasarkan *porous injection*^[11]. Pada penelitian ini, aliran dengan injeksi dari dasar plat berlubang dianalisa terhadap aliran fluida yang dialiri melalui *backward-facing step*.

Mengenai penggabungan studi separasi dan *backward-facing step* dibahas pada penelitian PIV pada geometri *backstep-facing* yang dapat diatur^[12]. Pada penelitian ini terdeteksi osilasi atau fluktuasi untuk aliran frekuensi rendah yang diuji. Selain itu kajian mengenai efek penghisapan dan peniupan terhadap

karakteristik fluida untuk geometri *backward-facing step*^[13] juga telah dilakukan. Pendekatan lain terhadap analisa *backward-facing step* adalah mengenai perpindahan kalor laminar pada fluida yang beradiasi pada geometri tersebut^[14]. Sedangkan untuk bidang gabungan dengan pembakaran diperkenalkan penelitian medan *density* pada ruang bakar supersonik dengan konfigurasi *backward-facing step*^[15].

2.3 Lapisan Batas, Lapisan Geser dan Separasi

Lapisan batas pada suatu kajian mekanika fluida adalah lapisan fluida yang parameter kecepatannya dipengaruhi oleh tegangan geser, dimana kecepatan pada lapisan batas ini mendekati kecepatan pada aliran utamanya. Lapisan batas mempunyai karakteristik mengikuti garis aliran dan dengan bergeraknya lapisan ini sepanjang benda alir maka tegangan geser akan menghambat partikel-partikel fluida sehingga melambat. Dengan melambatnya fluida maka lapisan batas akan semakin tebal seiring jarak dari titik hulu. Fluida yang berada di dalam lapisan batas juga mengalami gradien tekanan dimana jika tekanan berkurang ke arah hilir (*downstream*) akan memperbesar momentum lapisan ataupun sebaliknya (*upstream*).

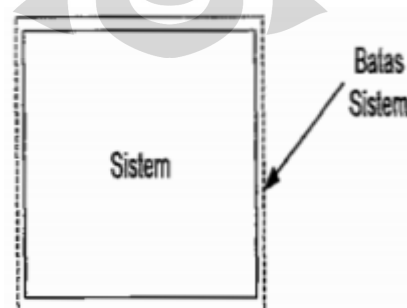
Lapisan geser merupakan lapisan yang terbentuk karena efek *adverse pressure gradient* dan kontak yang kuat dengan permukaan dinding di titik *reattachment point*. Lapisan ini terbentuk seiring hilangnya lapisan batas yang berada pada aliran bebas (*free flow*) dimana pada Gambar 2.1 lapisan geser digambarkan sebagai garis nyata yang akan mencapai permukaan dinding *backstep* menuju *reattachment zone*. Pada Gambar 2.1 juga menggambarkan suatu bagian aliran yang berbelok ke daerah resirkulasi dikarenakan *adverse pressure gradient* yang kuat.

Penelitian mengenai model lapisan batas LES untuk aliran terpisah^[16] dilakukan sebagai wujud aplikasi dari dasar fenomena ini , dimana dengan menggunakan *backward facing-step flow* , data yang didapatkan menghasilkan *output* yang sesuai dengan referensi.

Separasi merupakan fenomena yang menyebabkan semua kejadian di bagian sebelumnya terjadi, dimana secara teknis separasi adalah pemisahan lapisan batas dengan batas permukaan padatnya. Hal yang menyebabkan fenomena ini adalah *adverse pressure gradient* walaupun hal ini bukan merupakan syarat utama terjadinya separasi. Dengan adanya separasi, maka akan terbentuk 2 aliran yang mempunyai arah gerak yang berbeda yaitu aliran yang bergerak paralel dengan aliran utamanya dan aliran yang mempunyai arah berlawanan dan bahkan membentuk aliran resirkulasi karena terjebak. Aliran ini mempunyai sifat kecepatan yang rendah, berlawanan dengan aliran utama yang mempunyai kecepatan tinggi.

2.4 Sistem dan Volume Atur

Kumpulan dari materi dengan identitas tetap (partikel-partikel fluida yang mempunyai karakter sama), dimana materi tersebut dapat bergerak, mengalir dan melakukan kontak dengan lingkungannya disebut sistem^[21]. Dimana volume atur adalah volume di dalam ruang yang dapat dilalui fluida. Terdapat berbagai macam ukuran dari sistem dimulai dari yang besar seperti lautan hingga berukuran yang sangat kecil seperti partikel. Partikel pada fluida dapat bergerak dan berinteraksi dengan lingkungan namun mempunyai massa yang konstan dimana hal ini mempunyai hubungan dengan Hukum Newton mengenai Hukum Kekekalan Massa dimana hukum tersebut menyatakan bahwa massa dari sistem adalah konstan. Sistem yang didefinisikan pada penelitian ini adalah sistem yang berisikan partikel-partikel fluida yang bergerak pada geometri *backward-facing step*.



Gambar 2.2 Sistem dan Volume Kendali

Pembatas dari volume atur adalah permukaan atur, dimana geometri dari volume kendali tidak terbatas dan dapat berupa apa saja. Batas dari volume atur seringkali dibuat berdekatan dengan batas sistem. Pada penelitian ini, volume atur digunakan untuk menganalisa aliran fluida alam geometri alat berupa *backward-facing step*. Volume atur yang diterapkan pada penelitian ini berupa volume yang stagnan, dimana nilainya selalu tetap.

2.5 Eksitasi Eksternal

Eksitasi eksternal dimaksudkan sebagai suatu aliran sekunder berasal dari luar yang dialirkan menuju aliran utama (primer) sehingga akan terjadi perubahan pola pergerakan aliran. Eksitasi ini dapat ditempatkan di berbagai posisi dan salah satunya adalah pada medan resirkulasi untuk kanal terbuka, yaitu zona dimana fluida terperangkap dan membentuk aliran resirkulasi.

Pengkajian mengenai eksitasi eksternal untuk geometri *backward-facing step* dimulai menggunakan fluida jet injeksi sekunder dari bagian bawah kanal pada bagian hulunya sehingga menghasilkan perubahan koefisien perpindahan panas yang cukup besar pada kanal. Penelitian eksitasi eksternal ini kemudian menghasilkan kesimpulan bahwa jumlah aliran massa dapat mengubah aliran utama (*free flow*), bentuk dan intensitas turbulensi serta laju perpindahan panas pada kanal aliran tersebut.

Setelah beberapa perkembangan lebih lanjut mengenai eksitasi eksternal ini, baik dari posisi injeksi hingga fluida injeksi maka aplikasi eksitasi eksternal pada aliran resirkulasi makin luas dan makin ditelusuri pada bidang keteknikan.

Beberapa penelitian yang berdasarkan eksitasi eksternal berupa injeksi diantaranya adalah efek *rheology* mikro pada injeksi mikro pada dinamika partikel^[17] yang mempelajari sifat *injection moulding* pada geometri *backward-facing step* mikro. Selain menggunakan injeksi mikro, penggunaan ukuran *droplet* dalam *fuel spray*^[18] digunakan untuk menentukan LES pada sistem tersebut.

2.6 Visualisasi Berkecepatan Tinggi Beerbasis Lembar Cahaya (Light Sheet Based High Speed Visualization)

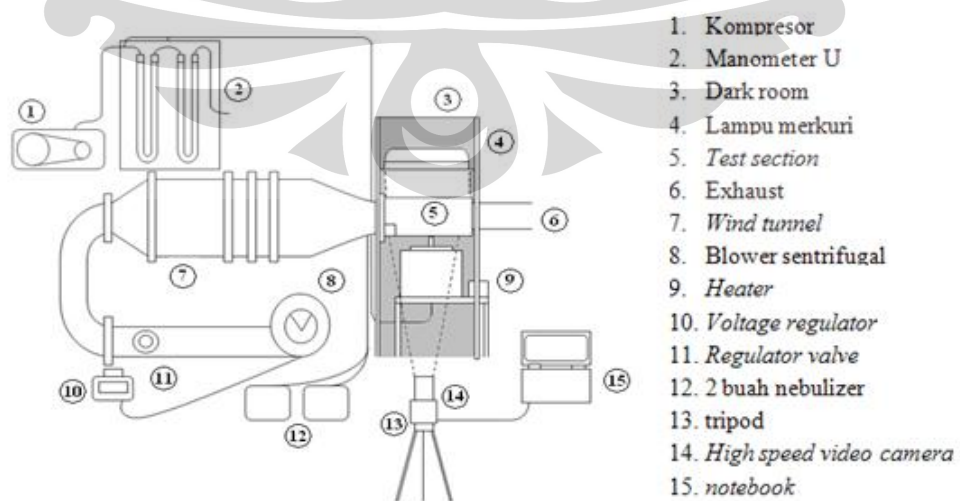
Perolehan data yang mempunyai sifat empiris dan komprehensif khususnya untuk mempelajari struktur aliran resirkulasi dapat diperoleh dengan menggunakan metode visualisasi berdasarkan lembaran cahaya sehingga mampu mendapatkan citra dari suatu gerakan dengan kecepatan tinggi, dimana citra ini menjelaskan mengenai pergerakan partikel fluida dalam geometri uji.

Beberapa metode visualisasi sudah diterapkan dalam penelitian diantaranya adalah *Digital Particle Image Velocimetry* (DPIV) dimana citra dengan bentuk partikel dapat diperoleh. Selain itu, alat seperti *Laser Doppler Anemometer* dapat digunakan sesuai dengan ukuran pemberian partikel yang berpengaruh pada kecepatan. Salah satu metode penggunaan PIV adalah teknik atau tata cara untuk pengukuran terhadap medan aliran dinding pada bidang *biofluid mechanics*^[19] ataupun penggunaan PIV *stereoscopic* untuk mendapatkan karakteristik struktur aliran turbulen yang dihasilkan oleh laser^[20].

BAB 3

METODE PENELITIAN

Penelitian yang berdasarkan turbulensi pada geometri *backward-facing step* ini merupakan tahap lanjutan dari penelitian-penelitian yang telah dilakukan sebelumnya dimana bila pada penelitian sebelumnya menjelaskan aspek distribusi temperatur, sifat pembakaran dalam *test section* hingga analisa *computational fluid dynamics* (CFD) , maka masalah dalam penelitian kali ini mempunyai metode dan hasil yang berbeda. Menggunakan *nebulizer* sebagai pemecah partikel (*atomizer*) , maka akan ditangkap citra oleh alat perekam gambar seperti *digital camera* atau *high speed camera* pada bagian *test section*. Pengaturan cahaya dilakukan dengan membuat *dark room* disekitar *test section* agar kualitas gambar yang ditangkap berdasarkan *light sheet based visualization of flow field* menjadi semakin baik. *Supply* dari aliran bebas berasal dari *blower* sedangkan injeksi dilakukan dengan memasukkan *compressed air* dari kompresor gedung dimana sebelum memasuki *test section* akan melalui *heater* untuk dipanaskan dulu. Parameter pemanasan yang digunakan ada 2 buah yaitu 100 °C dan 300 °C. Parameter lain adalah rasio momentum yang mengatur perbandingan kecepatan aliran bebas dan aliran injeksi. Skema peralatan secara umum terdapat pada Gambar 3.1 .



Gambar 3.1 Skema eksperimental alat



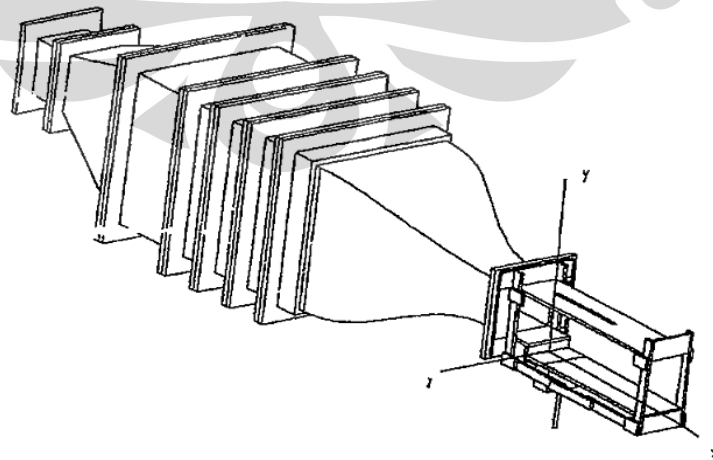
Gambar 3.2 Foto alat penelitian secara keseluruhan

3.1 Peralatan Penelitian

Peralatan dalam penelitian untuk pengambilan data eksperimental sesuai Gambar 3.1 antara lain adalah :

a. *Wind Tunnel Skala Kecil*

Wind tunnel dalam penelitian eksperimental adalah alat yang menghasilkan udara dengan profil kecepatan seragam seluas permukaan kerjanya pada bagian *nozzle* keluaran yang berhubungan dengan *inlet test section*. Gambar 3.3 menggambarkan skema gabungan antara *wind tunnel* dan *test section*.



Gambar 3.3 Wind tunnel dengan test section

Wind tunnel ini terdiri dari beberapa komponen sesuai Gambar 3.3, diantaranya :

- Penyearah aliran / *Straightener*

Bagian dari *wind tunnel* yang berfungsi untuk mengatur arah aliran udara atau menyearahkan aliran udara , dimana rangkaian *wind tunnel* ini terdiri dari 2 penyearah. Penyearah pertama terletak pada bagian dimana penampang berubah dari pipa menjadi kotak. Penyearah kedua terletak setelah *diffuser* dimana dimensi penyearah ini lebih besar.

- *Diffuser*

Diffuser berfungsi sebagai pereduksi kecepatan aliran udara pada *wind tunnel* , dimana hal ini dilakukan untuk mengurangi turbulensi udara yang dihasilkan oleh *blower*. Posisi *diffuser* berada setelah bagian penyearah pertama.

- Lapisan penyekat / *Screens*

Seperti Gambar 3.3, *wind tunnel* terdiri dari beberapa bagian luasan dan bagian ini dipisahkan oleh lapisan penyekat berupa *meshwire* dengan ukuran 18 lubang per inchi². Fungsinya adalah mengurangi turbulensi udara yang keluar menuju *inlet test section* , dimana setelah melewati beberapa lapisan *screens* ini diharapkan aliran mempunyai sifat aliran laminar.

- *Converging Nozzle*

Bagian yang diharapkan dapat menghasilkan distribusi kecepatan aliran fluida yang seragam. Bagian *nozzle* ini mempunyai *contraction ratio* sebesar 9,5:1.

- *Settling Chamber*

Bagian yang terdiri dari *section-section* dari *wind tunnel* yang mempunyai *screens*. Bagian ini dapat di bongkar pasang agar dapat dibersihkan secara berkala.

b. *Blower Sentrifugal*

Merupakan alat yang berguna untuk menghasilkan / menyuplai udara *ambient* dengan kecepatan yang ditentukan. Blower ini dapat diatur kecepatan udara dengan merubah bukaan dimulai dari nilai -1 hingga 11. Ukuran koneksi *blower* dengan pipa paralon adalah sebesar 4 inch dengan energi listrik sebagai dasar pengerak. *Blower* ini juga digabungkan dengan *voltage regulator* untuk mengatur keluaran daya sehingga dapat menghasilkan kecepatan udara yang lebih rendah agar visualisasi lebih baik.



Gambar 3.4 *Blower sentrifugal*

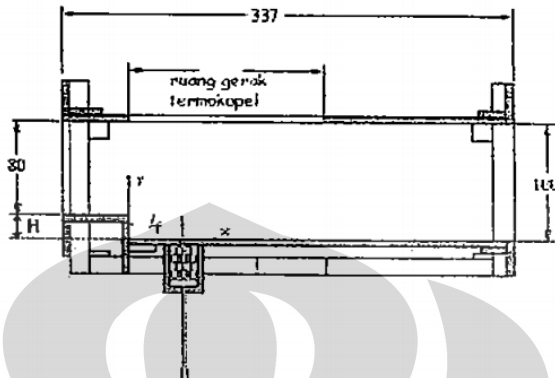
c. *Exhaust Valve / Katup Buang*

Katup yang diletakkan setelah *blower* ini digunakan untuk membuang udara keluar untuk mengurangi kecepatan udara. Posisi bukaan katup ini selalu dalam keadaan 100% terbuka, hal ini dilakukan untuk mengurangi kecepatan udara, sehingga visualisasi yang dilakukan menjadi lebih jelas.

d. *Test Section*

Bagian dari *setup* eksperimental dimana kegiatan pengambilan data dilakukan dengan dimensi 80 mm x 80 mm untuk luasan permukaan *inlet* dan tinggi tangga (H) yang dapat diatur sesuai kondisi percobaan. Panjang total dari *test section* adalah 337 mm. Pada bagian dasar terdapat *line slot* yang merupakan titik injeksi jet selebar *test section*, dimana l_f menunjukkan jarak dari *step* hingga *slot* injeksi sesuai Gambar 3.5.

Dengan ukuran geometri *backstep* seperti ini, titik pertautan (*reattachment point*) berada disekitar 5,5 H [2].



Gambar 3.5 Tampak samping *test section* beserta dimensi

e. Kompresor Udara

Merupakan alat pendistribusi udara bertekanan yang mengalir menuju *slot injeksi* dari *test section*. Sebelum memasuki injeksi, udara harus diatur kecepatannya melalui manometer kapiler yang sudah terkalibrasi kemudian melalui bagian *heater* untuk mengkondisikan udara sesuai dengan kebutuhan eksperimental.

f. *Heater*

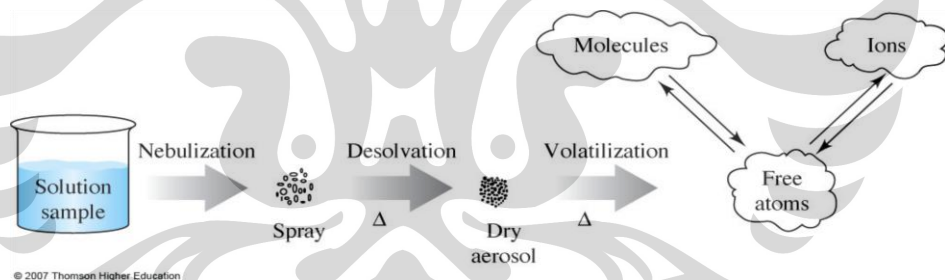
Bagian dari pengkondisian udara masuk injeksi, dimana udara yang telah melewati manometer kapiler dipanaskan sehingga menghasilkan udara bertemperatur tinggi sesuai prasyarat percobaan. Kemampuan *heater* bertipe *induction coil heating* ini mencapai pemanasan 800 °C dengan daya 2000 Watt. Udara panas yang telah melewati *heater* akan diteruskan ke *test section* bagian *slot injeksi* berwadah kecil berisi bola-bola kecil untuk meratakan aliran di dalam *test section*.



Gambar 3.6 Heater Control Unit

g. *Nebulizer*

Merupakan alat yang menggunakan prinsip atomisasi untuk menghasilkan partikel-partikel kecil dari fluida yang dianalisa untuk pola turbulensi pada *backward-facing step*. Prinsip kerja alat ini ditunjukkan pada Gambar 3.7 dimana dari bentuk *liquid*, sampel akan di bentuk menjadi *spray*, kemudian diikuti proses *desolvation* dan *volatilization*.



Gambar 3.7 Skema prinsip kerja *nebulizer*

Alat ini mempunyai beberapa komponen, diantaranya adalah *portable compressor* yang bekerja dengan daya 1000 Watt untuk udara menghasilkan tekanan tinggi yang digunakan untuk proses atomisasi. *Fluida* yang akan dikabutkan ditempatkan pada *nebulizer cup* yang mempunyai bentuk sedemikian rupa sehingga pada saat udara bertekanan tinggi memasuki *cup* akan terjadi proses atomisasi. Aliran kabut tersebut dialirkan menuju bagian keluar *wind tunnel* mendekati *inlet test section*. Gambar 3.8 merupakan *nebulizer* yang digunakan.



Gambar 3.8 Nebulizer

Tabel 3.1 menjelaskan mengenai spesifikasi dari *nebulizer* yang digunakan dimana sampel fluida yang diatomisasi adalah *olive oil*.

Tabel 3.1 Spesifikasi *nebulizer*

Model	OMRON, NE-C28
Type	Non-heating compressor nebulizer
Electrical	230V, 50Hz model; 230V, 60Hz model
Power Consumption	138VA
Nebulizer Rate	0,4 ml/min (without cap)
Particle Size	MMD approximately 5µm
Medication Cup Capacity	7 ml max.
Appropriate Medication Quantities	2 - 7 ml
Operating Temperatur/Humidity	10C to 40C, 30% to 85% RH
Storage Temperature/Humidity	20C to 60C, 10% to 95% RH
Weight	approx. 1,9kg (compressor only)
Dimensions	approx. 170mm (w) x 103mm (h) x 182mm (d)
Contents	compressor, nebulizer kit, air tube, 5 pcs. Replacement filters, mouthpiece, adult mask, child mask, carrying bag, instruction manual

h. *Light Sheet Emitter*

Light Sheet Emitter atau alat penghasil cahaya berdasarkan prinsip lembaran yang digunakan adalah lampu gas merkuri dengan daya 400 Watt. Tabel 3.2 menunjukkan spesifikasi dari lampu yang digunakan, dimana lembaran penghasil *light sheet* dipasangkan diperlukan pendar lampu berupa material seng yang diberikan *slot* tipis.

Tabel 3.2 Spesifikasi lampu dan lembar cahaya

Lembar Cahaya	
Sumber cahaya	<i>Halogen Lamp (1000 W) or Mercury Lamp</i>
Tebal lembar cahaya	Ketebalan, $t = 0.4$ mm
Intensitas lembar cahaya	Bervariasi kurang dari 3% dari nilai puncak di bagian pusat

i. *High Speed Video Camera*

Peralatan terakhir untuk prosedur eksperimental adalah alat perekam berupa *High Speed Video Camera* yang mempunyai ketelitian kuantitatif yang tinggi untuk menangkap gambar. Tabel 3.3 menjelaskan detil spesifikasi *High Speed Video Camera* yang digunakan.

Tabel 3.3 Spesifikasi alat visualisasi eksperimental

Visualisasi	
Camera	<i>High speed video camera</i>
Recording	<i>4000 frame/s</i>
Exposure	<i>1/4000 s (shutter speed)</i>
Digitizing	VITcam video capture
Image	480 x 640 (.avi format)
Resolution	280 dpi

Perlu diperhatikan untuk bagian *recording* bahwa kecepatan yang digunakan untuk eksperimen bukanlah 4000 *fps* namun 125 *fps*. 4000 *fps* merupakan kemampuan maksimal kamera, sedangkan digunakan 125 *fps* dikarenakan kemampuan menangkap visualisasi hanya terbatas pada jangka *frame* tersebut.

j. *Voltage Regulator*

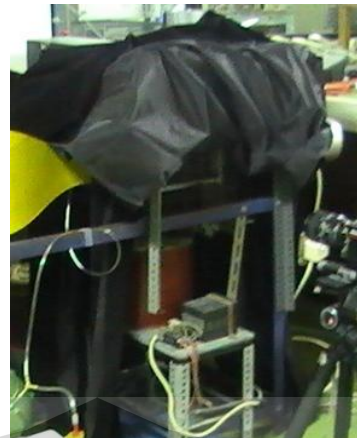
Merupakan alat yang berfungsi membatasi beda tegangan listrik sesuai yang dikehendaki dimana *range* dari *voltage regulator* ini dimulai dari 0 volt hingga 230 volt. Alat ini digunakan untuk mengatur tegangan tiga buah alat yaitu 2 buah *nebulizer* dan pompa sentrifugal.



Gambar 3.9 *Voltage regulator*

k. *Dark Room*

Merupakan *set* untuk pengambilan data dimana pengaturan cahaya yang masuk pada daerah pengambilan data dapat diatur. Untuk mendapatkan citra yang optimal diperlukan lingkungan yang sangat gelap, dimana tidak ada sumber cahaya selain dari sumber penerangan utama yaitu lampu merkuri / halogen.



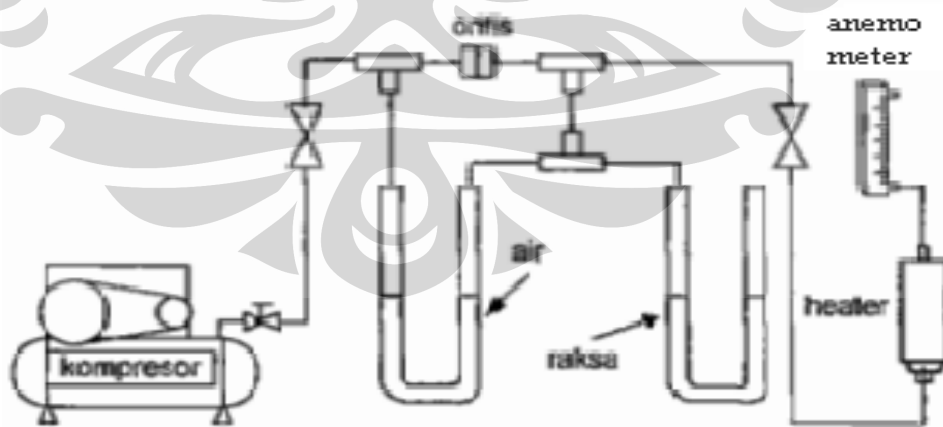
Gambar 3.10 Dark room

3.2 Peralatan Pengukuran

Peralatan pengukuran yang sudah dikalibrasi sesuai standar digunakan untuk mendapatkan data mentah , diantaranya adalah sebagai berikut :

a. Capillary Manometer

Merupakan alat yang berguna untuk mengukur debit udara yang dialirkan dari kompresor menuju *test section* bagian injeksi jet. Alat ini harus dikalibrasi terlebih dahulu untuk memudahkan kegiatan eksperimental. Kalibrasi yang dilakukan terhadap manometer ini adalah kalibrasi kecepatan keluar pada *slot injeksi jet* menggunakan *digital anemometer*.



Gambar 3.11 Skema manometer kapiler

Sesuai skema pada Gambar 3.11, udara dari kompresor akan melewati manometer kapiler terlebih dahulu. Udara yang melewati manometer ini

akan menekan air dan raksa, dimana manometer raksa berfungsi sebagai pembaca *back pressure*. Nilai *back pressure* ini harus dijaga konstan melalui pengaturan bukaan katup dimana nilai konstan Δh ini sebesar 250 mmHg. Nilai yang dibaca adalah perbedaan ketinggian untuk manometer media air. Kemudian kecepatan keluar yang diukur dengan *anemometer* pada bagian injeksi jet diukur dan dibuat grafik karakteristik dari parameter tersebut untuk mengatur rasio momentum injeksi.

b. *Digital Thermometer*

Termometer *digital* digunakan untuk proses kalibrasi *heater* dari *setup eksperimental*. Temperatur yang keluar dari *heater* dan pada saat di *slot injeksi* mempunai perbedaan temperatur yang besar, oleh karena itu *probe* dari termometer ini ditempatkan pada *slot injeksi* udara panas.

c. *Digital Anemometer*

Anemometer yang digunakan bertipe , dimana digunakan filamen semikonduktor untuk mengukur kecepatan fluida yang melewatiinya. *Anemometer* ini digunakan untuk mengkalibrasi dua kecepatan, yaitu kecepatan aliran bebas dan kecepatan *slot* injeksi jet.

3.3 Prosedur Penelitian

Pengambilan data dapat dilakukan setelah melakukan beberapa tahapan prosedur terlebih dahulu dan pengaturan beberapa parameter tersebut harus berdasarkan rasio spesifik momentum injeksi yang telah ditentukan, sesuai persamaan dibawah :

$$I = \frac{\rho_i x V_i^2}{\rho_o x V_o^2} \quad \dots \quad (3.1)$$

$$I = \text{Rasio Momentum Spesifik}$$

$$V_i = \text{Kecepatan Injeksi} \quad \rho_i = \text{Massa Jenis Udara Injeksi}$$

$$V_o = \text{Kecepatan Udara Suplai} \quad \rho_o = \text{Massa Jenis Udara Suplai}$$

Dimana ρ_o dan ρ_i adalah kerapatan udara untuk aliran bebas dan aliran injeksi secara berturut-turut. Parameter V_o dan V_i adalah kecepatan udara bebas dan injeksi. Berikut adalah beberapa tahapan pengaturan parameter kerja :

a. Pengaturan Kecepatan Blower dan Injeksi Jet

Kecepatan pada aliran bebas diatur menggunakan *blower* dengan mengatur antara tegangan pada *voltage regulator* dan bukaan dari *blower* itu sendiri, terdapat 12 bukaan dimulai dari bukaan terkecil sebesar -1 hingga bukaan maksimum sebesar 11. *Voltage regulator* yang digunakan mempunyai kapasitas hingga 250 volt. Kecepatan udara yang masuk ke *test section* merupakan parameter yang digunakan sehingga harus dikalibrasi terlebih dahulu. Selain itu, bukaan katup buang juga divariasikan, namun pada kegiatan eksperimental katup selalu terbuka 100%. Untuk mengatur kecepatan injeksi jet, digunakan data hasil kalibrasi kecepatan udara yang masuk ke *slot* injeksi. Pengaturan kedua parameter kecepatan ini diatur sedemikian rupa sehingga rasio spesifik momentum mempunyai nilai 0,1 dan 0,5.

b. Pengaturan Temperatur Injeksi

Setelah mendapatkan rasio injeksi yang diinginkan, maka temperatur pada *heater* yang sudah terkalibrasi harus disesuaikan dengan kecepatan udara injeksi. Pengukuran temperatur dilakukan pada *slot* injeksi pada *test section* dan diambil beberapa data sehingga data yang diambil tergolong *valid*. Agar mendapatkan temperatur yang stabil khususnya pada temperatur tinggi, *heater* perlu didiamkan 15 hingga 30 menit sehingga seluruh *test section* sudah mendapatkan suhu yang merata.

c. Pengaturan *Nebulizer* dan Pencahayaan

Pengaturan *nebulizer* dilakukan sedemikian rupa agar partikel aliran yang dialiri dapat memberikan gambaran aliran yang cukup jelas. Dengan

menggunakan dua buah *nebulizer* diharapkan konsentrasi asap yang dihasilkan menjadi lebih baik pada visualisasinya. Kecepatan *outflow* selang *nebulizer* dapat diabaikan karena kecepatan *free flow* dari *blower* jauh lebih besar. Untuk pencahayaan, posisi yang ditempatkan rangka dasar harus menempati posisi dimana tepat di tengah *test section* sehingga partikel yang ditangkap dapat divisualisasi secara maksimal.

d. Pengaturan *High Speed Video Camera dan Video Camera*

Setting dari *High speed video camera* atau *video camera* sangat penting dalam proses visualisasi partikel aliran terutama posisi dan sudut *recording* dari kedua alat tersebut. Konfigurasi lain yang tak kalah penting adalah fokus dari lensa, bukaan diafragma, *shutter speed*, *recording time*, serta pengaturan tampilan pada *laptop* sebagai penerima data. *Setting* yang digunakan untuk pengambilan data penelitian ini adalah *shutter speed* sebesar 62 *fps* untuk *high speed video camera* dan 25 *fps* untuk *video camera*.

e. Pengolahan Citra

Data yang diperoleh dari kedua alat perekam gambar merupakan video yang tidak dapat diolah secara langsung. Oleh karena itu dengan menggunakan *software* pemecah video, akan didapatkan data berupa ribuan gambar untuk diolah dengan *software image processing*. Data gambar yang ditangkap tidak dapat digunakan pada kondisi mentah sehingga perlu dilakukan berbagai macam pengolahan dari pembersihan partikel pengotor hingga peningkatan kontras agar partikel aliran dapat dianalisa, sehingga pada akhirnya data sudah siap untuk dianalisa. Namun penggunaan pengolahan citra ini ada batasannya dimana jika gambar data mentah kurang mencukupi pencahayaannya, proses pengolahan citra menjadi sulit dilakukan dan walaupun dapat dilakukan sangat tidak optimal hasil yang diberikan.

3.4 Kondisi Percobaan

Terdapat berbagai kondisi percobaan diantaranya adalah rasio injeksi, tinggi dari *step*, jarak *step* hingga temperatur injeksi yang masuk pada *slot* injeksi jet. Pada Tabel 3.4 dijelaskan secara singkat mengenai kombinasi kondisi percobaan yang diambil.

Tabel 3.4 Nilai parameter uji

Jarak Injeksi (I_f)	Rasio Spesifik Momentum (I)	Kec. Aliran Udara (v_0) Temperatur Dingin (t_0)	Kec.Injeksi (v_i) Temperatur Injeksi (t_{inj})
2H = 40 mm	0,1	1,2 m/s dan 30°C 1,8 m/s dan 30°C	0,42 m/s dan 100°C 0,78 m/s dan 300°C
4H = 80 mm	0,5	1,2 m/s dan 30°C 2,5 m/s dan 30°C	0,94 m/s dan 100°C 2,5 m/s dan 300°C
Temp (°C)		ρ (kg/m³)	
30° Celcius		1.165 kg/m³	
100° Celcius		0.9461 kg/m³	
300° Celcius		0.6159 kg/m³	

Selain itu, parameter yang diatur adalah tata cara pengambilan gambar dimana digunakan dua buah alat pengambil gambar, yaitu *video camera* dan *high speed video camera*.

BAB 4

ANALISA DAN PEMBAHASAN

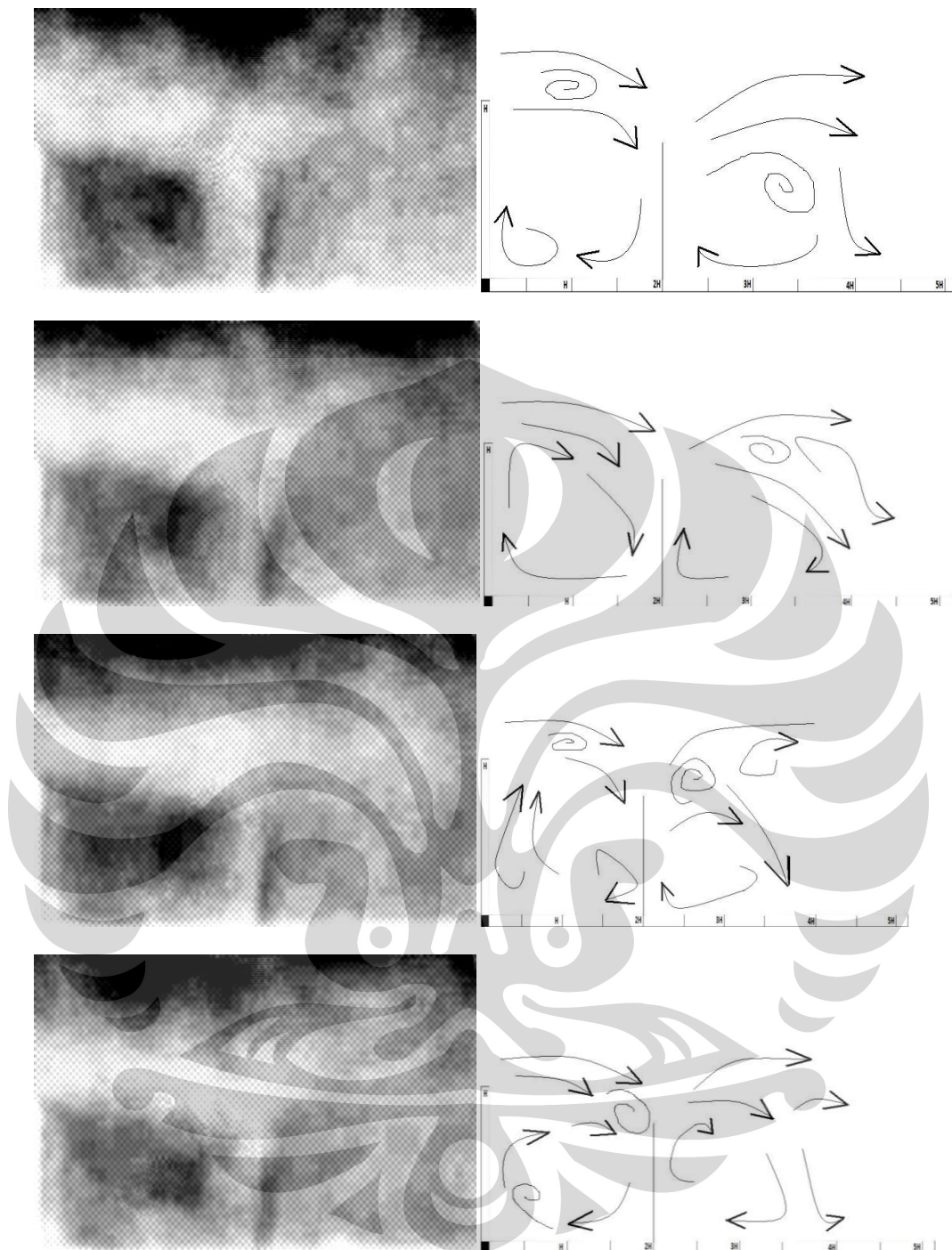
Penggunaan metode visualisasi yang telah dilakukan pada saat eksperimental akan menghasilkan data berupa gambar-gambar yang menggambarkan karakteristik dari aliran dengan injeksi gas panas pada daerah resirkulasi. Gambar tersebut kemudian diolah menggunakan *tools* dari *image processing* sehingga data-data berupa gambar tersebut dapat dianalisa. Hasil pengolahan data tersebut akan dibagi berdasarkan dua buah pandangan, yaitu dari segi kualitatif dan kuantitatif. Segi kualitatif menjelaskan mengenai fenomena yang terjadi dalam aliran pada *backward-facing step* dengan injeksi gas panas dimana partikel asap yang mengalir akan dianalisa pola pergerakan selama berada di daerah visualisasi. Sedangkan analisa kuantitatif akan menjelaskan mengenai sifat aliran berdasarkan angka yang diperoleh dari *image processing* yang kemudian dilakukan proses *averaging* dari 100 *sample* data.

4.1 Analisa Kualitatif

Prosedur eksperimental untuk injeksi gas panas pada aliran resirkulasi dilakukan dalam berbagai kondisi dan berikut adalah pembagian analisa kualitatif berdasarkan ketinggian *step* , temperatur dan rasio injeksi.

4.1.1 Ketinggian *step* 20 mm

Data visualisasi yang diperoleh untuk menggambarkan pola aliran dengan injeksi pada daerah resirkulasi ini salah satunya menggunakan kondisi ketinggian *step* sebesar 20 mm atau H . Variasi yang dilakukan pada kondisi ini adalah rasio injeksi dan temperatur injeksi. Variasi yang akan dianalisa secara kualitatif untuk kondisi ketinggian *step* 20 mm ini adalah kondisi temperatur 100 °C dan 300°C , serta rasio injeksi sebesar 0.1 dan 0.5. Analisa ini juga berdasarkan dari daerah pada aliran resirkulasi ini, yaitu daerah *upstream* dan *downstream*.



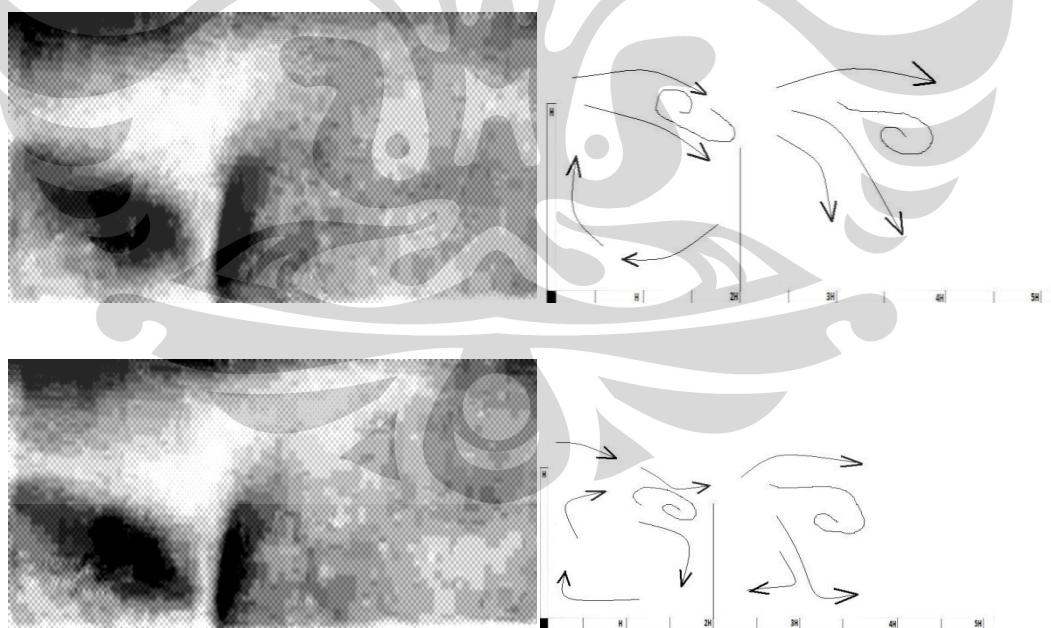
Gambar 4.1 Rangkaian gambar pola aliran kondisi rasio injeksi 0.1 dan temperatur 100 °C untuk tinggi step 20 mm

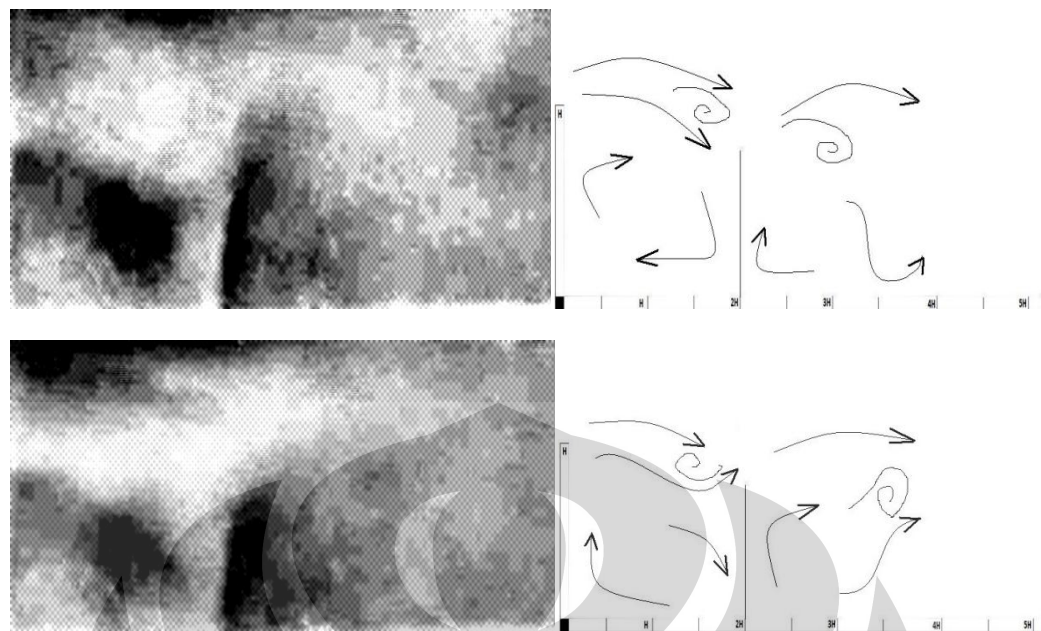
Rangkaian gambar pertama yang dianalisa adalah kondisi rasio injeksi 0.1 dan temperatur 100 °C. Hal pertama yang dapat di analisa adalah terdapat palung pada daerah *upstream* dimana hal ini ditunjukkan dengan daerah gelap yang tidak tertembus oleh partikel aliran, sedangkan untuk daerah *downstream* hal ini tidak berlaku. Partikel aliran menutupi

seluruh daerah *downstream*, hal ini menunjukkan bahwa aliran resirkulasi di daerah tersebut tergolong cukup kuat, sedangkan untuk di daerah *upstream* tergolong lemah diakibatkan munculnya palung tersebut.

Untuk tingkat turbulensi , daerah yang dikatakan mempunyai nilai yang tinggi adalah daerah pada gambar dengan nilai RGB tertinggi atau dengan kata lain paling pekat partikel alirannya. Pada gambar dapat dilihat bahwa letak turbulensi tertinggi ada pada daerah *shear layer* dimana aliran dari *free stream* mulai mengalami separasi dan mengenai daerah injeksi. Mengenai injeksi itu sendiri dapat dilihat bahwa cukup tegak, namun ketinggiannya yang tidak mencapai *step* menunjukkan bahwa injeksi tersebut tidak mampu menembus *shear layer*.

Pada ilustrasi Gambar 4.1 digambarkan arah-arah aliran dan pola pergerakannya serta tingkat turbulensi tinggi yang digambarkan dengan simbol rotasi. Arah aliran ini disesuaikan dengan gambar data visualisasi yang didapatkan.

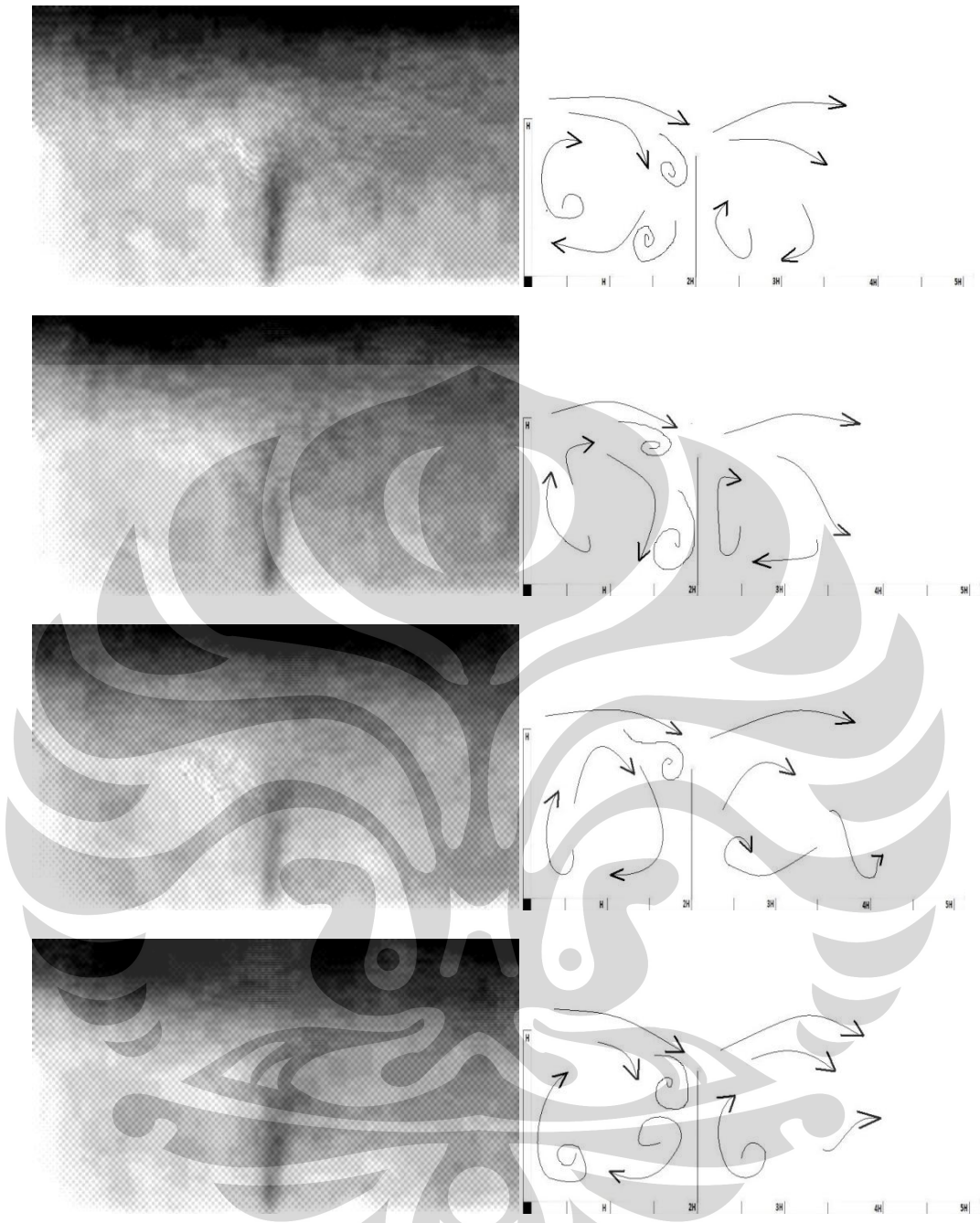




Gambar 4.2 Rangkaian gambar pola aliran kondisi rasio injeksi 0.1 dan temperatur 300 °C untuk tinggi step 20 mm

Kondisi berikutnya adalah peningkatan temperatur dari 100 °C menjadi 300 °C dengan rasio injeksi yang sama. Hasil yang hampir sama diperoleh dibandingkan pada kondisi sebelumnya dimana palung masih terbentuk pada daerah *upstream* dan daerah dengan turbulensi tinggi pada daerah *shear layer*. Selain itu, daerah pada *downstream* tetap tertutup oleh partikel aliran sehingga resirkulasi di daerah tersebut dapat dikatakan cukup kuat dan hal ini dapat dilihat pada bagian kiri rangkaian Gambar 4.2.

Hal yang membedakan antara kondisi 100 °C dan 300 °C adalah besar ruang kosong yang ditimbulkan setelah daerah injeksi. Fenomena ruang kosong ini dinamakan "*barrel effect*" dimana efek ini akan membesar pada saat temperatur injeksi ditingkatkan. Selain itu, injeksi yang dihasilkan pada mempunyai ketinggian yang lebih besar dibanding temperatur 100 °C.

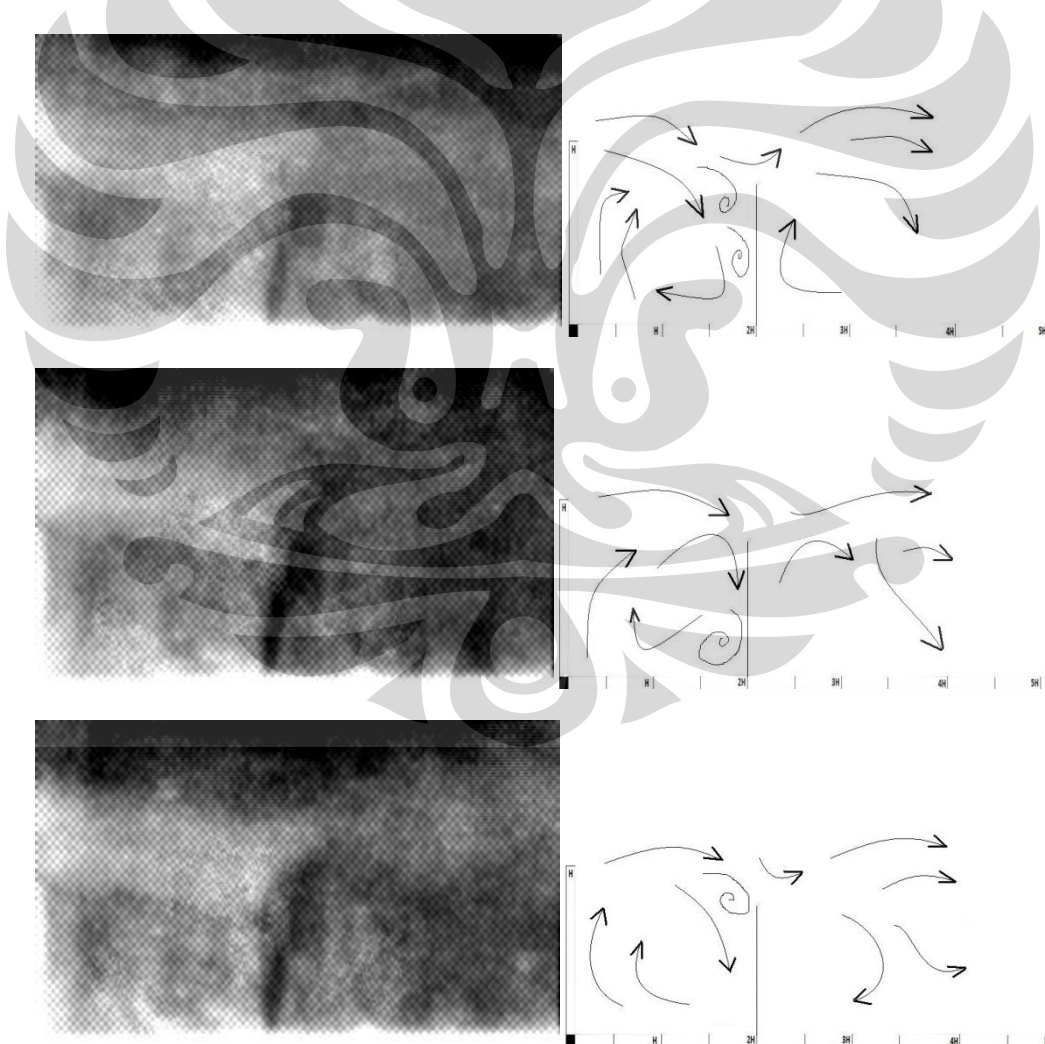


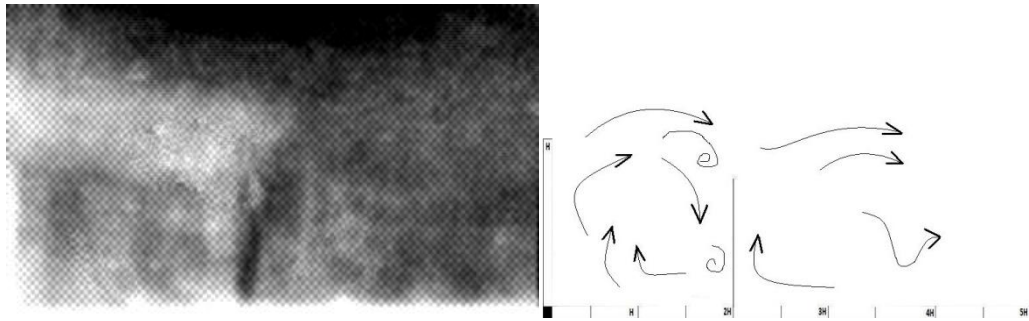
Gambar 4.3 Rangkaian gambar pola aliran kondisi rasio injeksi 0.5 dan temperatur 100 °C untuk tinggi step 20 mm

Variasi untuk analisa Gambar 4.3 menggunakan parameter rasio injeksi 0.5 dan temperatur injeksi 100°C. Untuk kondisi percobaan ini daerah yang mempunyai turbulensi paling tinggi adalah daerah resirkulasi *upstream* dimana hal ini ditunjukkan pada Gambar 4.3 bahwa daerah dengan partikel paling pekat berada di daerah tersebut. Selain itu pada ilustrasi digambarkan banyak simbol rotasi pada daerah resirkulasi

upstream yang lebih menunjukkan bahwa terdapat banyak daerah turbulen pada bagian tersebut.

Untuk daerah kedua daerah *downstream* dan *upstream* dapat dikatakan bahwa kedua daerah tersebut mempunyai resirkulasi yang relatif kuat karena tidak terbentuk palung pada kedua daerah tersebut. Hal terakhir yang dapat dianalisa adalah injeksi yang lebih tegak dibandingkan rasio injeksi 0.1 sehingga mampu menembus wilayah *shear layer* dengan lebih kuat. Dengan kemampuan menembus *shear layer* lebih kuat ini, maka makin banyak partikel aliran yang menuju daerah *upstream* sehingga menyebabkan terisinya daerah tersebut dengan partikel aliran.





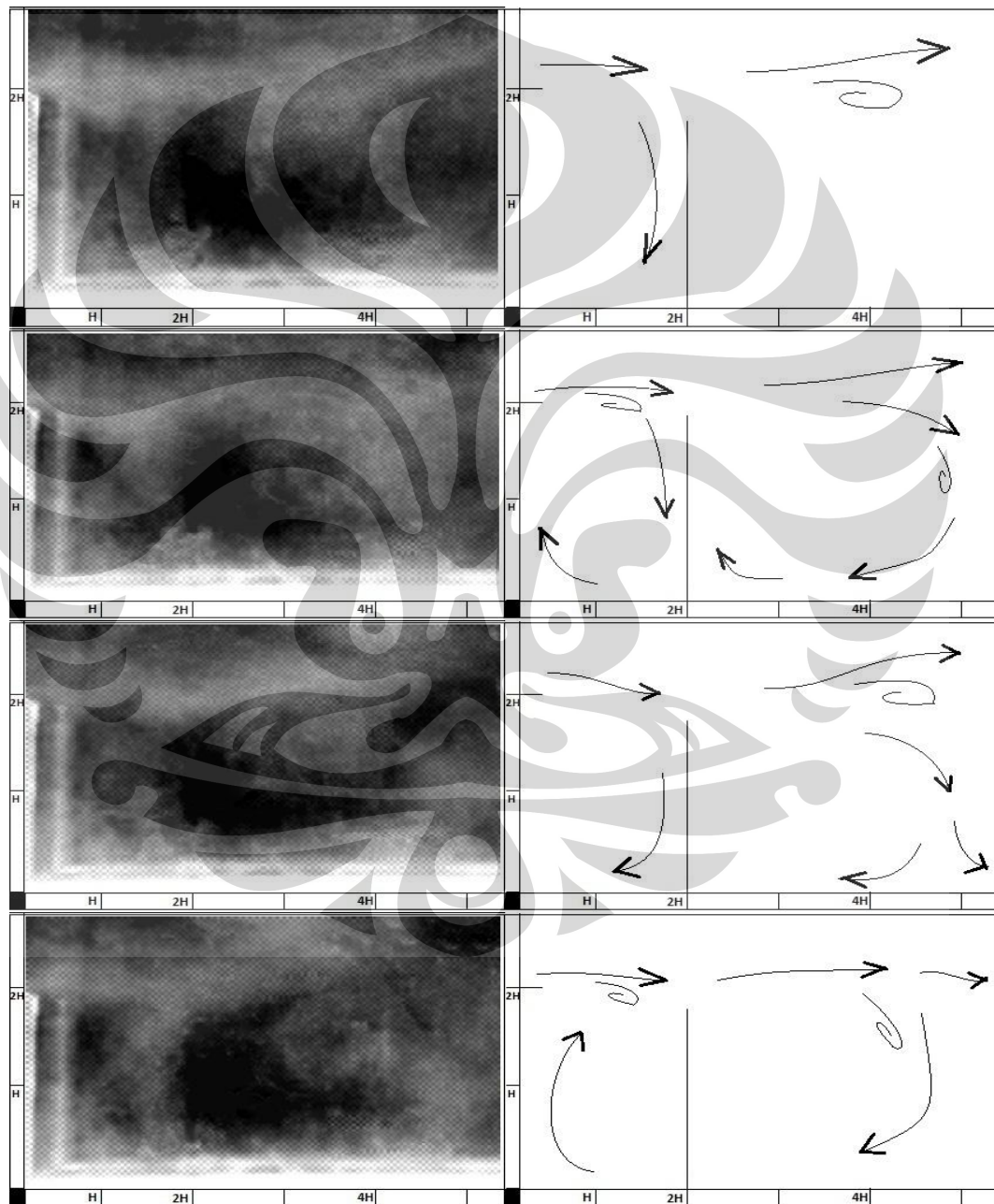
Gambar 4.4 Rangkaian gambar pola aliran kondisi rasio injeksi 0.5 dan temperatur 300 °C untuk tinggi step 20 mm

Kondisi terakhir yang dianalisa untuk ketinggian *step* 2 cm adalah kondisi rasio injeksi 0.5 dan temperatur 300 °C. Kondisi ini merupakan penggabungan dari kondisi-kondisi sebelumnya dan hasil yang ditunjukkan berbeda dibanding kondisi sebelumnya. Hal ini berdasarkan Gambar 4.4 bahwa hanya resirkulasi di daerah *upstream* saja yang masih memiliki nilai RGB yang tinggi, sedangkan pada daerah *downstream* walaupun tidak dapat dikatakan aliran resirkulasi lemah tetapi terjadi penurunan resirkulasi pada daerah tersebut. Penurunan resirkulasi ini juga ditunjukkan dengan mulai terbentuknya palung pada daerah *downstream*.

Injeksi yang digambarkan cukup tegak dan masih terdapat “*barrel effect*” yang diakibatkan oleh kenaikan temperatur injeksi. Peningkatan rasio injeksi dan temperatur ini menyebabkan penurunan resirkulasi pada daerah *downstream* dimana untuk rasio injeksi akan meningkatkan *block effect* dari injeksi, sehingga lebih banyak aliran separasi yang akan menuju daerah *upstream* dibanding menuju *downstream*. Sedangkan kenaikan temperatur yang menghasilkan “*barrel effect*” akan mengurangi daerah *downstream* sehingga akan mengurangi resirkulasi pada daerah tersebut secara langsung.

IV.1.2 Ketinggian step 40 mm

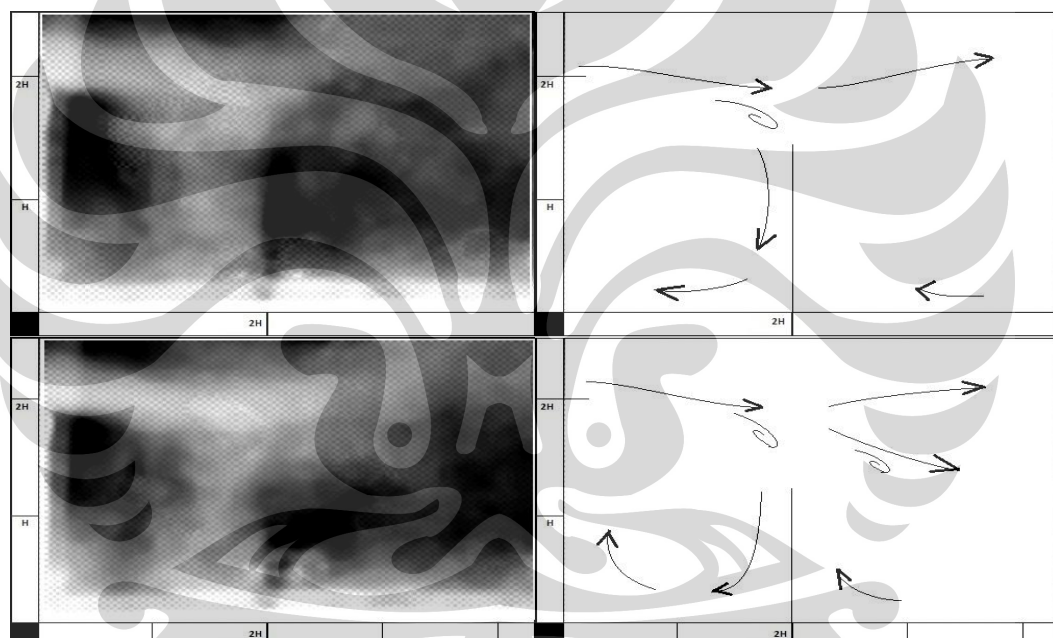
Perubahan pada ketinggian *step* diharapkan memberi hasil yang berbeda dengan variasi kondisi eksperimental lainnya seperti temperatur dan rasio injeksi yang sama. Analisa akan diawali seperti untuk kondisi ketinggian *step* 20 mm yaitu kondisi temperatur 100 °C dan rasio injeksi 0.1.

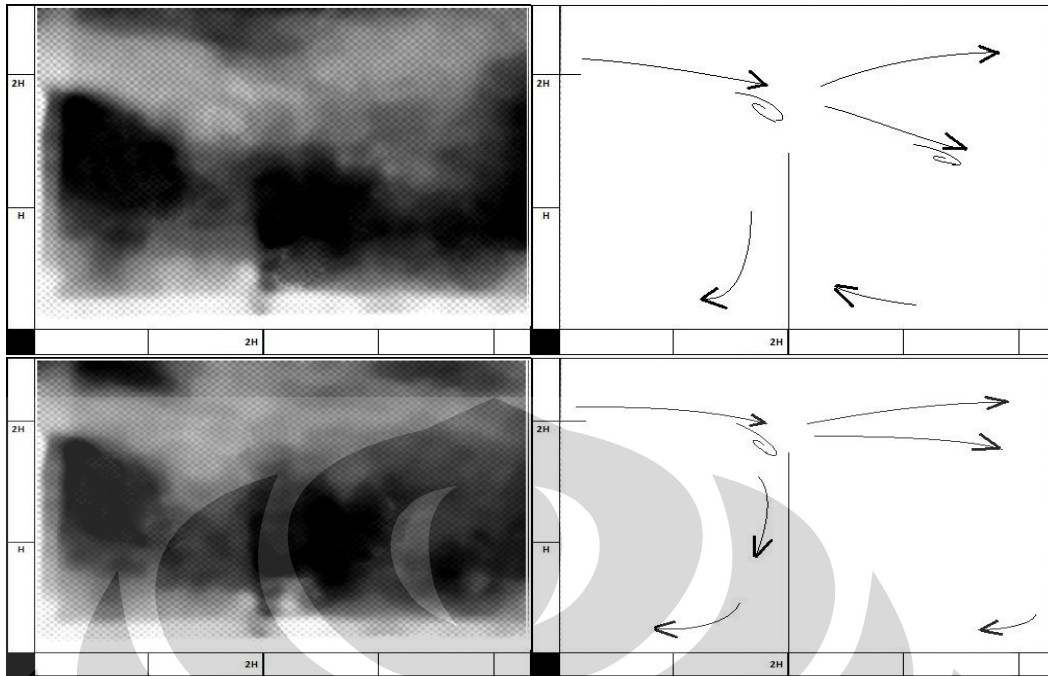


Gambar 4.5 Rangkaian gambar pola aliran kondisi rasio injeksi 0.1 dan temperatur 100 °C untuk tinggi step 40 mm

Analisa yang dapat dilakukan dengan acuan Gambar 4.5 dimana terlihat jelas bahwa tingkat turbulensi untuk hampir semua daerah tergolong rendah. Namun, dengan menganalisa Gambar 4.5 dapat dilihat bahwa terdapat aliran resirkulasi pada daerah *upstream* dan *downstream* dimana diantara kedua daerah tersebut, berdasarkan ukuran palung yang terbentuk maka daerah *upstream* mempunyai resirkulasi yang lebih kuat.

Bentuk injeksi yang dihasilkan cukup tegak dan hal ini berbeda dengan kondisi pada saat ketinggian *step* sebesar H . Hal ini menunjukkan bahwa *block effect* terdapat pada injeksi gas panas yang ada.



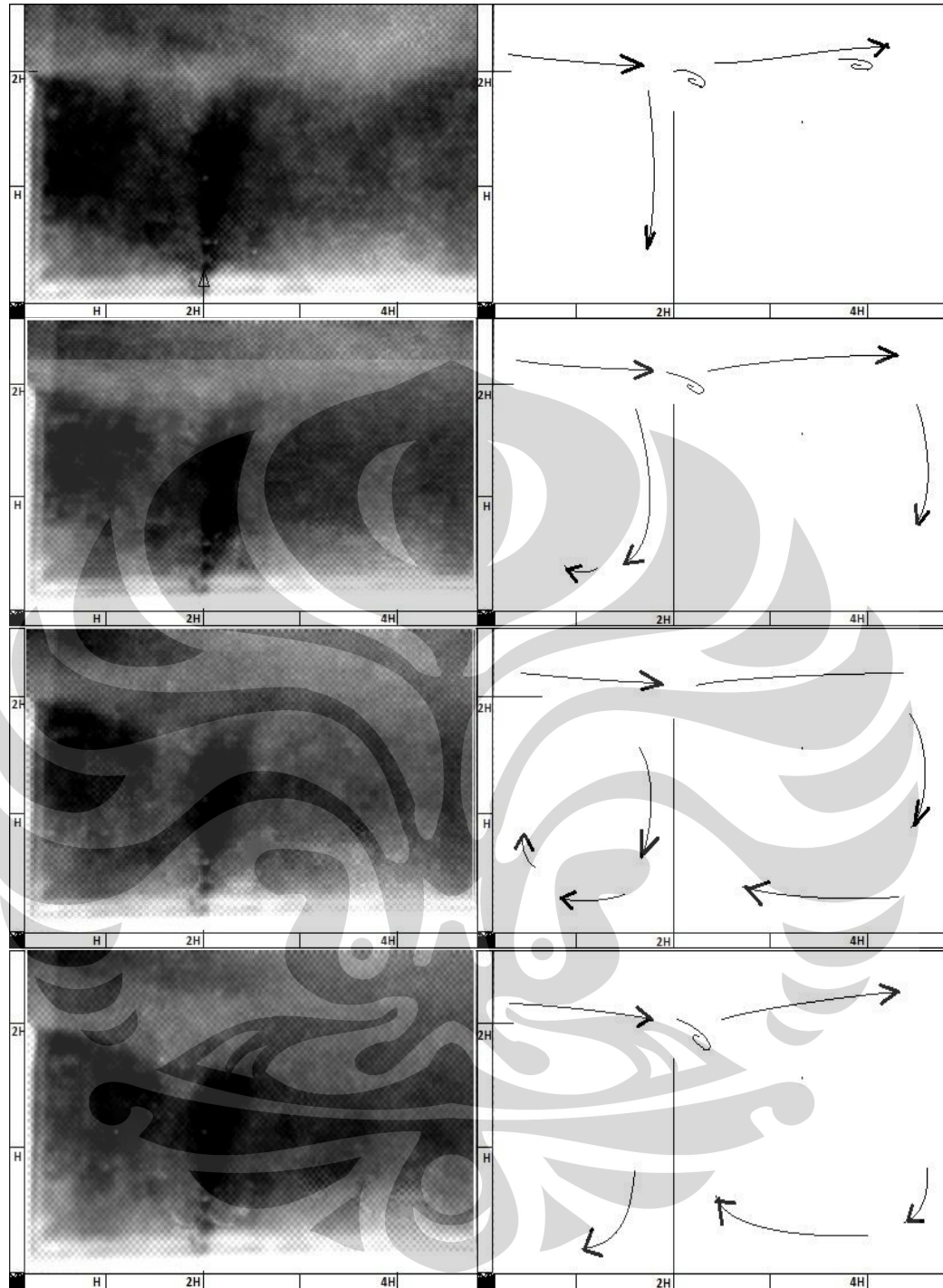


Gambar 4.6 Rangkaian gambar pola aliran kondisi rasio injeksi 0.1 dan temperatur 300 °C untuk tinggi step 40 mm

Peningkatan temperatur pada ketinggian *step* 40 mm menunjukkan hasil yang sama seperti ketinggian *step* 20 mm dimana *barrel effect* yang diciptakan menjadi lebih besar dibandingkan pada kondisi injeksi temperatur 100 °C. Hal ini mengakibatkan aliran resirkulasi pada daerah *downstream* menjadi lebih rendah dengan membesarnya palung pada daerah tersebut. Untuk daerah *upstream* mempunyai palung yang besar dimana hal ini menandakan kedua daerah *upstream* dan *downstream* mempunyai daerah resirkulasi yang lemah.

Untuk tingkat turbulensi, daerah yang mempunyai nilai tertinggi adalah daerah *shear layer* dan hal ini digambarkan pada ilustrasi pada Gambar 4.6 untuk semua urutan gambar yang diberikan.

Mengenai injeksi gas panas yang dihasilkan, efek yang diberikan dari temperatur tidak banyak dan bahkan terlihat tidak berubah dari segi ketinggian injeksi walaupun injeksi yang dihasilkan cukup tegak dibandingkan injeksi pada kondisi temperatur 100 °C.



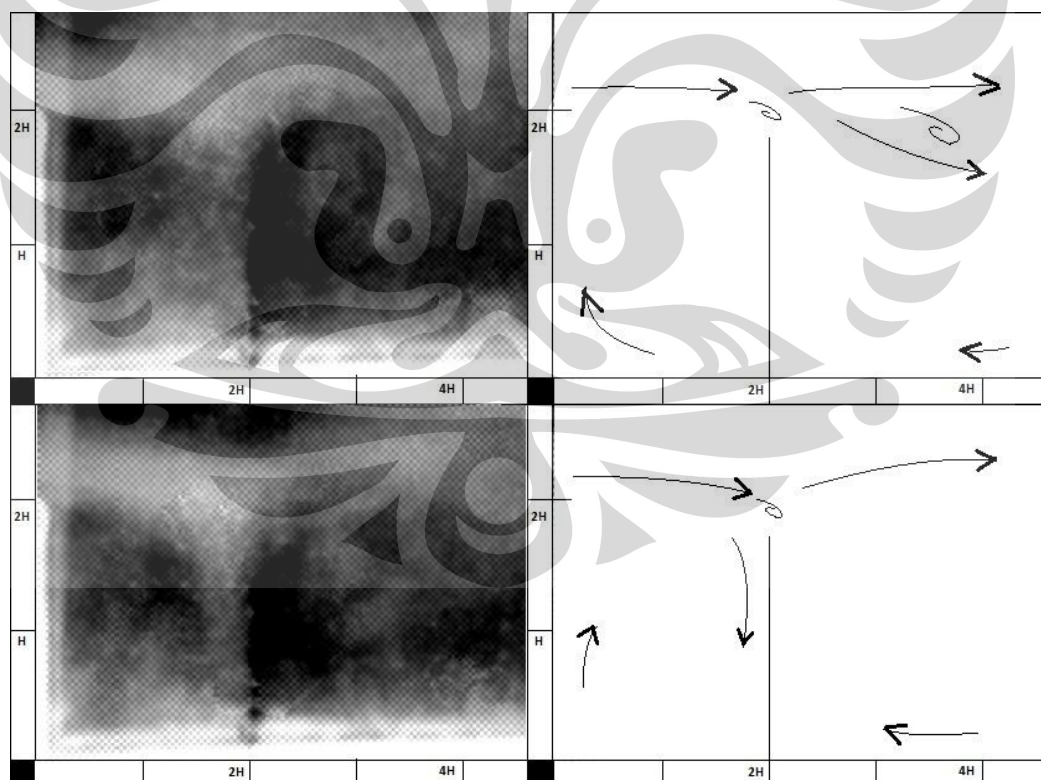
Gambar 4.7 Rangkaian gambar pola aliran kondisi rasio injeksi 0.5 dan temperatur 100 °C untuk tinggi step 40 mm

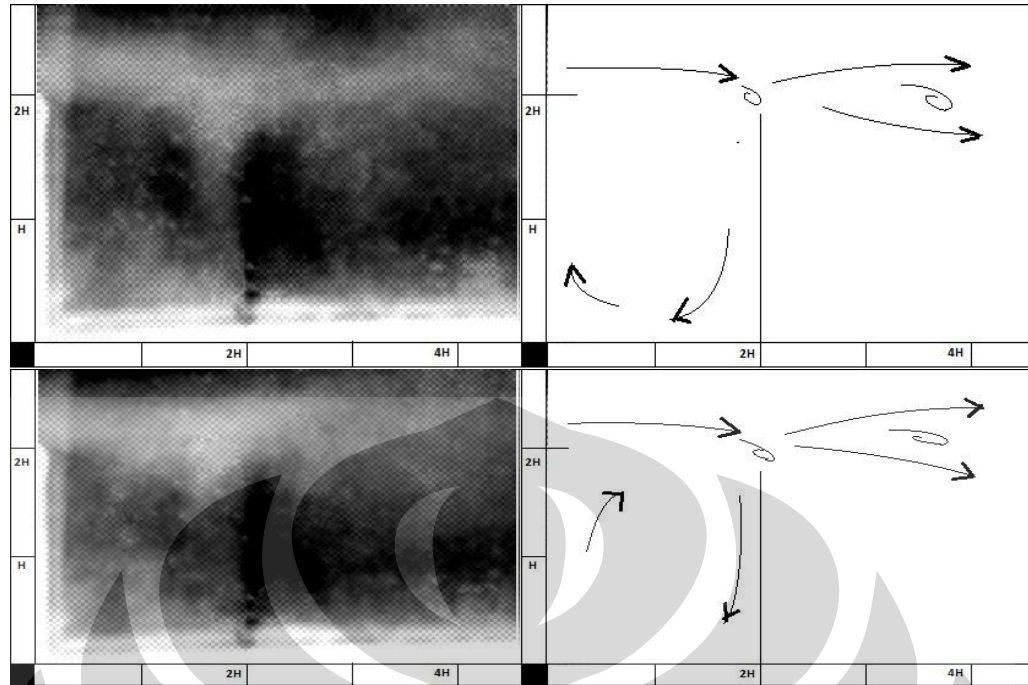
Analisa kondisi ketiga untuk ketinggian *step* 40 mm ini mempunyai beberapa hasil yang sama seperti kondisi sebelumnya diantaranya adalah terbentuknya palung pada bagian *upstream* yang menunjukkan bahwa resirkulasi pada bagian tersebut relatif lemah. Pada

bagian *downstream* menunjukkan bahwa palung yang terbentuk hanya sedikit dan dapat dikatakan bahwa resirkulasi pada bagian ini cukup kuat.

Untuk tingkat turbulensi, walaupun tidak setinggi kondisi ketinggian *step H* daerah *downstream* mempunyai daerah turbulensi yang cukup tinggi dibandingkan daerah-daerah lain seperti *upstream* atau daerah *shear layer*. Berdasarkan ilustrasi, turbulensi ini juga tidak selalu ada dia=karenakan kepekatan partikel aliran yang fluktuatif.

Pada bagian eksitasi eksternal, injeksi yang dihasilkan lebih tegak dibandingkan rasio injeksi 0.1 walaupun kurang terlihat secara langsung. Hal ini menunjukkan bahwa *block effect* untuk kondisi ini lebih besar dibandingkan kedua kondisi sebelumnya yang mempunyai rasio injeksi 0.1.





Gambar 4.8 Rangkaian gambar pola aliran kondisi rasio injeksi 0.5 dan temperatur 300 °C untuk tinggi step 40 mm

Bagian analisa kualitatif terakhir adalah kondisi rasio injeksi 0.5 dan temperatur 300 °C. Pada Gambar 4.8 ditunjukkan bahwa tingkat turbulensi yang ada lebih besar dibandingkan kondisi lain untuk ketinggian *step* 40 mm. Dimana tingkat turbulensi tertinggi pada kondisi ini berada pada daerah *shear layer* dimana partikel aliran cukup pekat pada daerah ini. Daerah berikutnya yang juga mempunyai turbulensi tinggi adalah daerah *downstream* walaupun tidak selalu mempunyai nilai yang tinggi.

Mengenai kekuatan resirkulasi dari *upstream* dan *downstream* aliran ini, dapat dilihat bahwa pada bagian *downstream* mempunyai palung yang besar sedangkan *upstream* mempunyai palung yang kecil. Hal ini menunjukkan bahwa resirkulasi di daerah *upstream* cukup kuat sedangkan di daerah *downstream* cukup lemah.

Injeksi yang dihasilkan cukup tegak yang menunjukkan bahwa *block effect* pada kondisi ini cukup besar dibandingkan kondisi lainnya dengan rasio injeksi 0.1. Selain itu, efek temperatur terlihat pada *barrel effect* yang terbentuk pada bagian belakang titik injeksi yang mempunyai

daerah kosong yang besar dibandingkan kondisi temperatur injeksi 100 °C. Gabungan kedua efek ini menghasilkan fenomena yang kurang lebih sama dengan kondisi *step* 20 mm , dimana resirkulasi pada bagian *downstream* akan mengecil dan pada bagian *upstream* akan membesar.

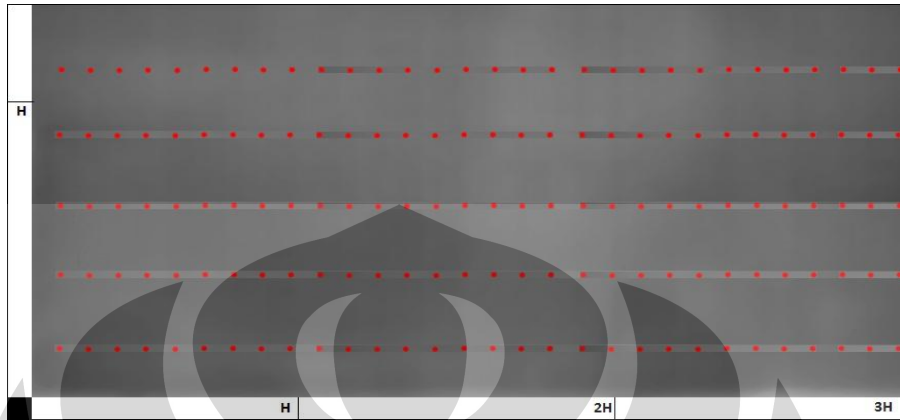
4.2 Analisa Kuantitatif

Analisa ini mempunyai tujuan untuk mendapatkan karakteristik aliran pada geometri *backward-facing* berdasarkan angka RGB pada mode *grayscale* atau mode warna hitam-putih, dimana hal ini dimaksudkan agar memperoleh tingkat kecerahan atau keredupan partikel analisa pada aliran.

Metode yang digunakan untuk analisa kuantitatif ini berdasarkan pengambilan nilai RGB yang sudah didapatkan melalui *image processing* dimana proses ini sudah dijelaskan pada bagian sebelumnya. Pengambilan nilai RGB ini ditentukan posisinya melalui penyekalaan dari gambar digital terhadap panjang asli dari alat eksperimental. Untuk analisa kuantitatif ini digunakan pengambilan titik data RGB untuk tiap 2 mm ukuran asli dengan sumbu x positif, sehingga setelah kalibrasi ukuran asli dengan ukuran pada citra berupa *pixel* akan didapatkan posisi titik yang akan diambil datanya. Untuk sumbu y positif , digunakan metode jumlah baris yang konstan yaitu sebanyak 5 baris. Karena metode tersebut , maka ketinggian antar baris untuk tiap citra dapat bervariasi bergantung pada ukuran *cropping* citra tersebut dalam langkah *image processing*.

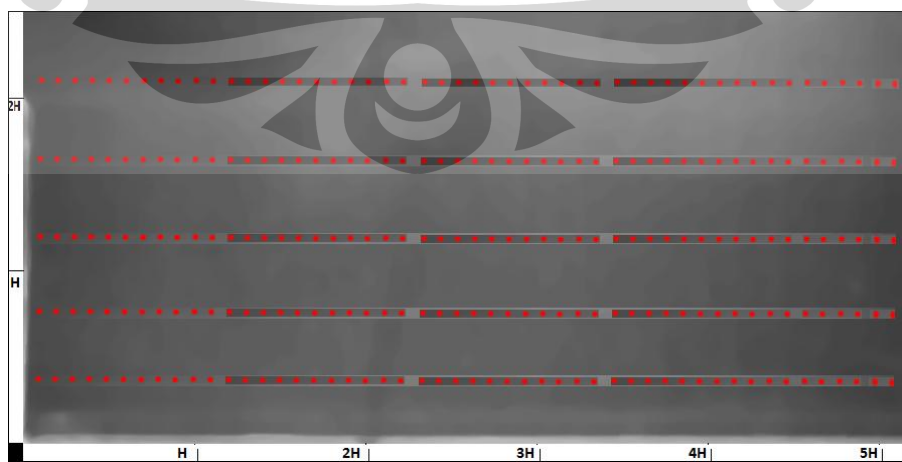
Dengan kedua informasi tersebut dan ukuran rata-rata citra sebesar 1000 x 400 pixel, maka akan didapatkan kurang lebih 250 data untuk satu citra. Ketelitian ini dianggap cukup untuk mewakili persebaran RGB pada suatu gambar. Terlebih digunakan 100 *sample* citra yang digunakan untuk mendapatkan data yang valid. Setelah mendapatkan semua data dari 100 citra tersebut, nilai RGB yang didapatkan kemudian dirata-ratakan sehingga nilai *average* merupakan nilai akhir yang digunakan untuk analisa kuantitatif.

Berikut adalah ilustrasi dari 2 jenis kokordinat pengambilan data yang digunakan untuk analisa kuantitatif yaitu kondisi ketinggian H (20 mm) dan 2H (40 mm) :



Gambar 4.9 Koordinat akuisisi data citra kondisi ketinggian step 20 mm

Penyekalaan pada Gambar 4.9 adalah untuk kondisi dengan ketinggian *step* sebesar 20 mm. Pada penyekalaan ini digunakan jarak antar titik searah sumbu x positif sebesar 2 mm ukuran asli sedangkan untuk arah sumbu y positif menggunakan metode 5 baris dan jarak antara baris sudah dijelaskan pada bagian sebelumnya. Baris pertama adalah baris titik yang posisinya teratas , deret berikutnya baris ke-2 dan seterusnya hingga baris ke-5 pada bagian terdekat dengan dasar plat *test section*. Pada analisa ini baris pertama akan diberi koordinat $y = 1$, dan seterusnya hingga $y = 5$. Dimana $y(1) = 4.4$ mm, $y(2) = 8.8$ mm, $y(3) = 13.2$ mm, $y(4) = 17.6$ mm, dan $y(5) = 22$ mm



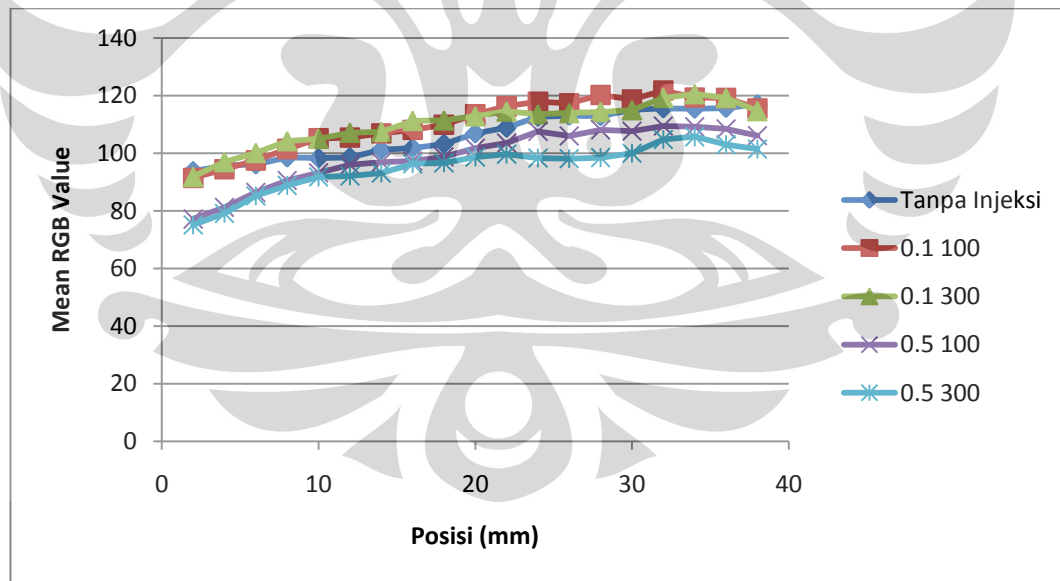
Gambar 4.10 Koordinat akuisisi data citra kondisi ketinggian step 40 mm

Gambar 4.10 menggambarkan penyekalaan untuk kondisi ketinggian *step* sebesar 40 mm. Prinsip yang digunakan untuk memberi posisi titik pengambilan data sama dengan kondisi *step* 20 mm, sehingga menghasilkan koordinat $y(1) = 8.2$ mm, $y(2) = 16.4$ mm, $y(3) = 24.6$ mm, $y(4) = 32.8$ mm, dan $y(5) = 41$ mm.

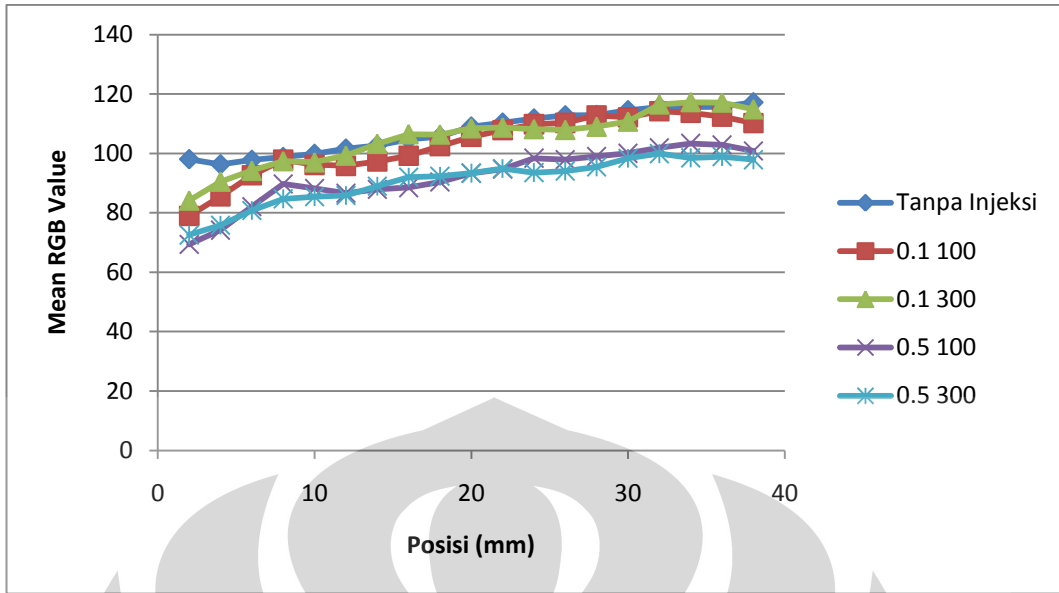
Analisa kuantitatif ini dilakukan pada dua bagian berbeda yaitu daerah *upstream* (daerah sebelum titik injeksi) dan daerah *downstream* (daerah setelah titik injeksi). Atas dasar metode ini, maka semua analisa akan berdasarkan kedua daerah ini.

4.2.1 Ketinggian *step* 20 mm

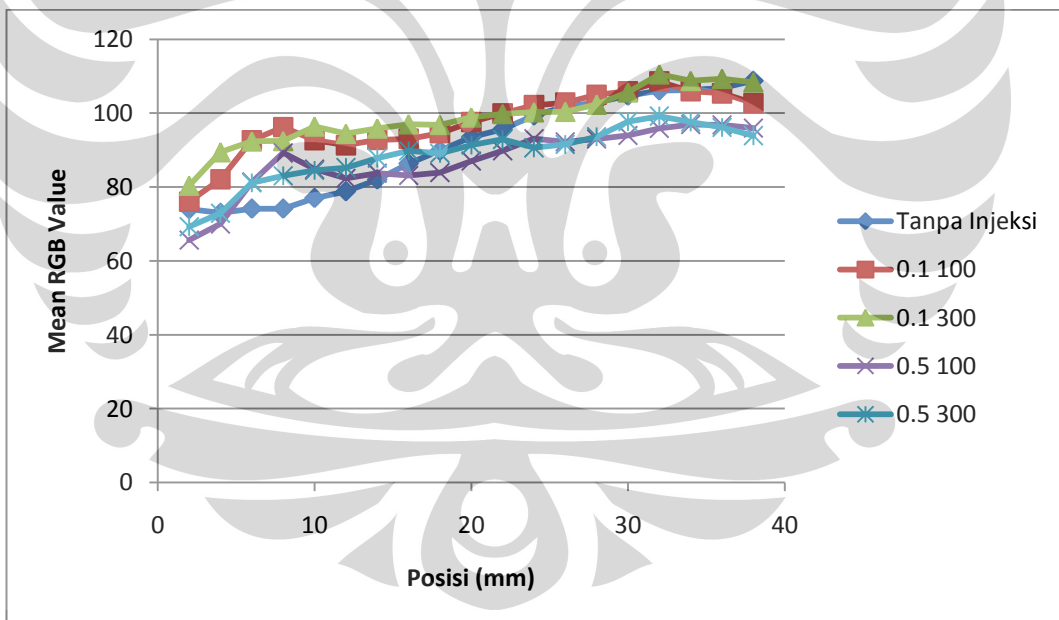
Data RGB akhir yang berupa data rata-rata dari 100 *sample* yang telah didapatkan kemudian dikelompokkan berdasarkan ketinggian dan akhirnya semua kondisi injeksi dibandingkan dengan kondisi pada saat tidak diberikan injeksi gas panas.



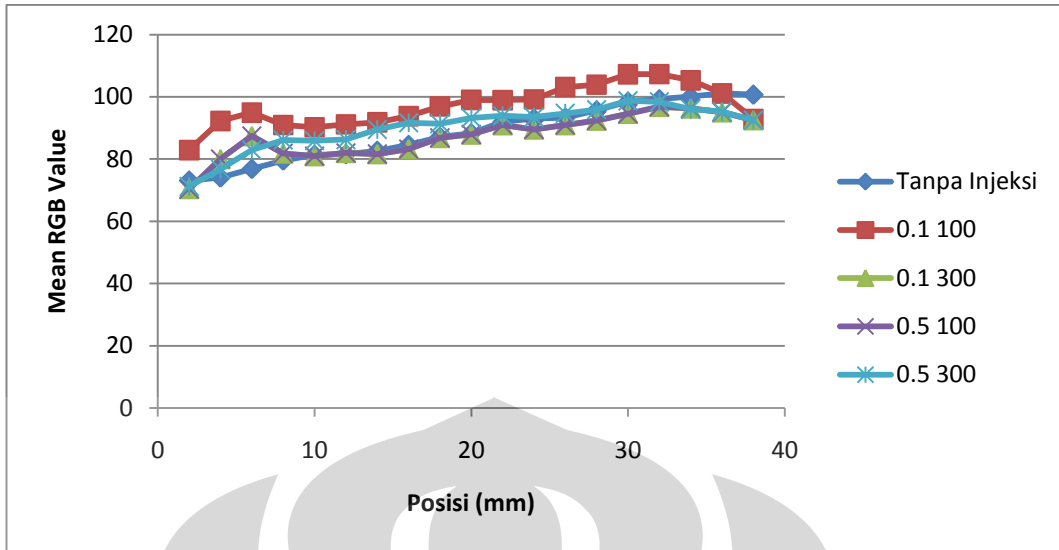
Gambar 4.11 Grafik perbandingan kondisi injeksi dan tanpa injeksi bagian *upstream* $y=1$ pertama dengan tinggi *step* 20 mm



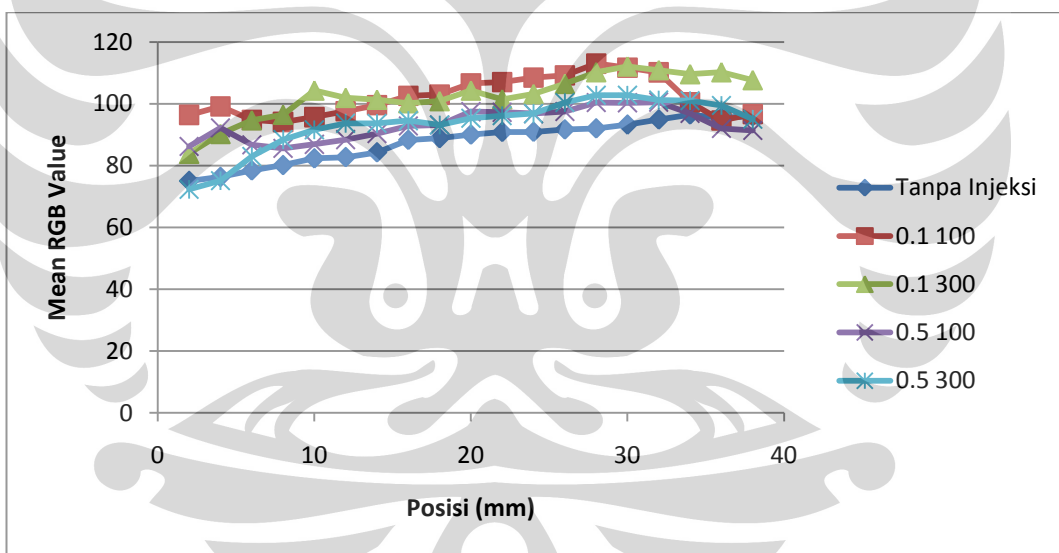
Gambar 4.12 Grafik perbandingan kondisi injeksi dan tanpa injeksi bagian *upstream* $y=2$ dengan tinggi step 20 mm



Gambar 4.13 Grafik perbandingan kondisi injeksi dan tanpa injeksi bagian *upstream* $y=3$ dengan tinggi step 20 mm



Gambar 4.14 Grafik perbandingan kondisi injeksi dan tanpa injeksi bagian *upstream* $y=4$ dengan tinggi *step* 20 mm



Gambar 4.15 Grafik perbandingan kondisi injeksi dan tanpa injeksi bagian *upstream* $y=5$ dengan tinggi *step* 20 mm

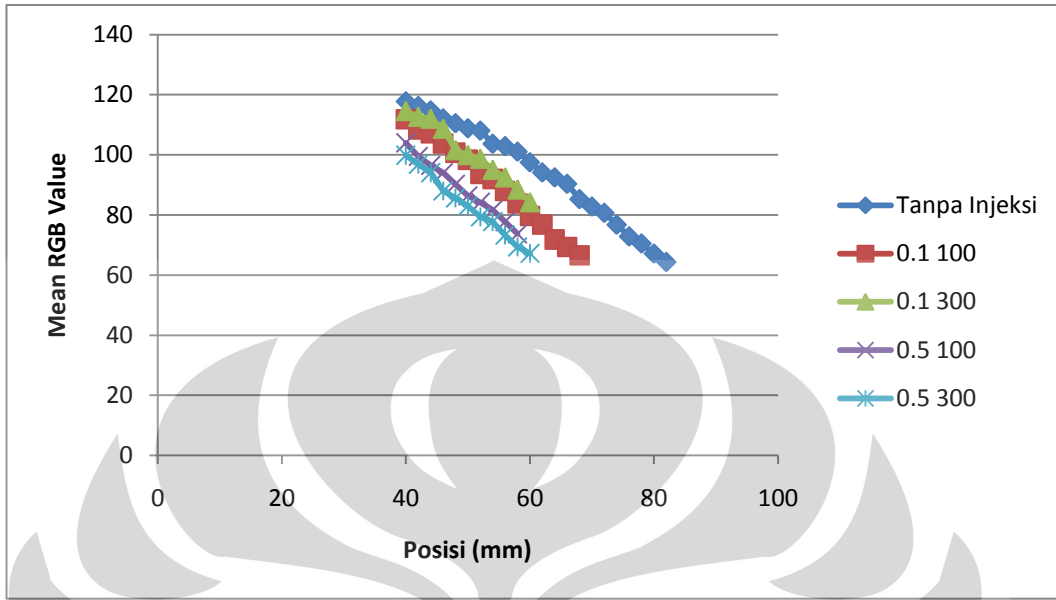
Pada kelima urutan gambar diatas yang menjelaskan mengenai grafik nilai RGB pada daerah *upstream*, dimulai pada $y=1$ dimana dari titik 1 hingga 39 menunjukkan pola meningkat untuk semua kondisi baik dengan ataupun tanpa injeksi. Hal ini menunjukkan bahwa konsentrasi partikel seiring berjalannya sesuai arah sumbu x positif akan mengalami

peningkatan. Pada data koordinat $y=1$ ini ditunjukkan bahwa kondisi rasio injeksi memiliki nilai yang lebih tinggi dibanding kondisi tanpa injeksi dan kondisi rasio injeksi memiliki nilai yang lebih rendah dibanding kedua kondisi sebelumnya. Hal ini dikarenakan pada kondisi rasio injeksi 0.5 , *block effect* yang dihasilkan oleh injeksi akan lebih besar dan menghasilkan tinggi injeksi yang lebih besar. Hal ini akan mengakibatkan partikel pada $y=1$ terhalang dan bergerak menuju daerah *upstream* sehingga konsentrasi partikel akan berkurang. Hal sebaliknya terjadi pada rasio injeksi 0.1 , dimana injeksi diberikan tidak tinggi dan akan menambah partikel pada $y=1$ dan karena momentum *free stream* yang tinggi akan menghasilkan penyebaran merata menuju *upstream* dan daerah *downstream* , tidak seperti aliran tanpa injeksi dimana aliran akan mengalir bebas sehingga partikel akan tersebar, walaupun partikelnya tidak berkurang sebesar rasio 0.5. Grafik yang ditunjukkan oleh Gambar 4.11 menjelaskan penjelasan yang diberikan.

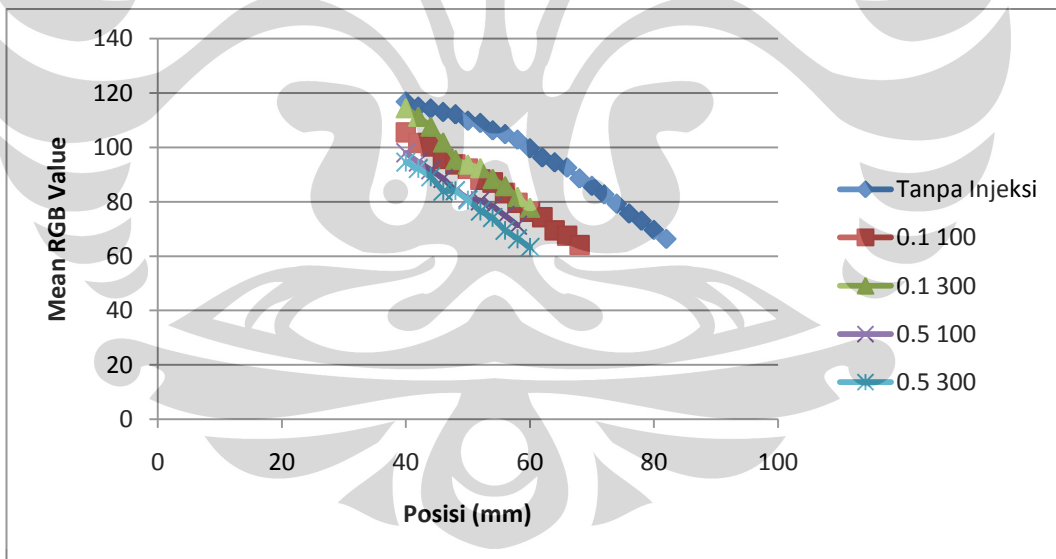
Kondisi pada $y=2$ hingga $y=5$ mendukung pernyataan sebelumnya, dimana kondisi tanpa injeksi mempunyai nilai yang cenderung stabil, sedangkan kondisi 0.1 menurun nilai konsentrasi partikelnya setelah *shear layer* terbelah oleh injeksi. Pada $y= 3$ terdapat peningkatan nilai RGB pada jarak kurang lebih 9 mm, hal ini menunjukkan adanya kepekatan partikel yang lebih tinggi kemudian menurun kembali yang menunjukkan adanya resirkulasi pada daerah tersebut. Pada grafik ketiga pada Gambar 4.13 ini rasio 0.5 mempunyai nilai RGB yang lebih tinggi dibandingkan kondisi tanpa injeksi. Hal ini menunjukkan bahwa sebaran partikel di daerah *upstream* lebih rata.

Koordinat $y=4$ pada Gambar 4.14 lebih menunjukkan bahwa sebaran pada daerah *upstream* lebih rata dimana 2 kondisi dengan rasio 0.5 mempunyai nilai umum RGB yang lebih tinggi dibanding salah satu kondisi rasio injeksi 0.1. Data koordinat berikutnya menunjukkan sebaran yang lebih fluktuatif , namun kondisi rasio 0.1 mempunyai nilai tertinggi

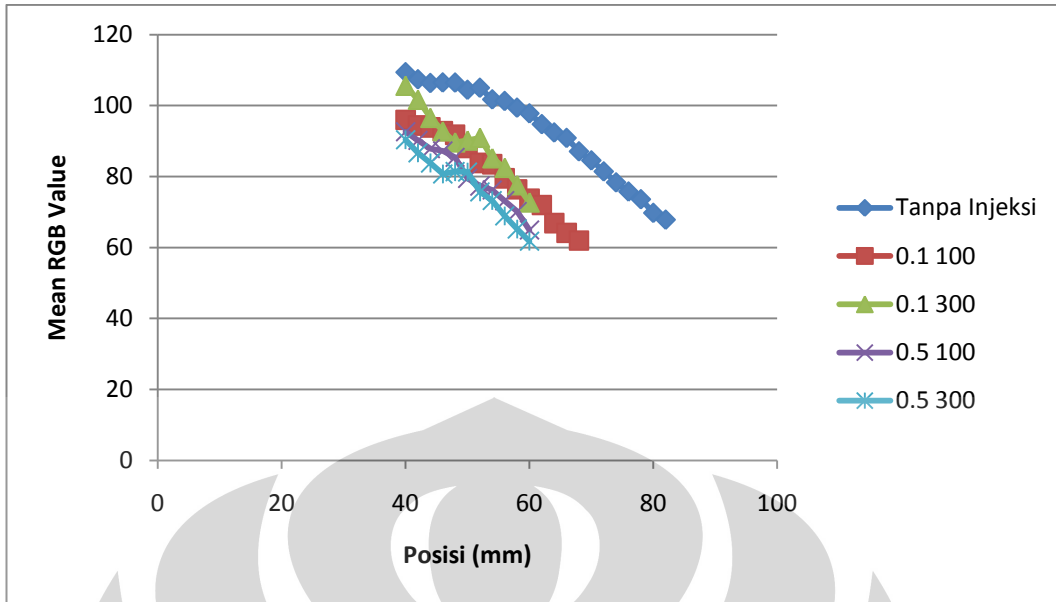
dikarenakan sebaran yang terjadi akibat pemisahan *shear layer* lebih merata menuju *upstream* dan *downstream*.



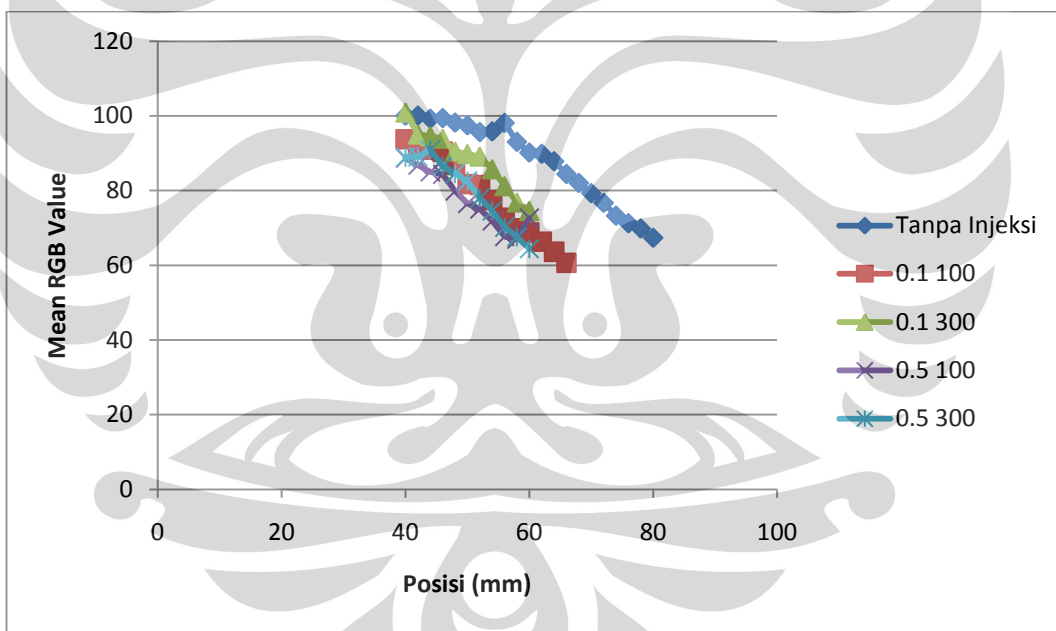
Gambar 4.16 Grafik perbandingan kondisi injeksi dan tanpa injeksi bagian *downstream* $y=1$ dengan tinggi step 20 mm



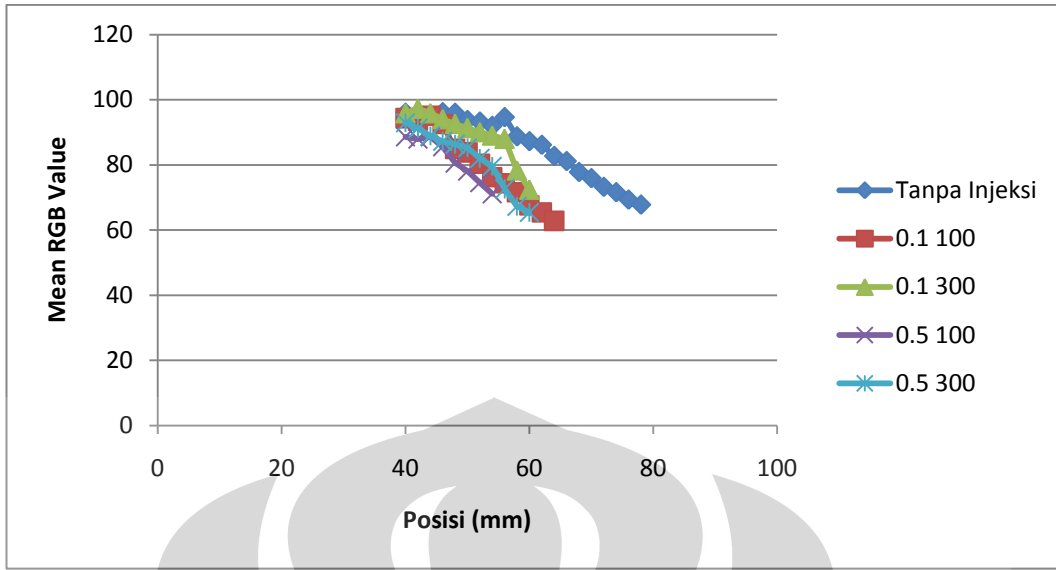
Gambar 4.17 Grafik perbandingan kondisi injeksi dan tanpa injeksi bagian *downstream* $y=2$ dengan tinggi step 20 mm



Gambar 4.18 Grafik perbandingan kondisi injeksi dan tanpa injeksi bagian *downstream* $y=3$ dengan tinggi *step* 20 mm



Gambar 4.19 Grafik perbandingan kondisi injeksi dan tanpa injeksi bagian *downstream* $y=4$ dengan tinggi *step* 20 mm

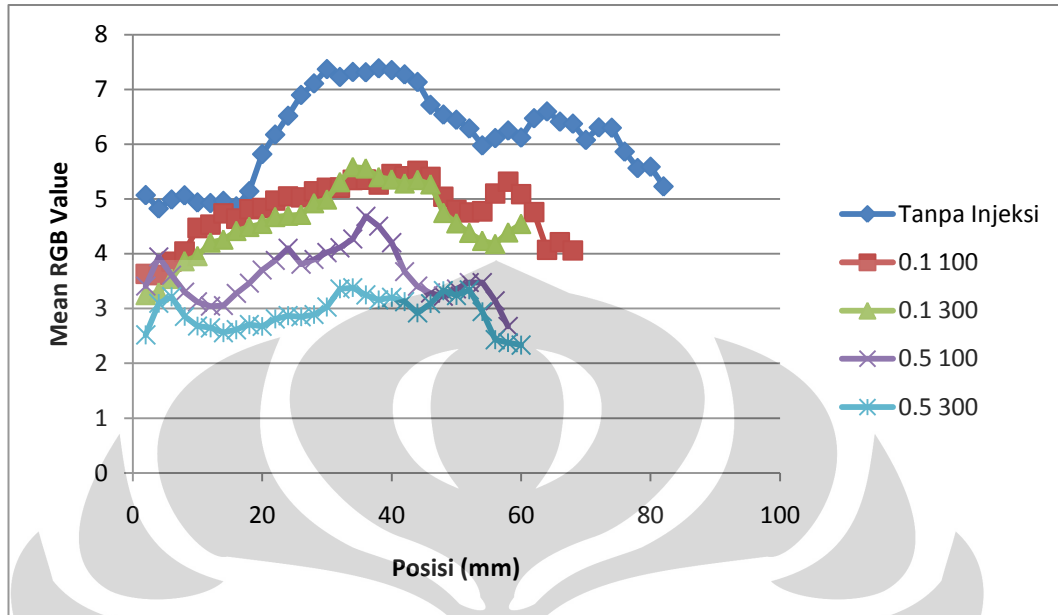


Gambar 4.20 Grafik perbandingan kondisi injeksi dan tanpa injeksi bagian *upstream* $y=5$ dengan tinggi *step* 20 mm

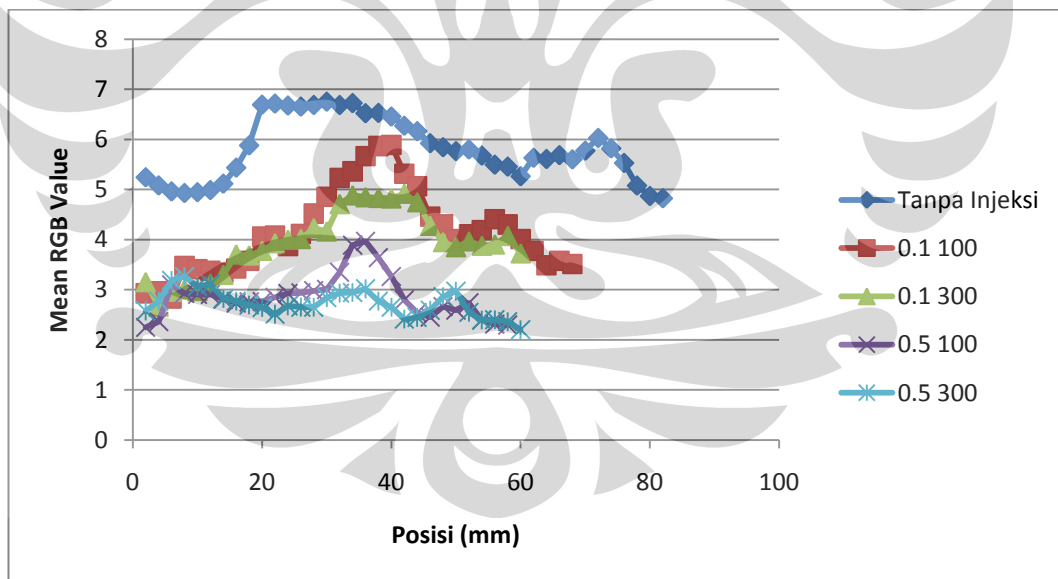
Sedangkan untuk grafik *downstream* yang ditunjukkan oleh Gambar 4.16 hingga 4.20 mempunyai karakteristik yang berbeda, dimana untuk semua grafik ini kondisi tanpa injeksi mempunyai nilai RGB / kepekatan partikel yang paling tinggi. Hal ini dikarenakan tidak adanya halangan dari luar sehingga *shear layer* yang terbentuk setelah melewati *step* akan terus terkumpul dan terpecah secara lambat. Lapisan yang terpecah lambat itu akan mempunyai kepekatan yang mengalami peredupan lambat pula. Hal ini berbeda dibandingkan kondisi dengan injeksi, dimana untuk rasio 0.5 sebaran belahan *shear layer* sudah dihalangi dinding injeksi menuju daerah *upstream* dan hanya sebagian yang mengalir menuju daerah *downstream*. Hal ini ditunjukkan dengan nilai yang terendah antara 60 hingga 80, namun kepekatan untuk kondisi 0.5 tergolong rata pada daerah *downstream* karena nilai ini dipertahankan untuk kelima posisi yang ada.

Untuk injeksi dengan rasio 0.1, nilai RGB yang mengalami penurunan menunjukkan bahwa pada daerah *downstream* kepekatananya tidak konstan seperti rasio 0.5 namun memiliki konsentrasi partikel yang lebih besar. Namun karena partikelnya sudah tersebar menuju berbagai

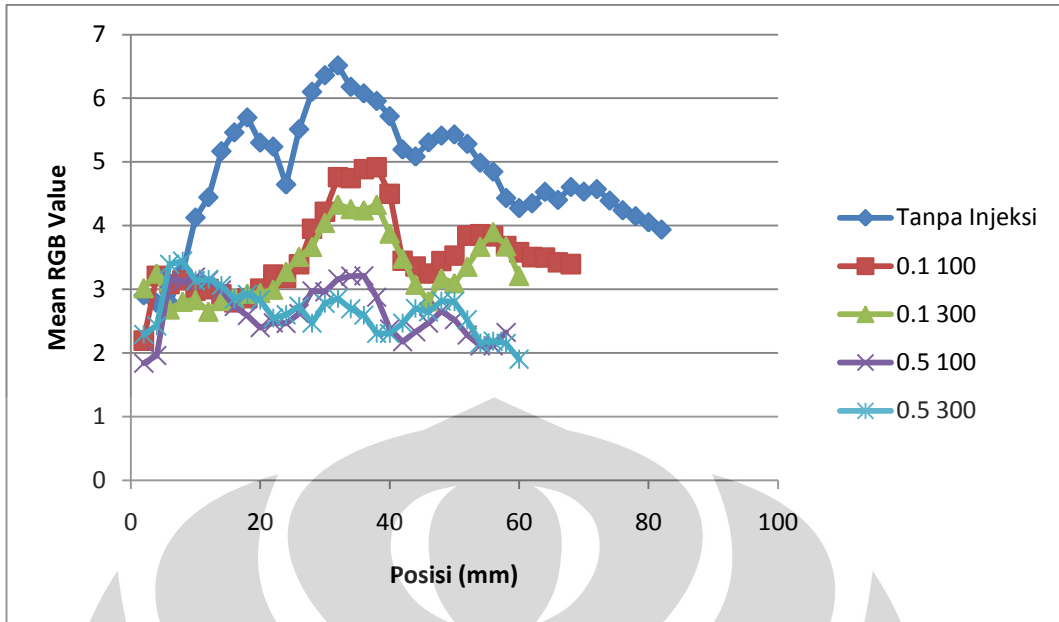
macam arah, nilai kepekatan ini tidak dapat sebesar nilai kepekatan kondisi tanpa injeksi.



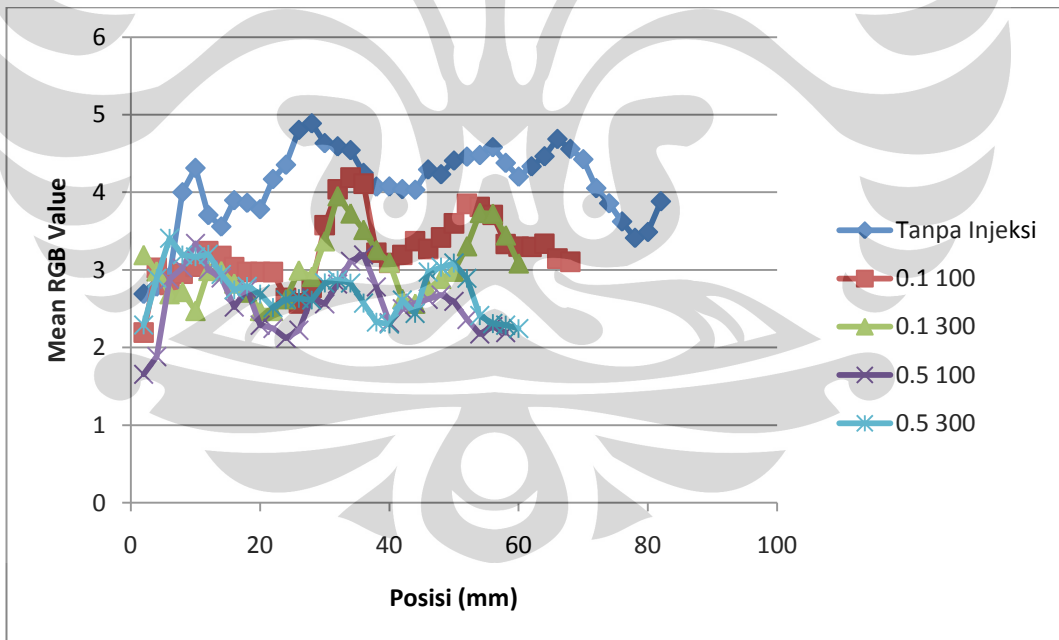
Gambar 4.21 Grafik standar deviasi kondisi dengan dan tanpa injeksi pada $y=1$ untuk ketinggian step 20 mm



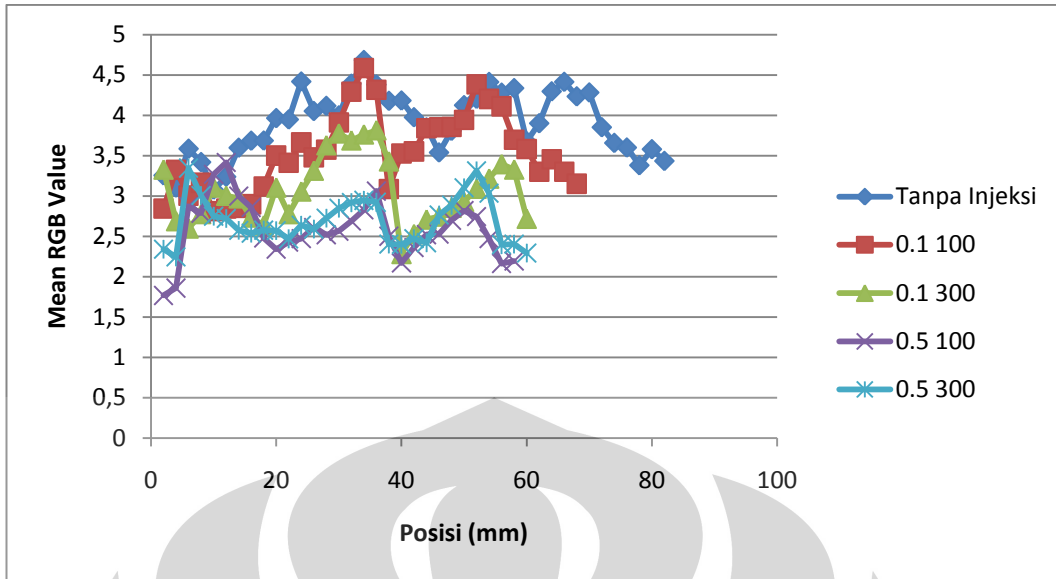
Gambar 4.22 Grafik standar deviasi kondisi dengan dan tanpa injeksi pada $y=2$ untuk ketinggian step 20 mm



Gambar 4.23 Grafik standar deviasi kondisi dengan dan tanpa injeksi pada $y=3$ untuk ketinggian *step* 20 mm



Gambar 4.24 Grafik standar deviasi kondisi dengan dan tanpa injeksi pada $y=4$ untuk ketinggian *step* 20 mm

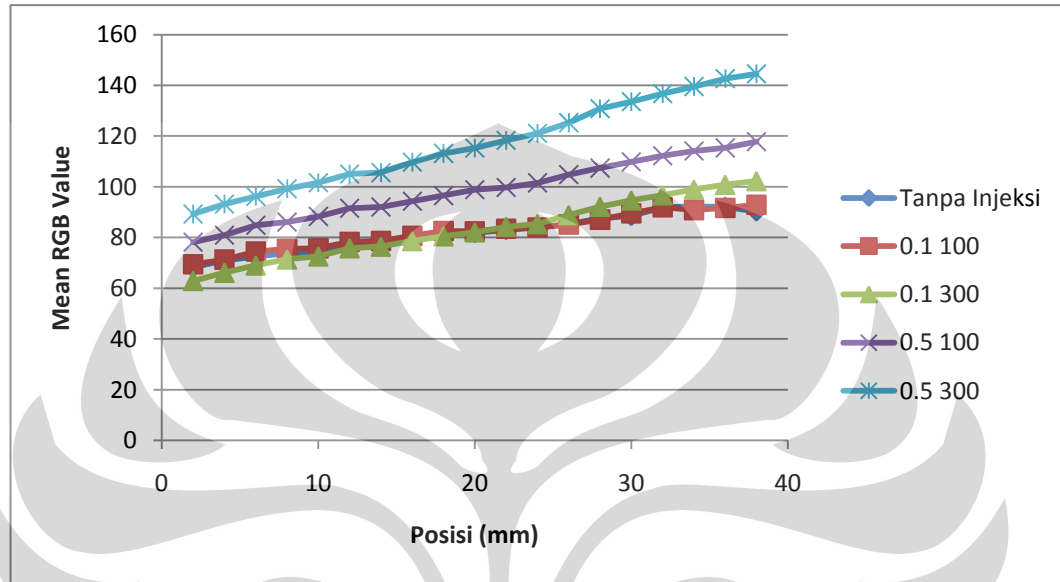


Gambar 4.25 Grafik standar deviasi kondisi dengan dan tanpa injeksi pada $y=5$ untuk ketinggian step 20 mm

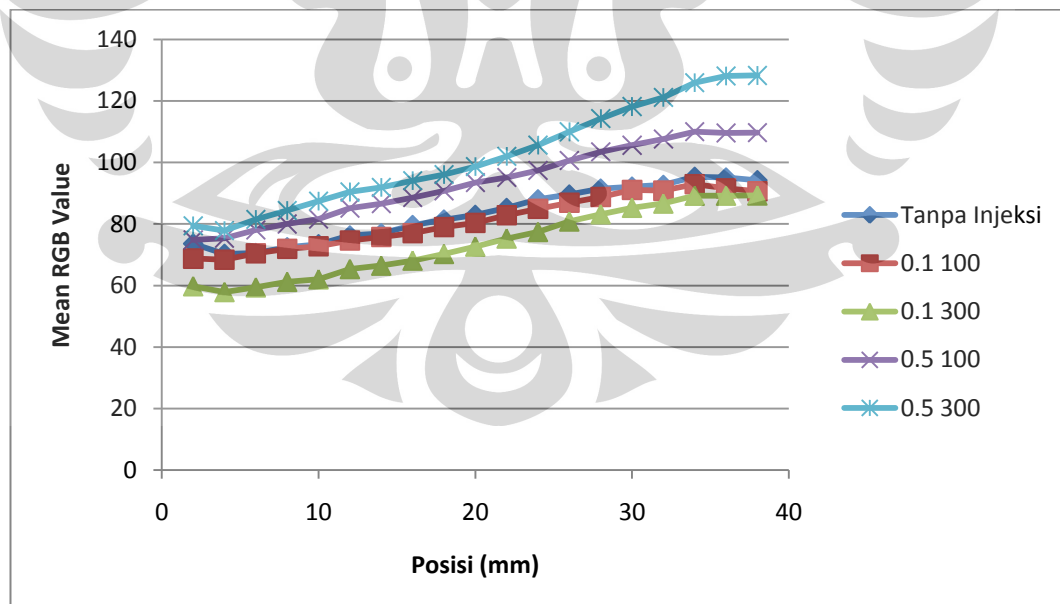
Pada Gambar 4.21 hingga 4.25 terdapat grafik standar deviasi untuk kondisi tanpa injeksi maupun kondisi injeksi dengan berbagai macam parameter seperti temperatur dan rasio injeksi. Kelima grafik ini berbeda dengan grafik analisa sebelumnya dimana jarak pada *backward-facing step* tidak terbagi menjadi *upstream* dan *downstream*. Pada kelima kelima grafik tersebut hal yang paling terlihat adalah kondisi tanpa injeksi memiliki standar deviasi terbesar walaupun nilainya menurun seiring semakin mendekatnya terhadap dinding dasar geometri. Hal ini disebabkan oleh tidak adanya sistem kontrol aktif pada aliran bebas tersebut sehingga sebaran yang dihasilkan oleh aliran tanpa injeksi akan lebih besar untuk berbagai posisi titik pengambilan data. Aliran tanpa injeksi mengalami standar deviasi yang lebih rendah dibanding tanpa injeksi karena aliran yang dihasilkan efek eksitasi eksternal tidak akan mengalami perubahan yang jauh dibandingkan aliran bebas dimana partikel aliran dapat bergerak bebas dan acak. Dengan adanya eksitasi eksternal , gerakan partikel akan terarah, seperti aliran yang tertahan dinding injeksi akan mengalami resirkulai di daerah *upstream* dan hal ini akan terus terulang sehingga variasinya akan mengecil.

4.2.1 Ketinggian *step* 40 mm

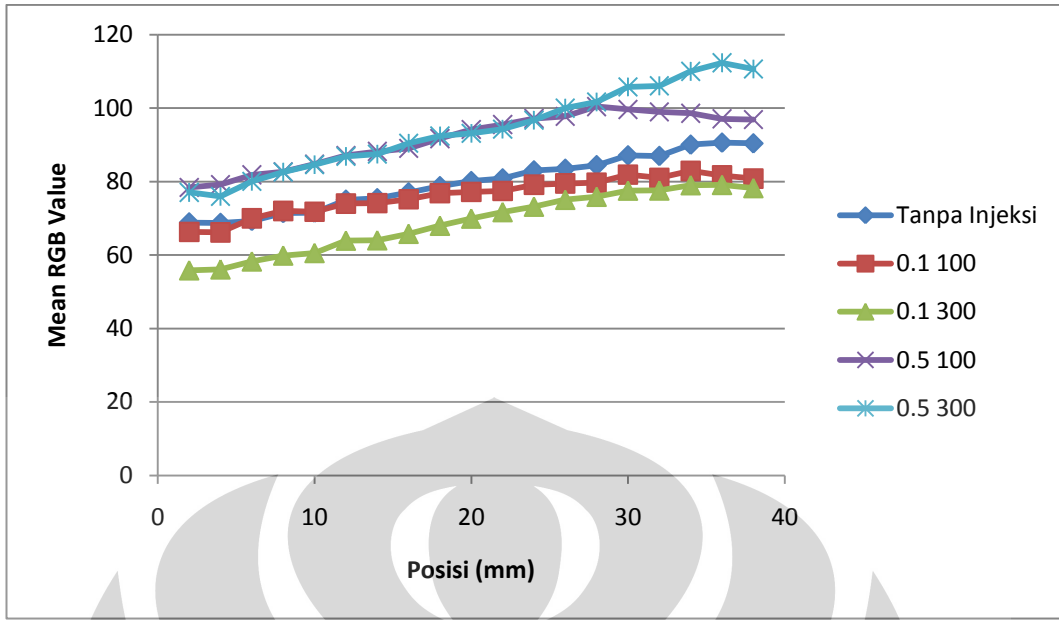
Analisa pada sub-bab ini menitikberatkan pada aliran dengan ketinggian *step* sebesar 40 mm, sama seperti analisa kualitatif. Berikut adalah rentetan grafik *upstream* dan *downstream* untuk kondisi tersebut.



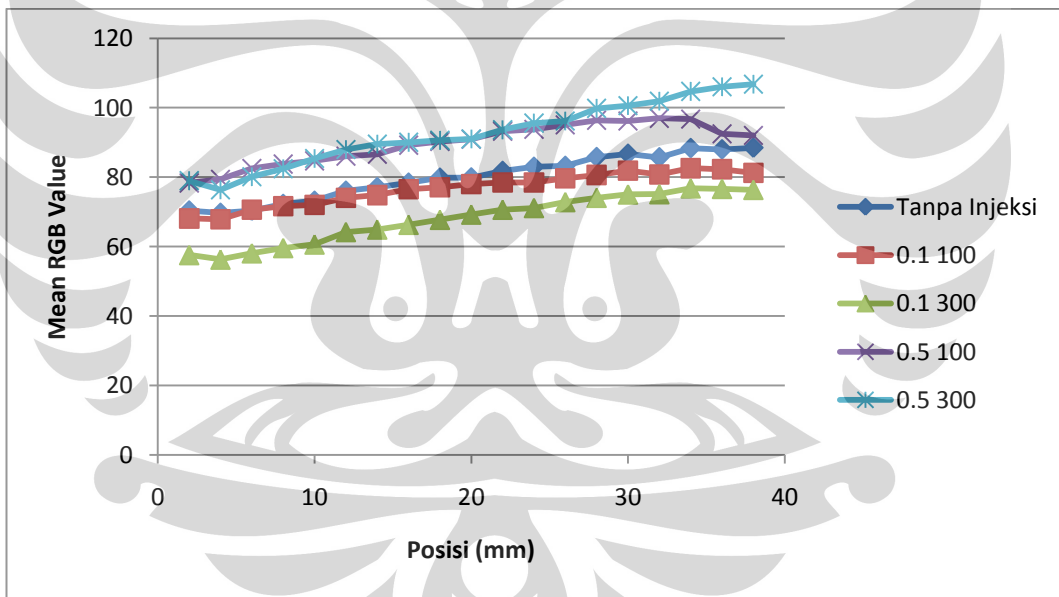
Gambar 4.26 Grafik perbandingan kondisi injeksi dan tanpa injeksi bagian *upstream* $y=1$ dengan tinggi *step* 40 mm



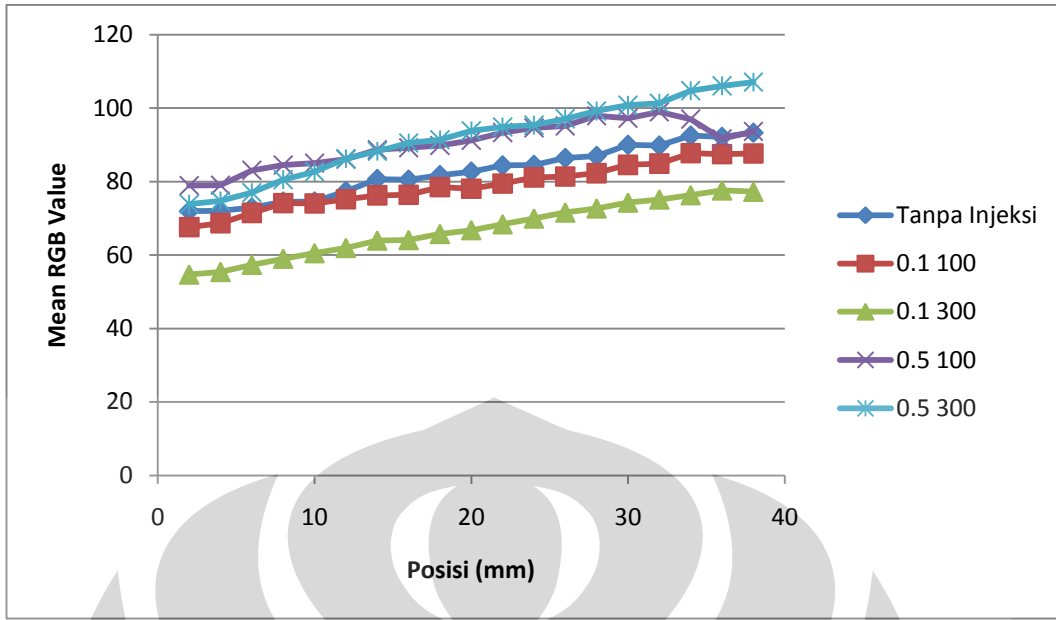
Gambar 4.27 Grafik perbandingan kondisi injeksi dan tanpa injeksi bagian *upstream* $y=2$ dengan tinggi *step* 40 mm



Gambar 4.28 Grafik perbandingan kondisi injeksi dan tanpa injeksi bagian *upstream* $y=3$ dengan tinggi step 40 mm



Gambar 4.29 Grafik perbandingan kondisi injeksi dan tanpa injeksi bagian *upstream* $y=4$ dengan tinggi step 40 mm

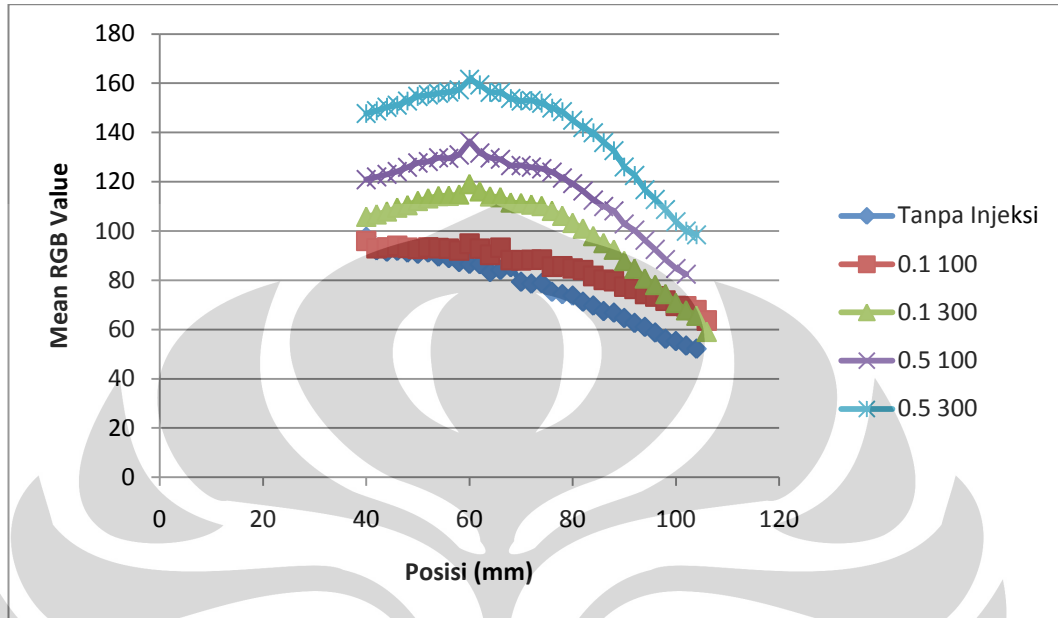


Gambar 4.30 Grafik perbandingan kondisi injeksi dan tanpa injeksi bagian *upstream* $y=5$ dengan tinggi *step* 40 mm

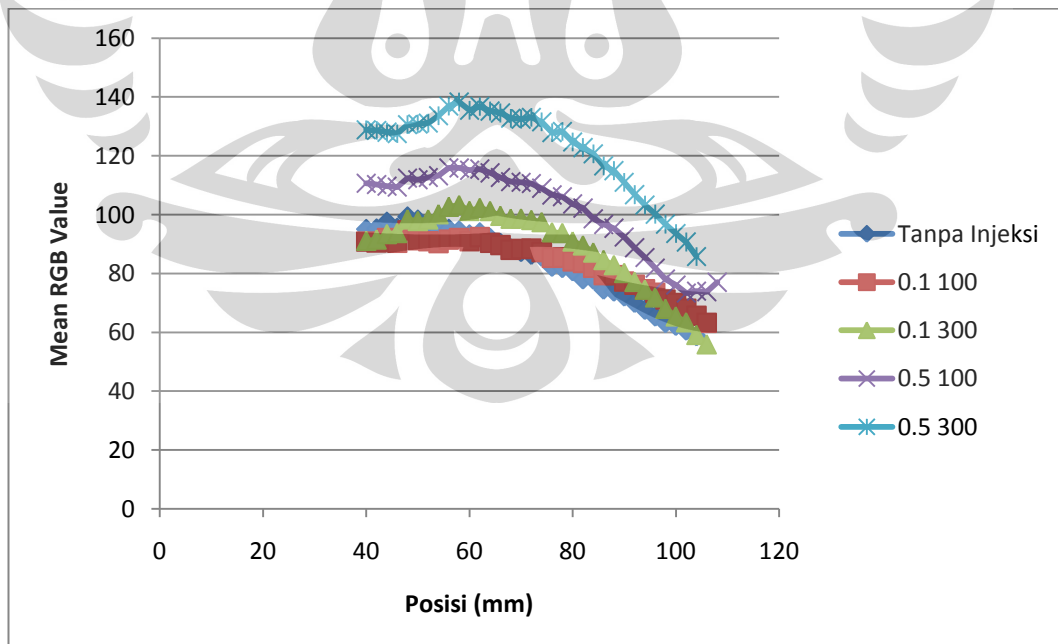
Pada grafik yang ditunjukkan pada Gambar 4.26 dapat dilihat bahwa terjadi fenomena yang berlawanan dengan apa yang terjadi pada tinggi *step* sebesar 20 mm dimana kondisi dengan rasio injeksi 0.5 mempunyai nilai konsentrasi partikel / kepekatan yang tertinggi dan rasio injeksi 0.1 mempunyai nilai terendah. Nilai untuk tanpa injeksi tidak berubah banyak dibandingkan tinggi *step* 20 mm. Hal ini dikarenakan gabungan variasi parameter antara rasio injeksi 0.5 dengan tinggi *step* 40 mm yang lebih tinggi akan mengoptimalkan sebaran aliran yang tersebar oleh dinding injeksi, sehingga sebaran akan merata dari *upstream* hingga *downstream*. Sedangkan untuk rasio injeksi 0.1 akan menghasilkan efek yang kurang optimal pada kondisi ini dikarenakan luasan *test section* yang membesar akibat meningginya *step*. Dengan meluasnya daerah ini, maka penyebaran partikel untuk rasio 0.1 akan lebih meluas dengan *supply* kepekatan partikel yang sama sehingga nilai kepekatan partikel akan berkurang jauh dibandingkan pada kondisi tinggi *step* sebesar 20 mm.

Pada Gambar 4.27 hingga 4.30 terjadi perubahan kepekatan partikel pada titik yang mendekati titik injeksi, menuju pengurangan partikel, hal ini dikarenakan persebaran partikel menuju daerah lain akibat

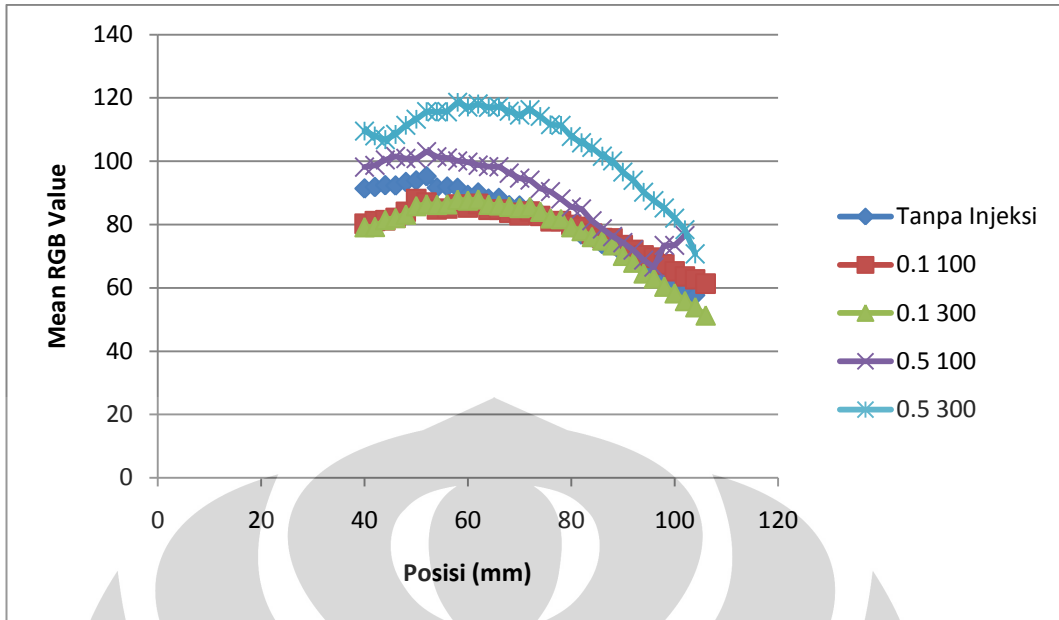
kontak dengan dinding injeksi atau bisa disebut dengan *block effect*. Mengenai persebaran dari partikel untuk masing-masing kondisi mempunyai gradien peningkatan yang konstan.



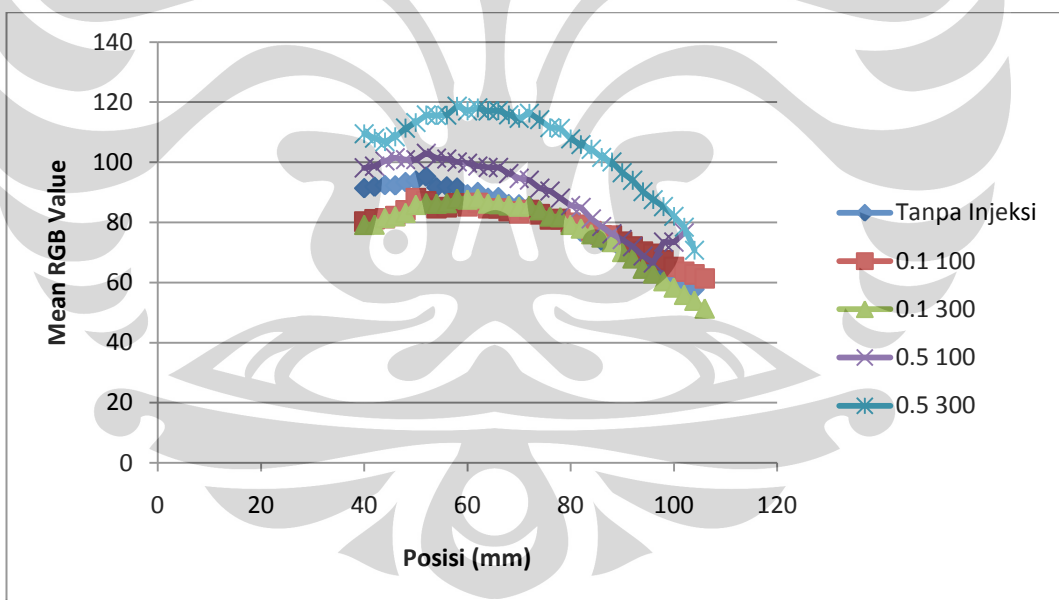
Gambar 4.31 Grafik perbandingan kondisi injeksi dan tanpa injeksi bagian *downstream* $y=1$ dengan tinggi step 40 mm



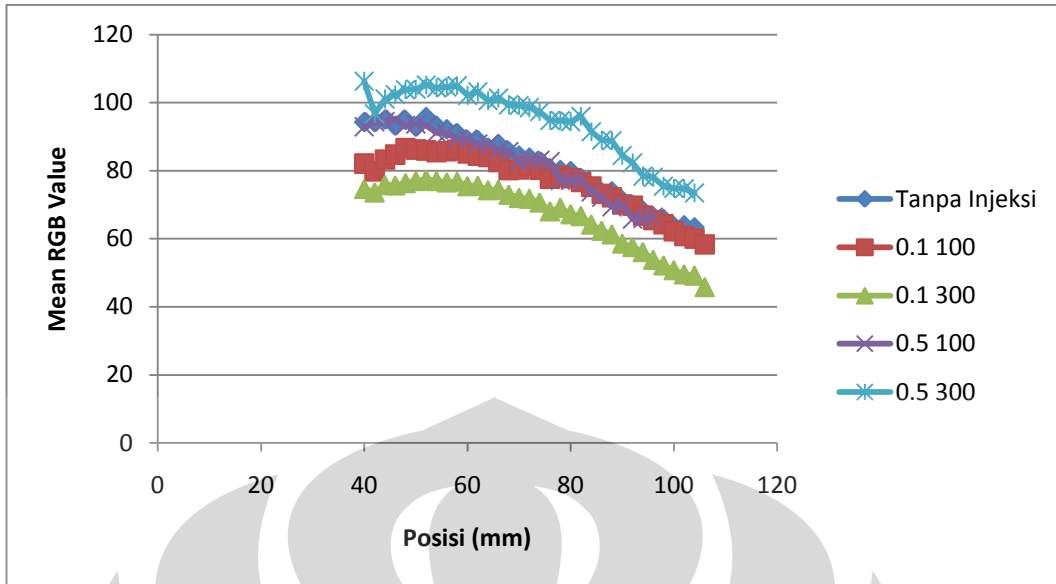
Gambar 4.32 Grafik perbandingan kondisi injeksi dan tanpa injeksi bagian *downstream* $y=2$ dengan tinggi step 40 mm



Gambar 4.33 Grafik perbandingan kondisi injeksi dan tanpa injeksi bagian *downstream* $y=3$ dengan tinggi step 40 mm

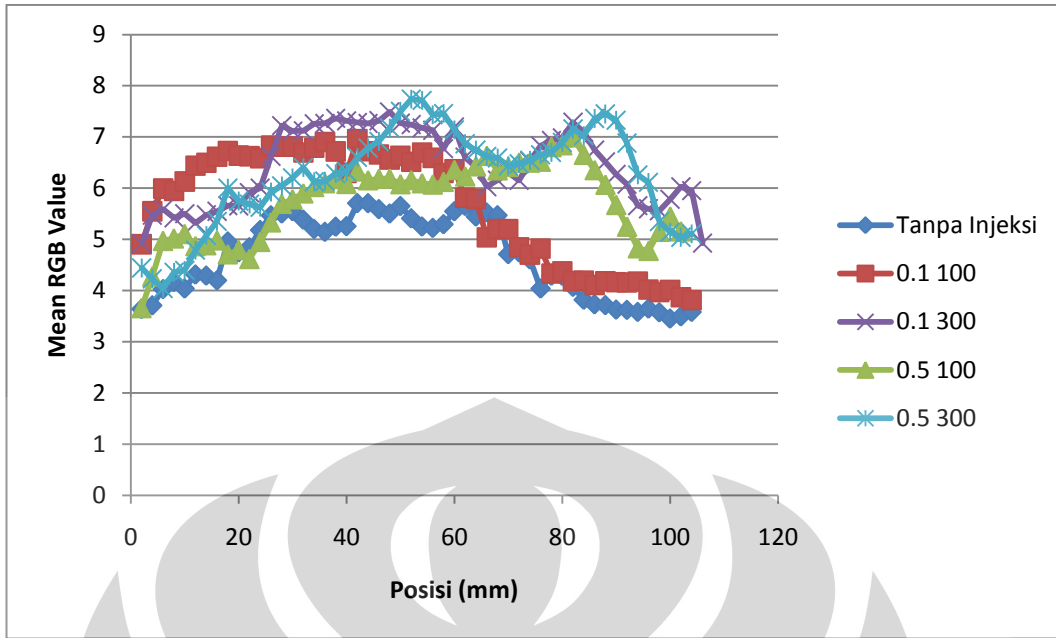


Gambar 4.34 Grafik perbandingan kondisi injeksi dan tanpa injeksi bagian *downstream* $y=4$ dengan tinggi step 40 mm

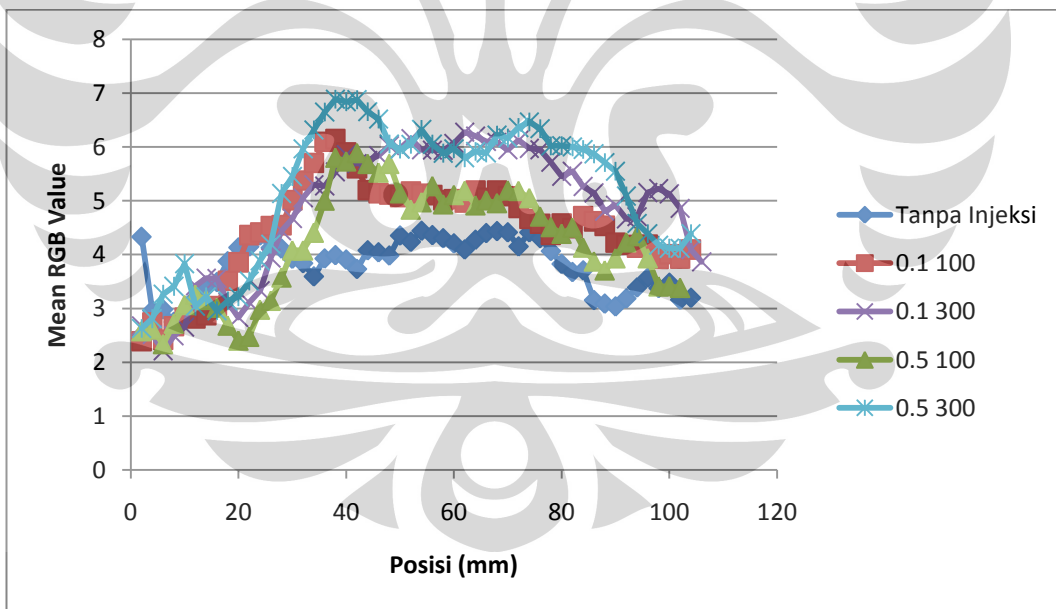


Gambar 4.35 Grafik perbandingan kondisi injeksi dan tanpa injeksi bagian *downstream* $y=5$ dengan tinggi *step* 40 mm

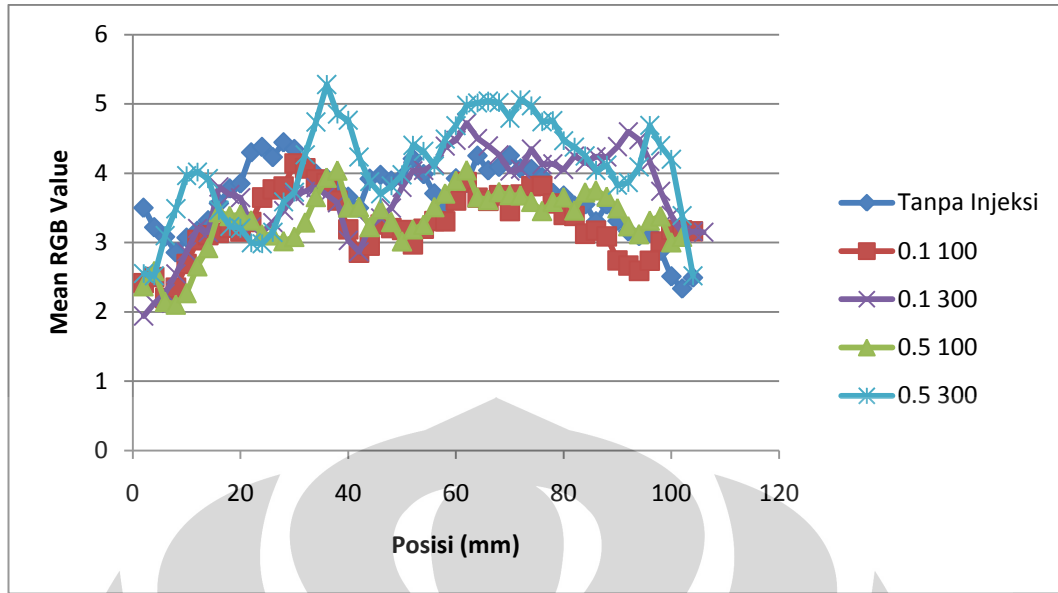
Dari Gambar 4.31 hingga Gambar 4.35 menunjukkan bahwa aliran dengan kondisi rasio injeksi 0.5 memiliki nilai RGB kepekatan tertinggi diikuti oleh kondisi rasio 0.1 dan terakhir dan terendah adalah kondisi tanpa injeksi. Sesuai dengan penjelasan pada bagian *upstream*, kondisi rasio injeksi 0.5 mempunyai sebaran yang rata hingga bagian *downstream* sedangkan rasio 0.1 mempunyai momentum yang tidak optimal untuk *step* 40 mm dikarenakan luasan penyebaran yang lebih besar. Namun kondisi rasio 0.1 masih mempunyai kepekatan yang lebih besar dibandingkan kondisi tanpa injeksi dikarenakan injeksi yang diberikan akan meningkatkan turbulensi dari aliran, sehingga kepekatan dari aliran akan meningkat, tidak seperti aliran tanpa injeksi yang akan mengalir namun mempunyai medan resirkulasi yang rendah. Fenomena yang dapat dilihat dari kelima grafik diatas adalah merapatnya kelima grafik pada ujung posisi $y=5$, hal ini dikarenakan pada titik ujung tersebut aliran sudah mulai mengalami proses *reattachment* sehingga kembali menjadi aliran laminar. Aliran laminar ini akan mengurangi kemampuan pendar dari partikel aliran karena dengan aliran turbulent lah visualisasi dapat dilakukan.



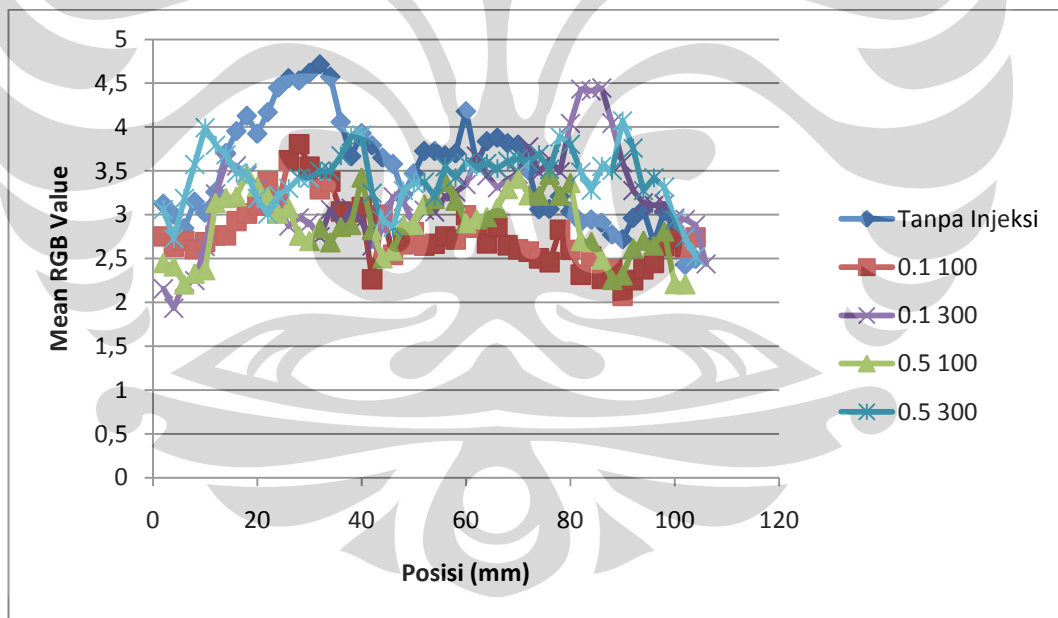
Gambar 4.36 Grafik standar deviasi kondisi dengan dan tanpa injeksi pada $y=1$ untuk ketinggian step 40 mm



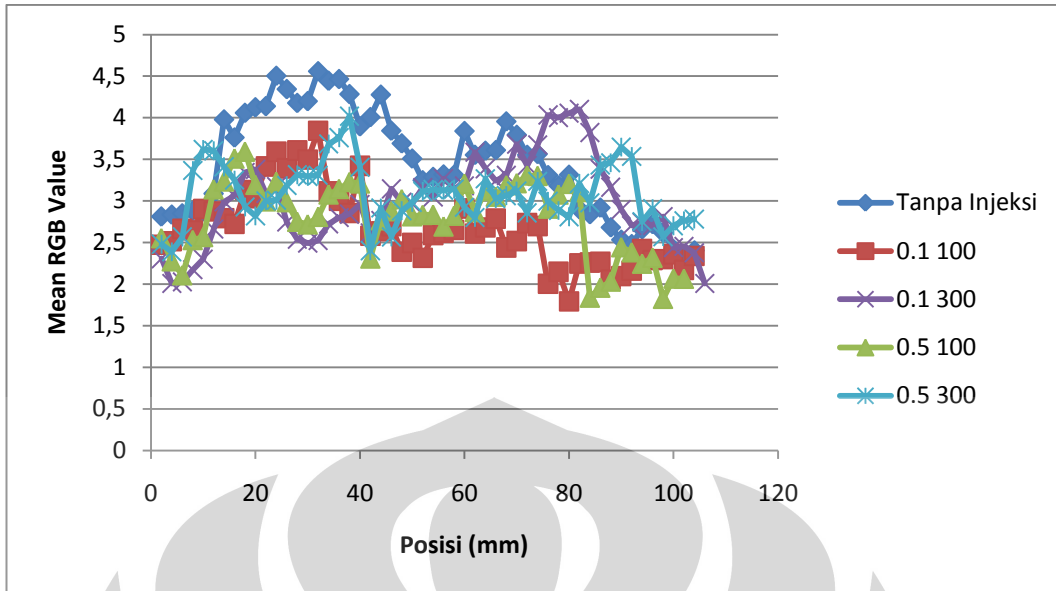
Gambar 4.37 Grafik standar deviasi kondisi dengan dan tanpa injeksi pada $y=2$ untuk ketinggian step 40 mm



Gambar 4.38 Grafik standar deviasi kondisi dengan dan tanpa injeksi pada y=3 untuk ketinggian step 40 mm



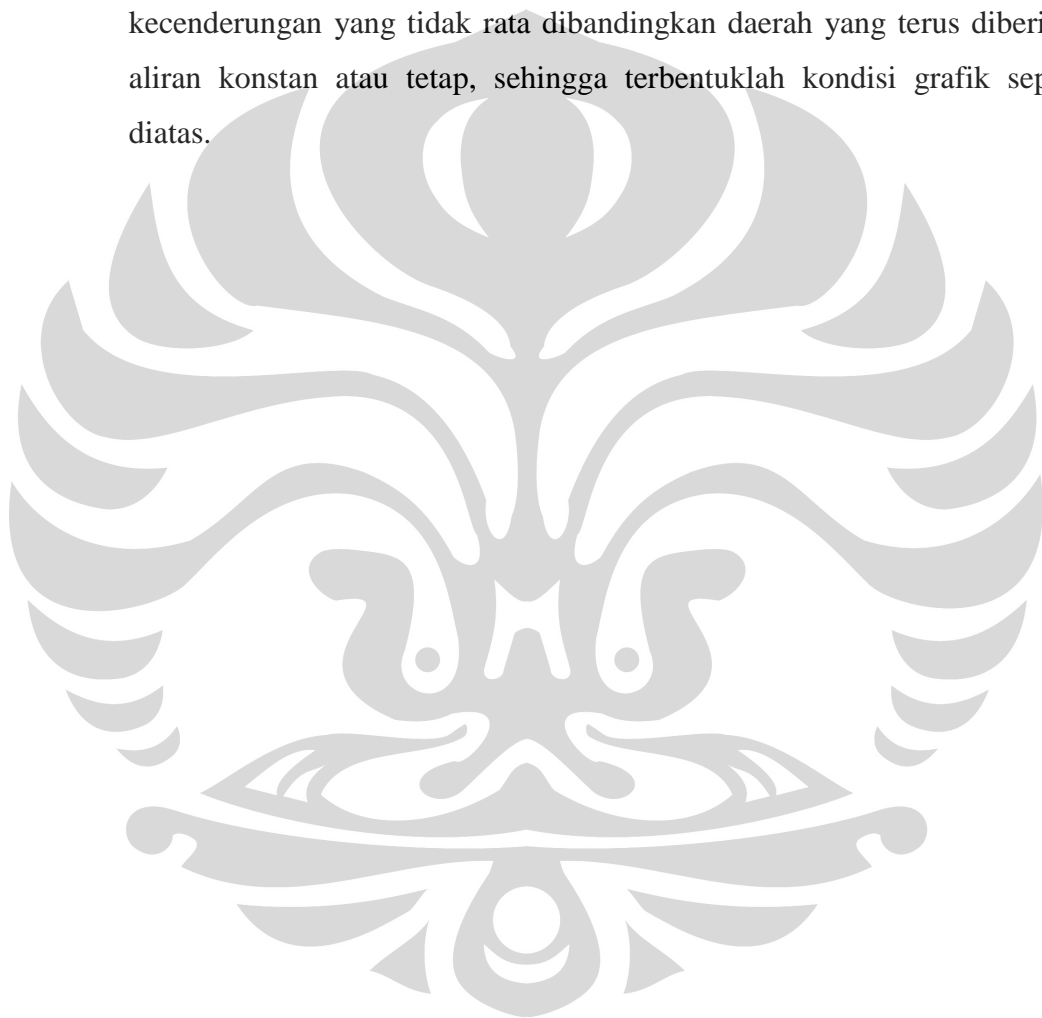
Gambar 4.39 Grafik standar deviasi kondisi dengan dan tanpa injeksi pada y=4 untuk ketinggian step 40 mm



Gambar 4.40 Grafik standar deviasi kondisi dengan dan tanpa injeksi pada $y=5$ untuk ketinggian step 40 mm

Bagian terakhir dari analisa ini adalah pembahasan mengenai standar deviasi untuk kondisi ketinggian *step* 40 mm. Dimana untuk kondisi tanpa injeksi, pada koordinat sepanjang y analisa mempunyai jangka nilai yang relatif konstan sehingga pada Gambar 4.40 yang melambangkan kondisi terdekat pada geometri menunjukkan kenaikan variasi pada kondisi dengan injeksi dan bukan peningkatan variasi pada kondisi tanpa injeksi. Pada gambar 4.36 dan 4.37 nilai deviasi tertinggi berada pada kondisi dengan rasio injeksi 0.5, baik temperatur 100 °C maupun 300 °C, dimana peningkatan deviasi ini terjadi pada jarak kurang lebih 40 mm yaitu titik injeksi, hal ini menunjukkan bahwa setelah injeksi gas panas yaitu di daerah *downstream*, aliran tersebut mengalami peningkatan turbulensi sehingga deviasi terhadap nilai RGB rata-rata akan membesar. Pada rasio momentum injeksi 0.1 , injeksi massa dan momentum yang kecil untuk area *test section* yang membesar akan membuat injeksi itu sendiri tidak berpengaruh besar terhadap alirannya sehingga pada aliran tersebut tidak terlihat fluktuasi variasi yang besar pada titik 40 mm.

Pada Gambar 4.38 mulai terlihat fluktuasi standar deviasi sepanjang aliran untuk semua kondisi hingga pada Gambar 4.39 dan 4.40 mencapai puncak fluktuasi. Pergerakan aliran turbulen yang menyebabkan standar deviasi yang tinggi akan bergerak secara pulsatif atau bertahap dengan kata lain tidak berlanjut (tidak *continuous*) pada dasar geometri *test section*. Dengan adanya fenomena turbulen yang bertahap ini, maka ketinggian deviasi pada daerah mendekati dasar akan mempunyai kecenderungan yang tidak rata dibandingkan daerah yang terus diberikan aliran konstan atau tetap, sehingga terbentuklah kondisi grafik seperti diatas.



BAB 5

KESIMPULAN DAN SARAN

5.1 Kesimpulan

Setelah menganalisa dan mengolah data yang diperoleh dari eksperimen , maka dapat diambil beberapa kesimpulan . Diantaranya adalah :

- Efek dari perubahan momentum injeksi untuk aliran yang dipengaruhi eksitasi eksternal pada daerah resirkulasi adalah peningkatan *block effect* dari injeksi gas panas yang diberikan pada aliran dari *free stream*. Dengan meningkatnya rasio momentum injeksi dari 0,1 menjadi 0,5, dinding udara gas panas yang dihasilkan lebih tegak sehingga mampu mempengaruhi *shear layer* lebih baik dibandingkan dengan efek dinding yang lebih lemah. Dikarenakan efek dinding yang makin kuat, perubahan momentum injeksi akan menghasilkan aliran resirkulasi *upstream* yang lebih kuat dibanding momentum yang rendah.
- Efek dari peningkatan temperatur pada percobaan eksperimental adalah *barrel effect* yang dihasilkan pada bagian setelah injeksi. Dengan meningkatnya temperatur, maka efek tersebut akan meningkat sehingga palung yang terbentuk akan lebih besar. Dengan fenomena pembesaran palung ini, maka resirkulasi di daerah *downstream* akan menjadi semakin lemah.
- Perubahan tinggi dari *step* dari geometri *backward-facing* akan mempengaruhi intensitas resirkulasi baik di daerah *upstream* maupun di daerah *downstream*. Berdasarkan analisa RGB dari visualisasi , maka hasil yang lebih baik didapatkan untuk geometri dengan ketinggian *step* 2 cm dibandingkan 4 cm.
- Nilai standar deviasi menunjukkan variasi yang berada pada suatu titik terhadap nilai rata-rata, dan ini menunjukkan bahwa jika standar deviasi mempunyai nilai tinggi terdapat fluktuasi kecerahan pada titik tersebut. Fluktuasi tingkat kecerahan ini dapat menjadi acuan dari tingkat turbulensi pada berbagai koordinat titik pengambilan data.

5.2 Saran

Setelah melakukan proses eksperimental terhadap alat uji, terdapat juga beberapa saran untuk mengembangkan penelitian yang sudah ada diantaranya adalah menggunakan titik-titik yang berbeda atau *line* yang berbeda untuk kondisi eksperimental. Pada penelitian ini digunakan *sheet* yang ditembakkan pada bagian tengah *test section*, untuk penelitian selanjutnya dapat digunakan pergeseran baik pada sisi kanan atau sisi kiri *test section* untuk validasi karakteristik aliran pada *backward-facing step* secara menyeluruh.

Untuk memenuhi kondisi eksperimental diatas, diperlukan juga suatu metode untuk meratakan sebaran partikel pada *test section* sehingga konsentrasi partikel aliran kurang lebih sama untuk semua bidang. Hal ini dapat dilakukan dengan membuat *slot injection* untuk injeksi partikel aliran seperti injeksi gas panas pada bagian setelah *step*.

Selain itu, dapat digunakan metode lain untuk menganalisa partikel aliran seperti menggunakan pewarna (*dye*) sebagai partikel analisa untuk memudahkan analisa aliran. Selain itu untuk metode visualisasi dapat digunakan PIV (*Particle Image Velocimetry*) atau LDV (*Laser Doppler Velocimetry*) agar menghasilkan citra yang lebih jelas dan lebih rinci untuk karakteristik aliran pada *backward-facing step*.

DAFTAR REFERENSI

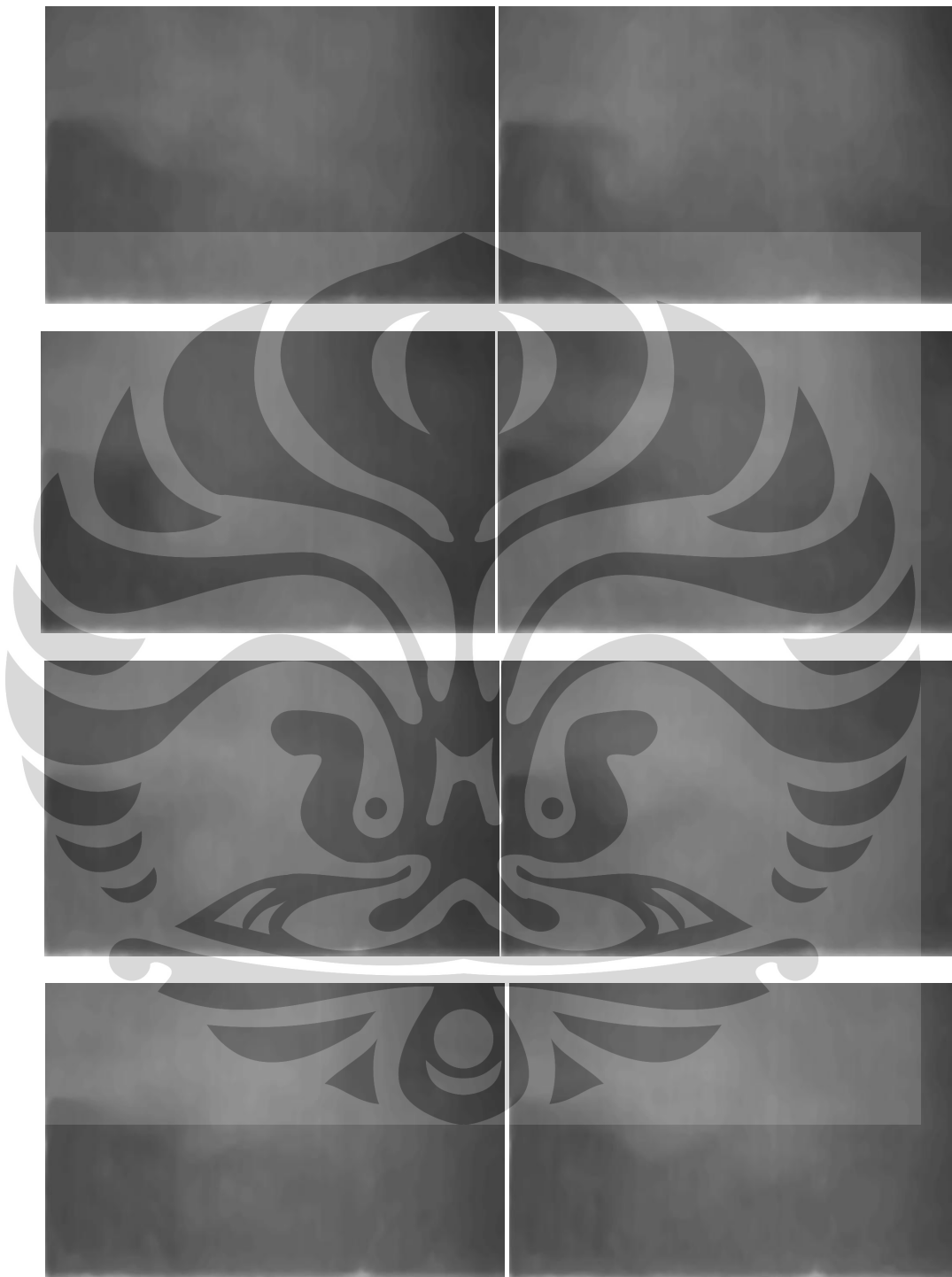
- [1] International Atomic Energy Agency. *Integration of Tracing With Computational Fluid Dynamics for Industrial Process Investigation.* (2004)
- [2] Huang , Ying , Yang , Vigor. *Unsteady Flow Evolution and Flame Dynamics In A Lean-premixed Swirl Stabilized Combustor.* Symposium on Turbulent and Shear Flow Phenomena.
- [3] Legier , J.P., Poinsot, T. , Veynante, D. *Dynamically Thickened Flame LES Model For Premixed and Non-Premixed Turbulent Combustion.* Center for Turbulence Research (2000).
- [4] Wu, D., Avdis, A., Leschziner, M.A. *Simulation of Synthetic Jets In the Context of Controlling Separated Flow.* ESPRC BAE Systems
- [5] Sherry, Michael John, Lo Jacono , David, Sheridan , John, *Flow Separation Characterisation Of A Forward Facing Step Immersed In A Turbulent Boundary Layer.* Symposium on Turbulent and Shear Flow Phenomena (2009).
- [6] O'Malley, K., Fitt, A. D., Jones, T. V., *Models For High – Reynolds – Number Flow Down A Step,* Journal of Fluid Mechanics, Vol. 222, pp. 139 – 155 (1991)
- [7] Johnson , Michael Bernard . *Aerodynamic Control and Mixing with Ramp Injection.* Graduate Aeronautical Laboratories California Institute of Technology (2005)
- [8] Toschi , F. , et al. *Backward-facing Step Calculations Using the Shear Improved Smagorinsky Model.* Center for Turbulence Research (2006)
- [9] Barber, Robert W. , Fonty , Anne. *A Numerical Study of Laminar Flow Over a Confined Backward-Facing Step Using a Novel Viscous-Splitting Vortex Algorithm.* GRACM Congress on Computational Mechanics (2002)
- [10] Ruck, B., Makiola, B., *Particle Dispersion in a Single – Sided Backward – Facing Step Flow,* Int. J. Multiphase Flow, Vol. 14, No. 6, pp. 787 – 800 (1988)
- [11] Tsai, G., Lin, Y. C., Ma, W. J., Wang, H. W., Yang, J. T., *Transitional Flow Patterns Behind A Backstep With Porous – Based Fluid Injection,* Int. J. of Heat and Mass Transfer (2008), doi : 10.1016/j.ijheatmasstransfer.2008.06.042

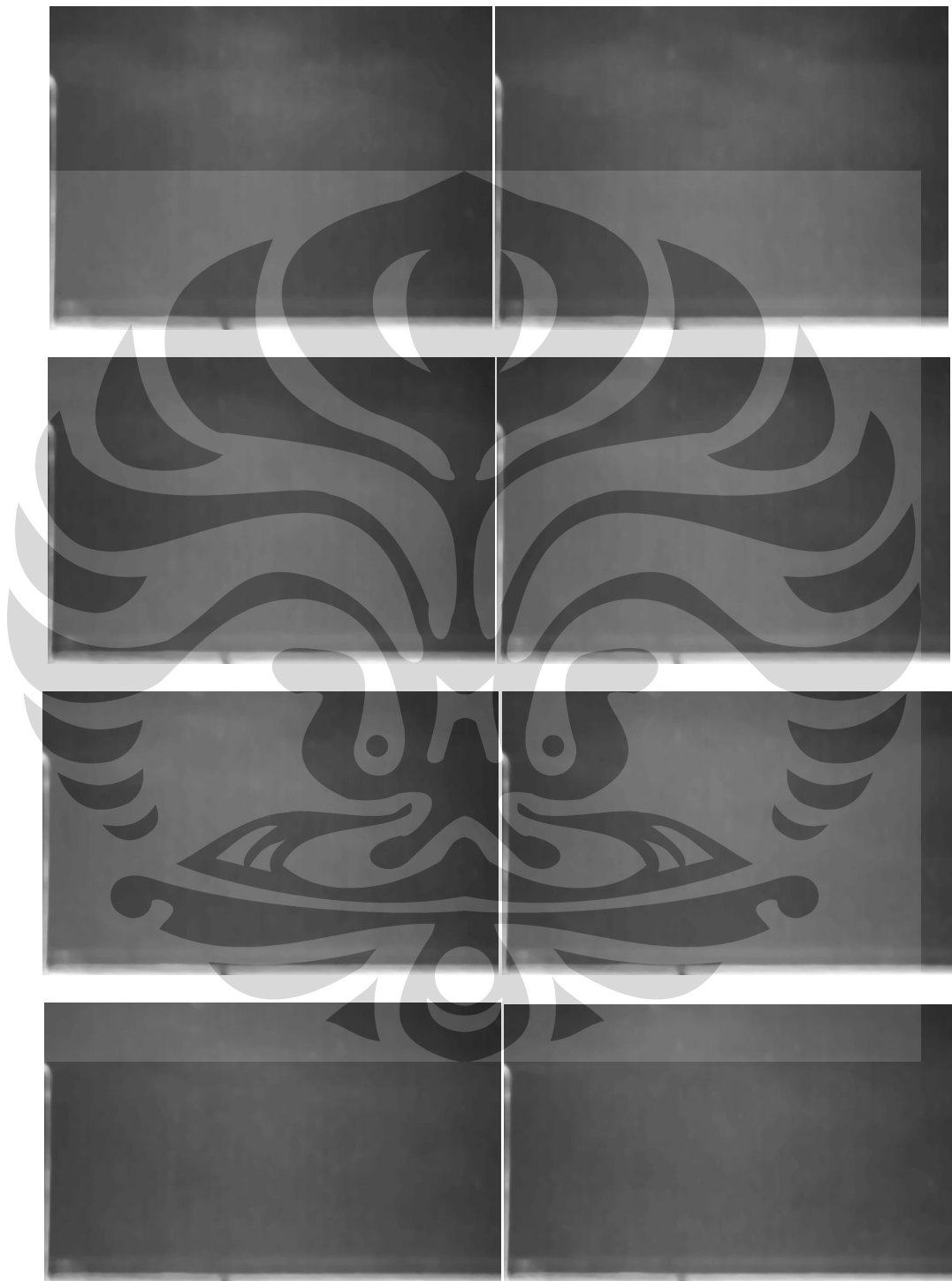
- [12] Di Cicca, G.M. , et al. *PIV Investigation On A Controlled Backward Facing Step Flow*. Proceedings of PSFVIP-4 (2003).
- [13] Abu – Nada, E., Al - Sarkhi, A., Akash, B., Al – Hinti, I., *Heat Transfer And Fluid Flow Characteristics of Separated Flows Encountered In A Backward – Facing Step Under The Effect Of Suction and Blowing*, Journal of Heat Transfer ASME, Vol. 129, 2007.
- [14] Chai, John C., Lee , HeeOk S. , Patankar , Suhas V. *Laminar Heat Transfer of A Radiating Fluid In a Backward Facing Step Flow*. International Symposium on Transport Phenomena in Thermal Engineering (1993)
- [15] Gabler , W., Mayinger, F., Hannappel, R.,. *Experimental and Numerical Investigation of the Density Field in a Supersonic Combustor with Backward Facing Steps*. Springer-Verlag (1995).
- [16] Diurno, G. V., Balaras, E., *Wall – Layer Models For LES of Separated Flows*, MD, USA : University of Maryland
- [17] Kauzlaric , D. , Greiner , A. , Korvink, J.G., *Modelling Micro-Rheological Effects In Micro Injection Moulding with Dissipative Particle Dynamics*. NSTI-Nanotech 2004 (2004).
- [18] Vuorinen, Ville . *LES of Certain Droplet Size Effects in Fuel Sprays*. Asito University : Dissertation
- [19] Berthe , Andre , et al. *The Wall-PIV Measurement Technique for Near Wall Flow Fields in Biofluid Mechanics*. Universitätsmedizin Berlin : Springer-Verlag Berlin Heidelberg (2009)
- [20] Kahler, C.J., Dreyer, M. . *Dynamic 3D Stereoscopic PIV and Schlieren Investigation of Turbulent Flow Structures Generated by Laser Induced Plasma*. TU Braunschweig : Institut fur Stromungsmechanik
- [21] Munson, B. R., Young, D. F., Okiishi, T. H., *Mekanika Fluida*, terj. Harinaldi, Budiarso (Jakarta: Erlangga, 2003).
- [22] Syaugi, A., Surya W., Putu, *Efek Injeksi gas Panas Terhadap Karakteristik Medan Temperatur Dalam Aliran Resirkulasi Pada Backward – Facing Step*, Skripsi Sarjana Teknik Mesin Universitas Indonesia, 2003.
- [23] Haryono, S., *Karakteristik Medan Termal Dalam Aliran Resirkulasi Akibat Injeksi Gas Panas Pada Backward – Facing Step*, Tesis Program Pascasarjana Teknik Mesin Universitas Indonesia, 2004.

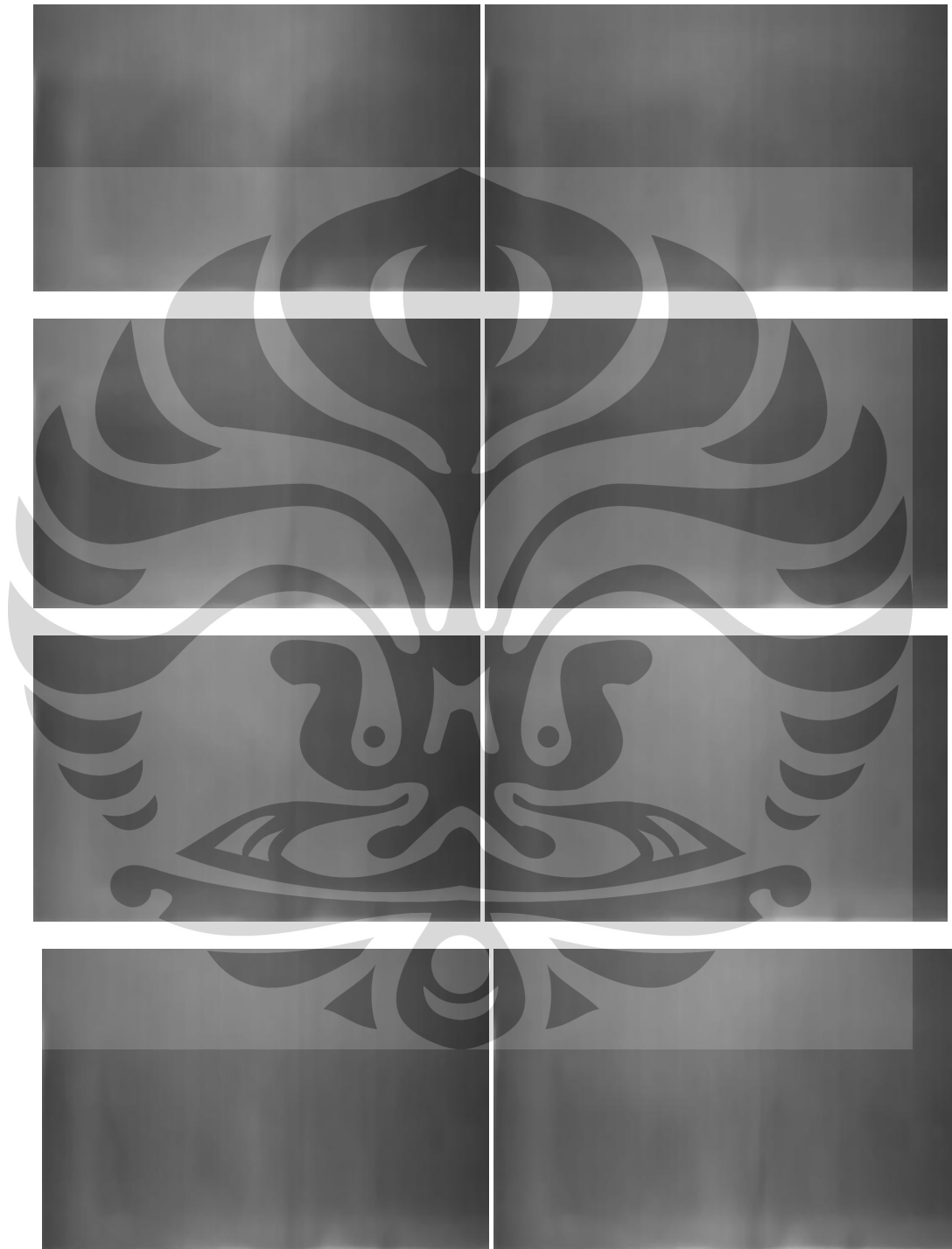


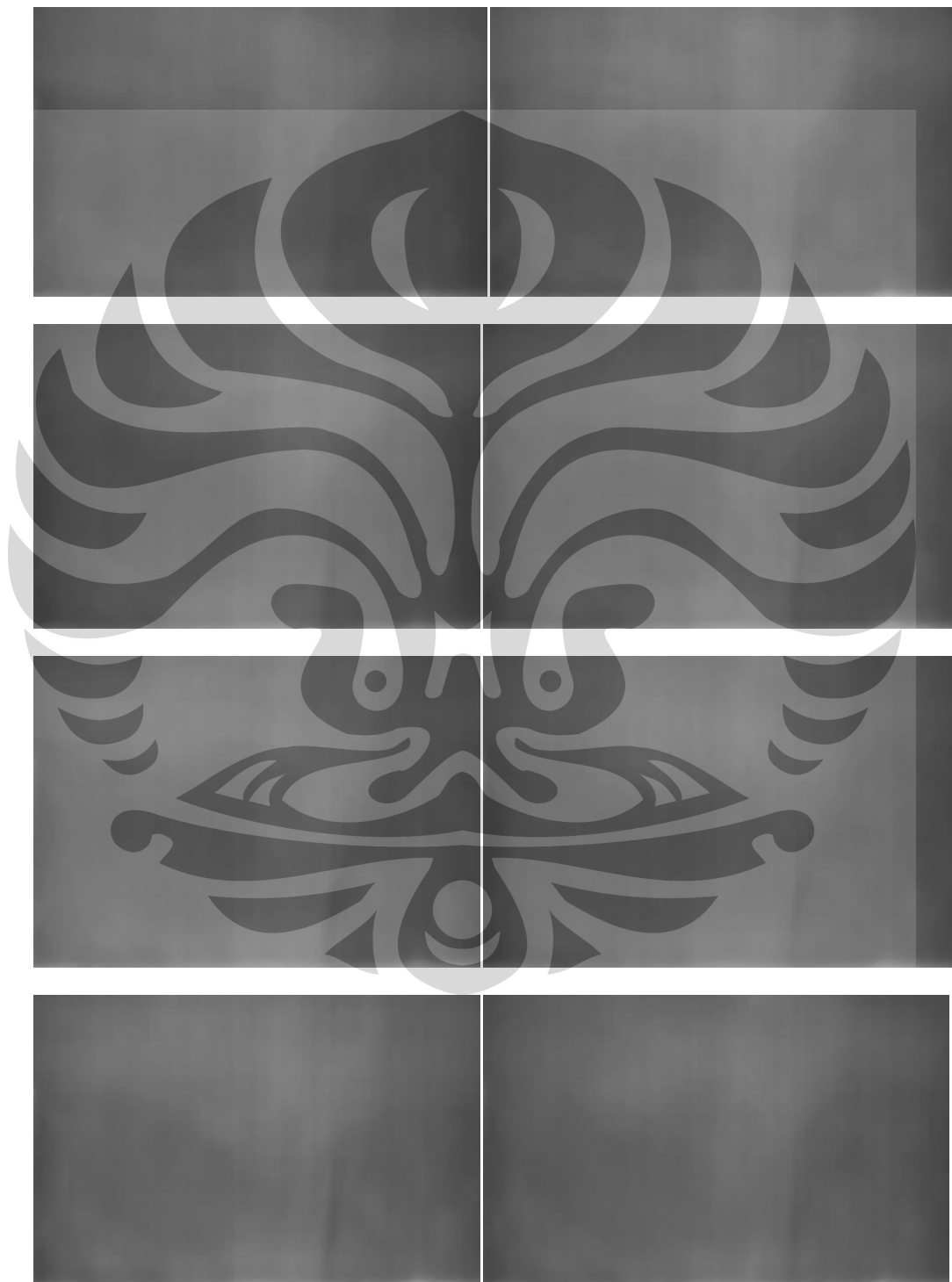
LAMPIRAN 1

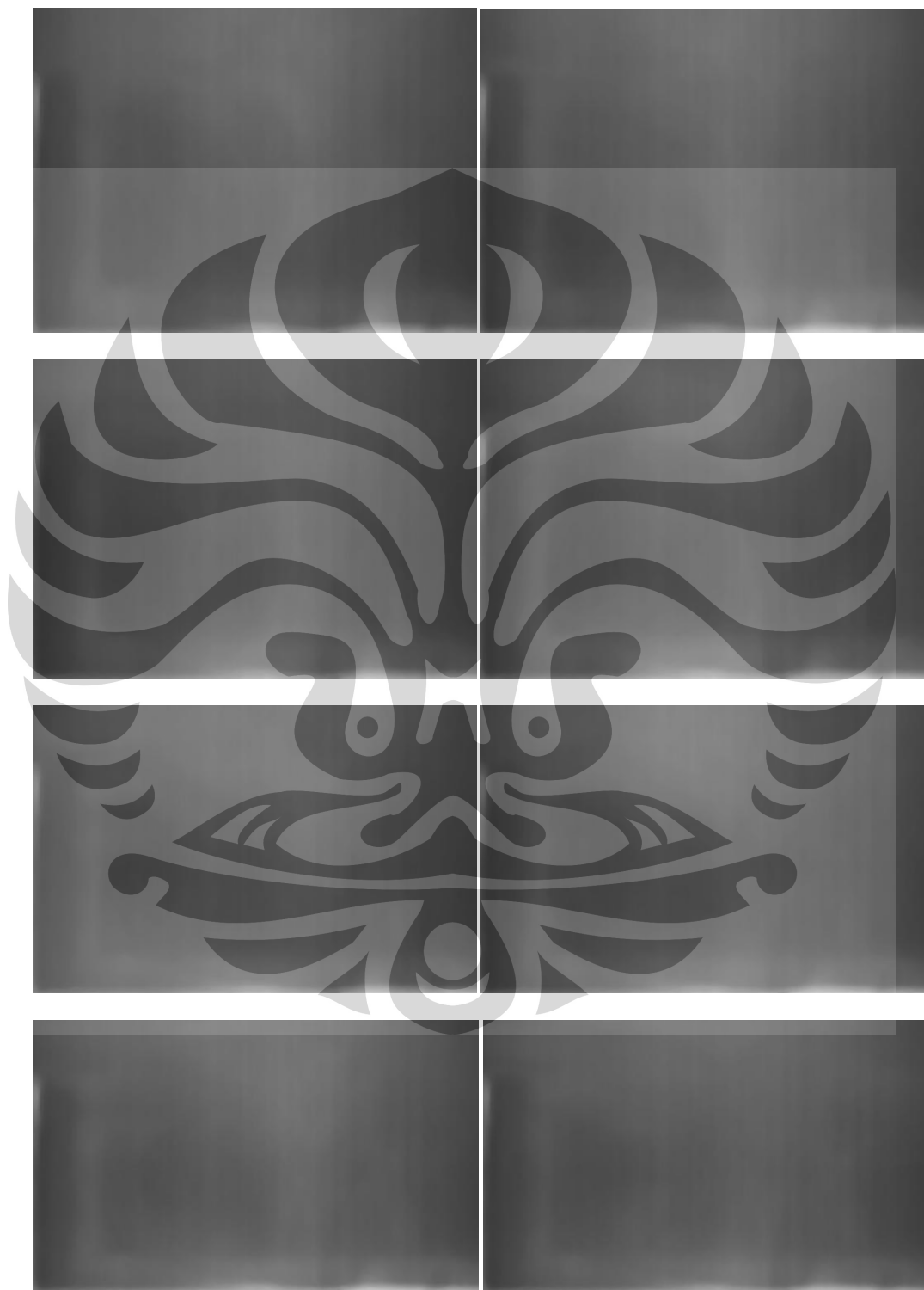
GAMBAR HASIL *HIGH SPEED VIDEO CAMERA*

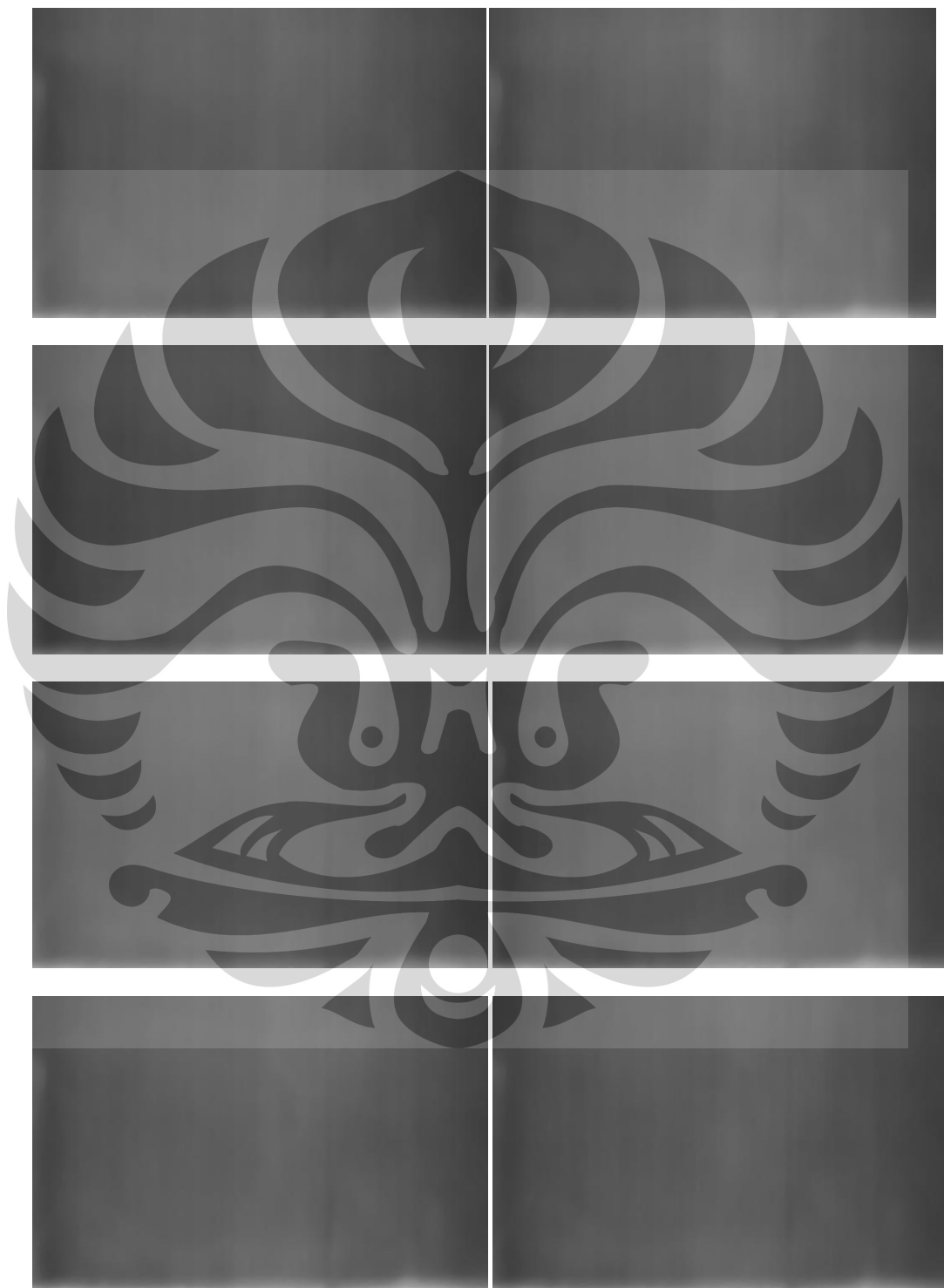
Lanjutan**Kondisi Tanpa Injeksi Ketinggian Step H**

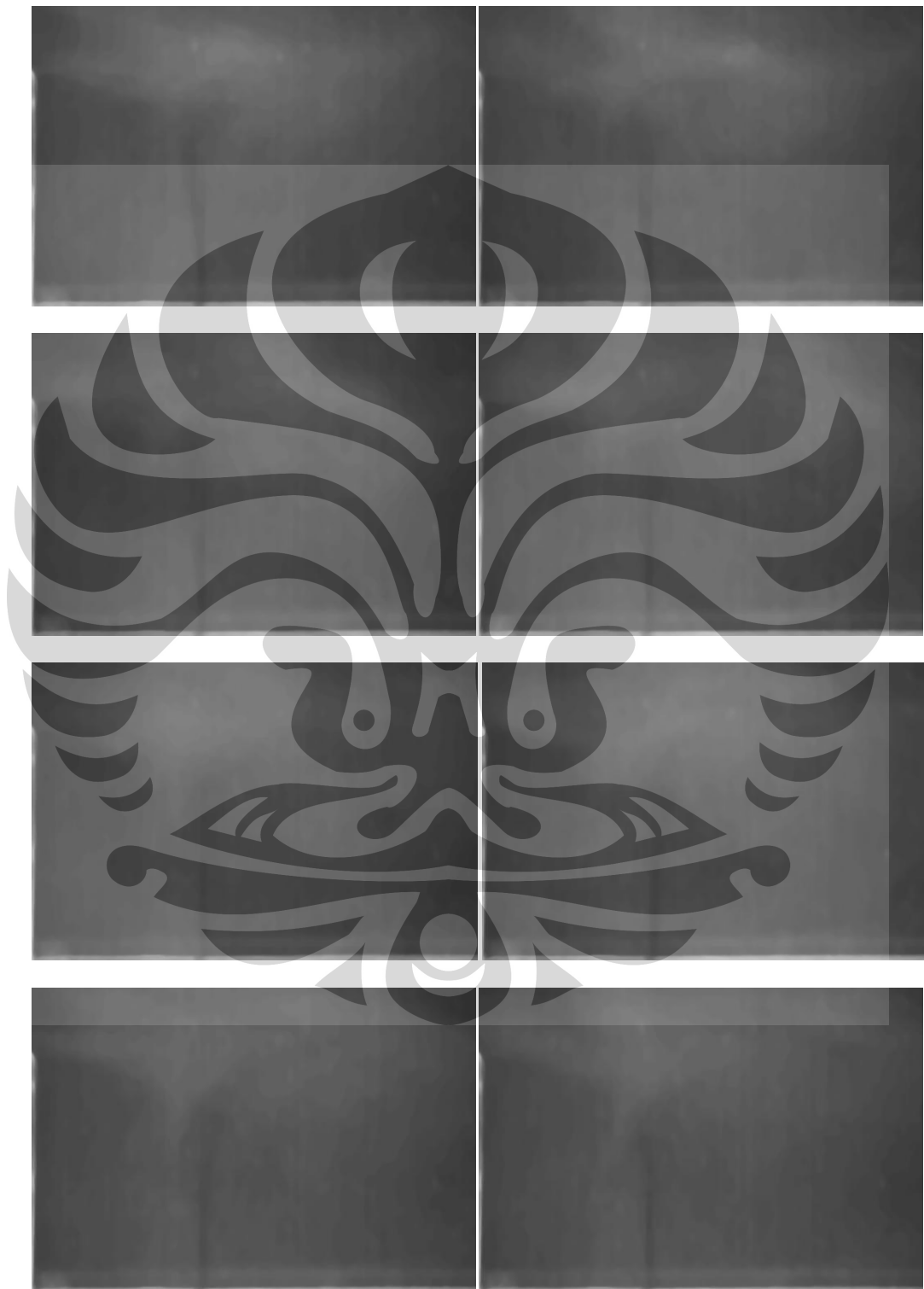
Lanjutan**Kondisi Tanpa Injeksi Ketinggian Step 2H**

Lanjutan**Kondisi Injeksi Ketinggian Step H****Rasio Injeksi 0.1 Temperatur Injeksi 100 °C**

Lanjutan**Kondisi Injeksi Ketinggian Step H****Rasio Injeksi 0.1 Temperatur Injeksi 300 °C**

Lanjutan**Kondisi Injeksi Ketinggian Step H****Rasio Injeksi 0.5 Temperatur Injeksi 100 °C**

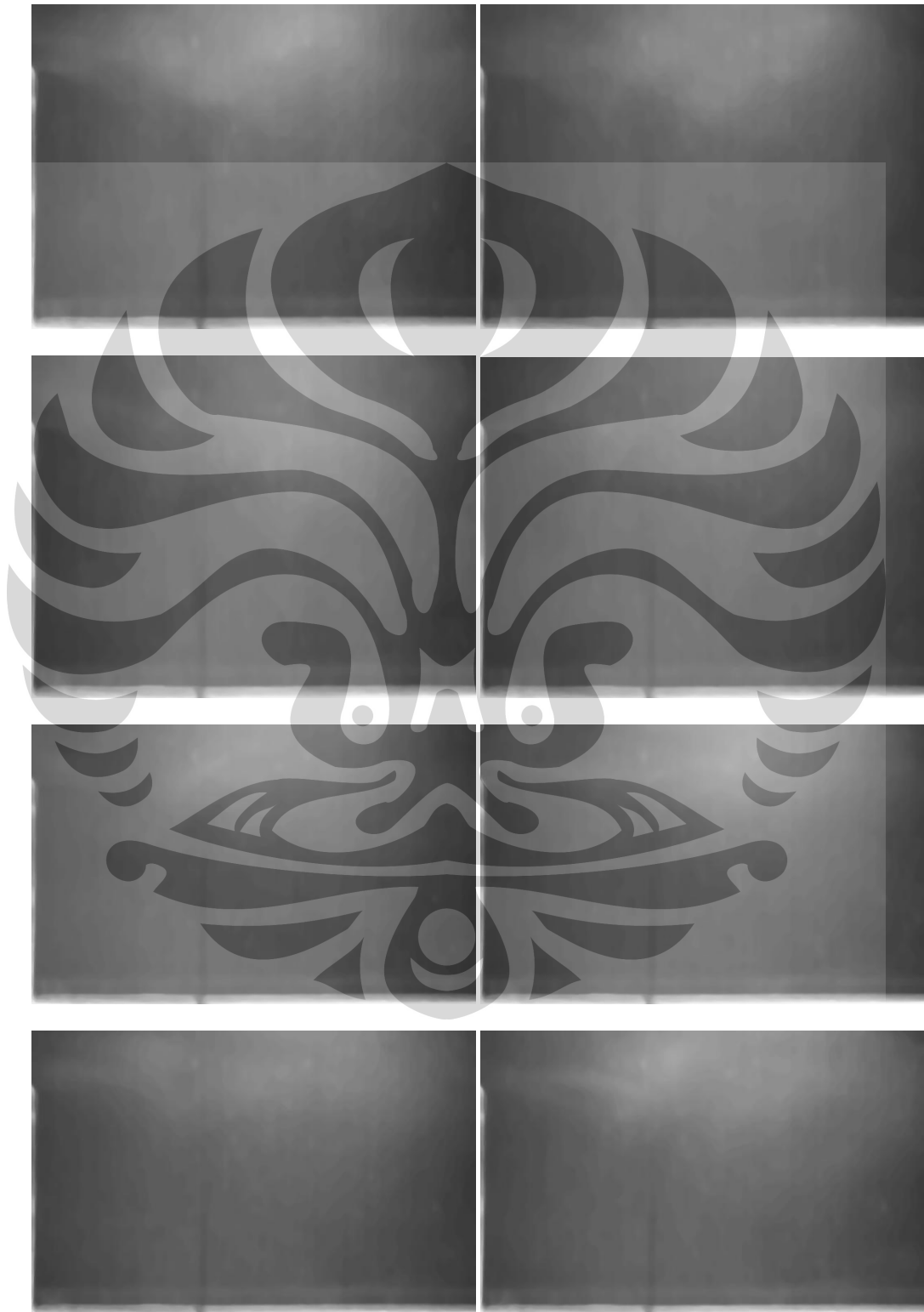
Lanjutan**Kondisi Injeksi Ketinggian Step H****Rasio Injeksi 0.5 Temperatur Injeksi 300 °C**

Lanjutan**Kondisi Injeksi Ketinggian Step 2H****Rasio Injeksi 0.1 Temperatur Injeksi 100 °C**

Lanjutan

Kondisi Injeksi Ketinggian Step 2H

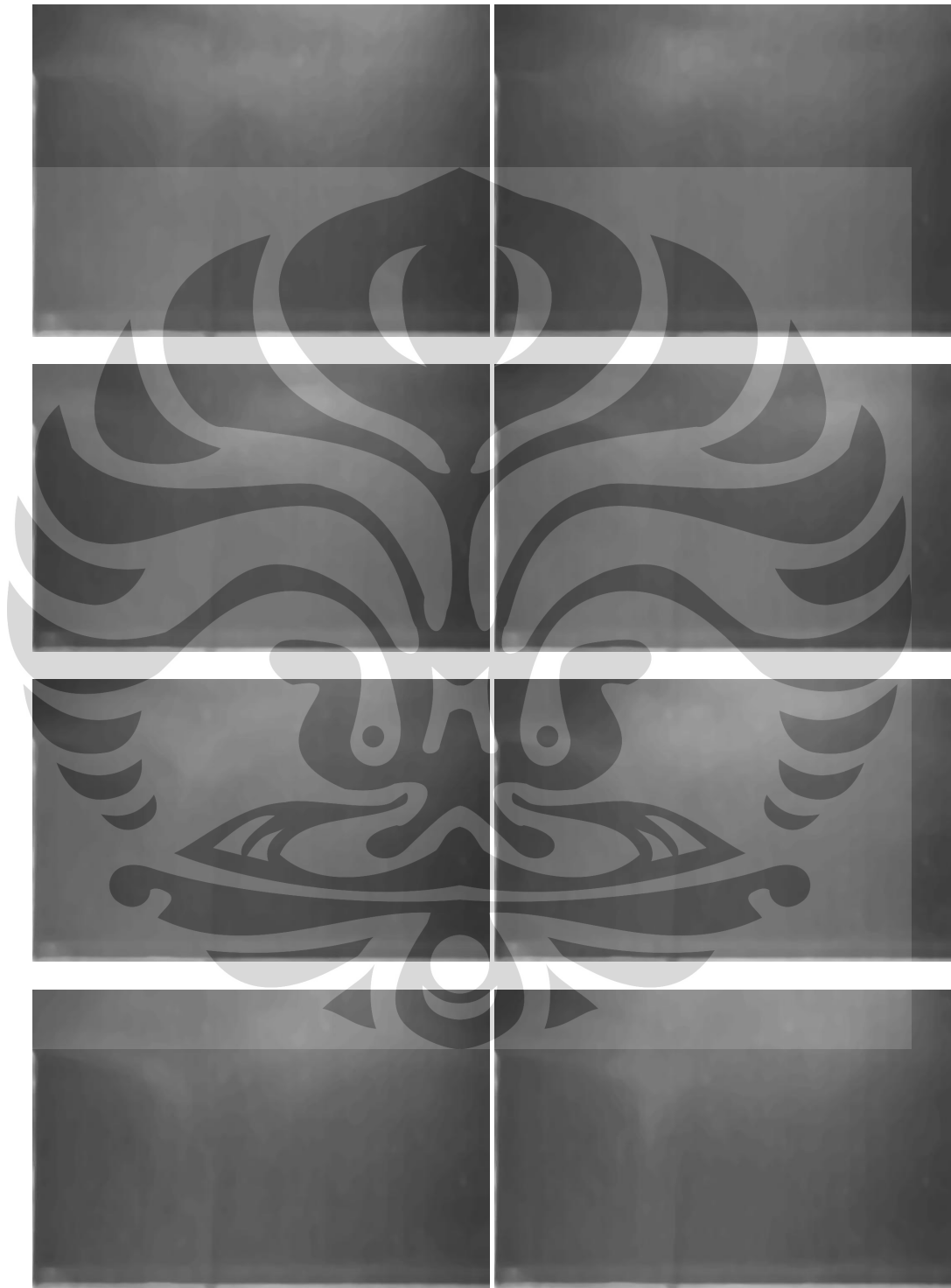
Rasio Injeksi 0.1 Temperatur Injeksi 300 °C



Lanjutan

Kondisi Injeksi Ketinggian Step 2H

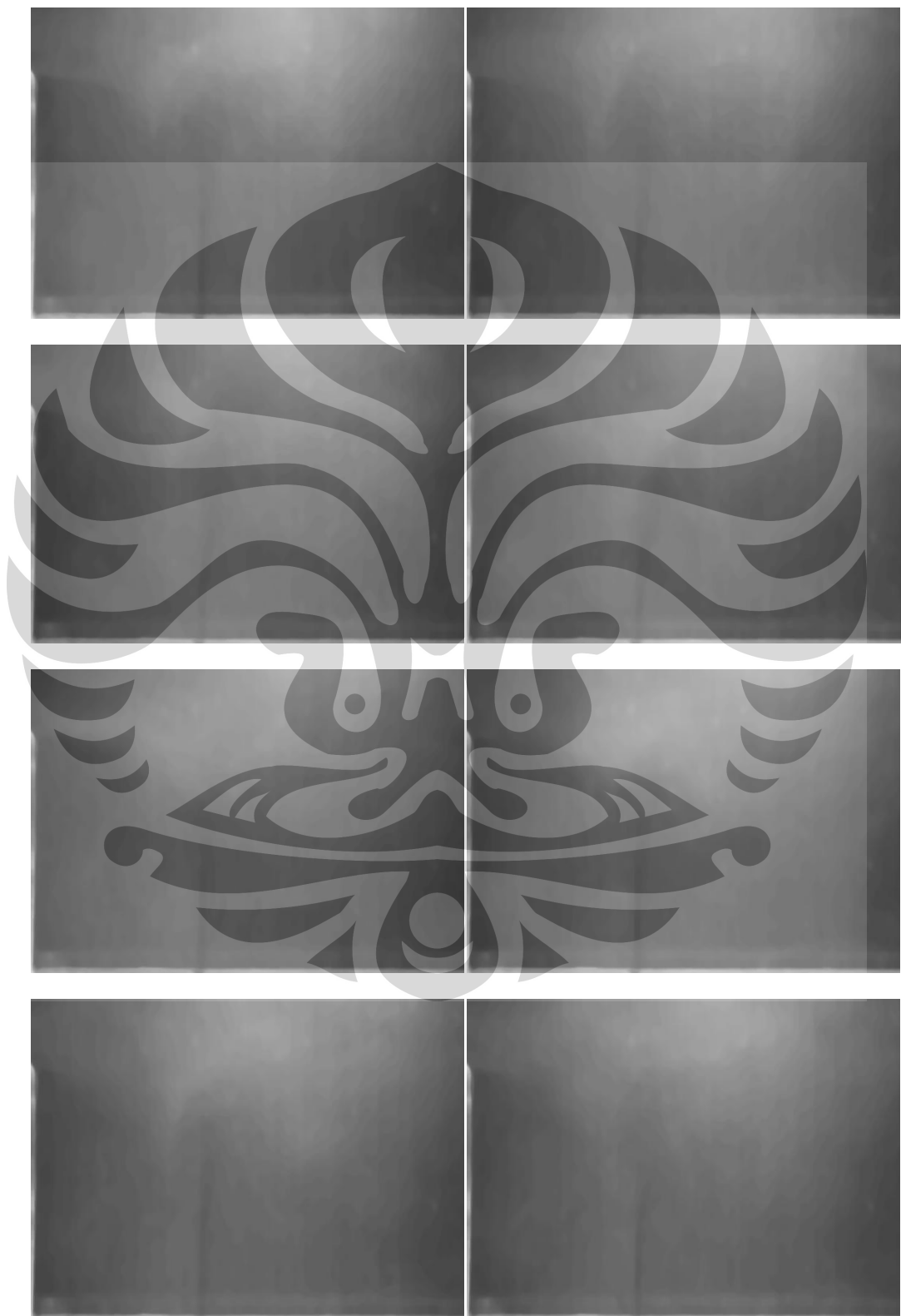
Rasio Injeksi 0.5 Temperatur Injeksi 100 °C



Lanjutan

Kondisi Injeksi Ketinggian Step 2H

Rasio Injeksi 0.5 Temperatur Injeksi 300 °C



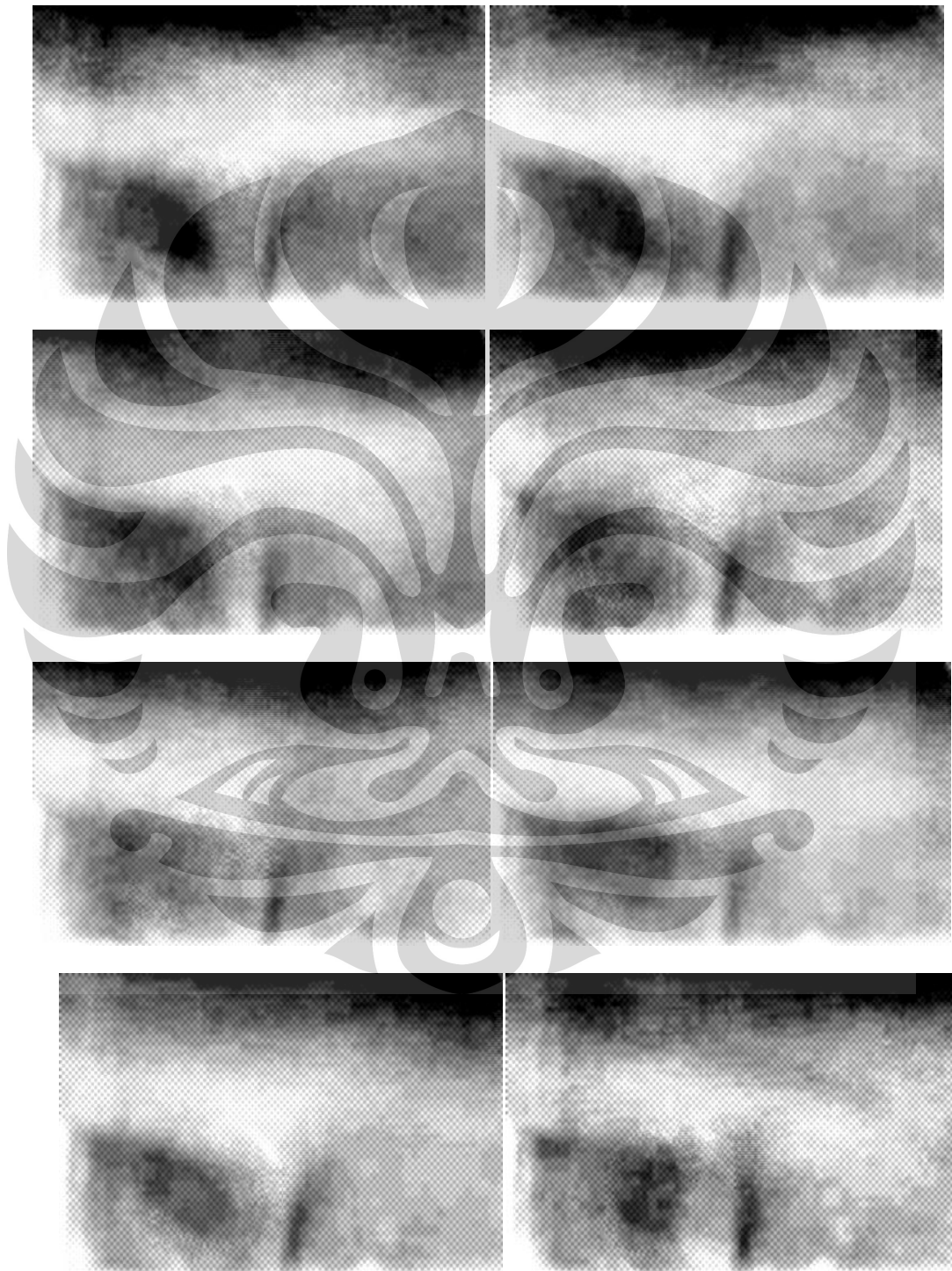


LAMPIRAN 2
GAMBAR HASIL VIDEO CAMERA

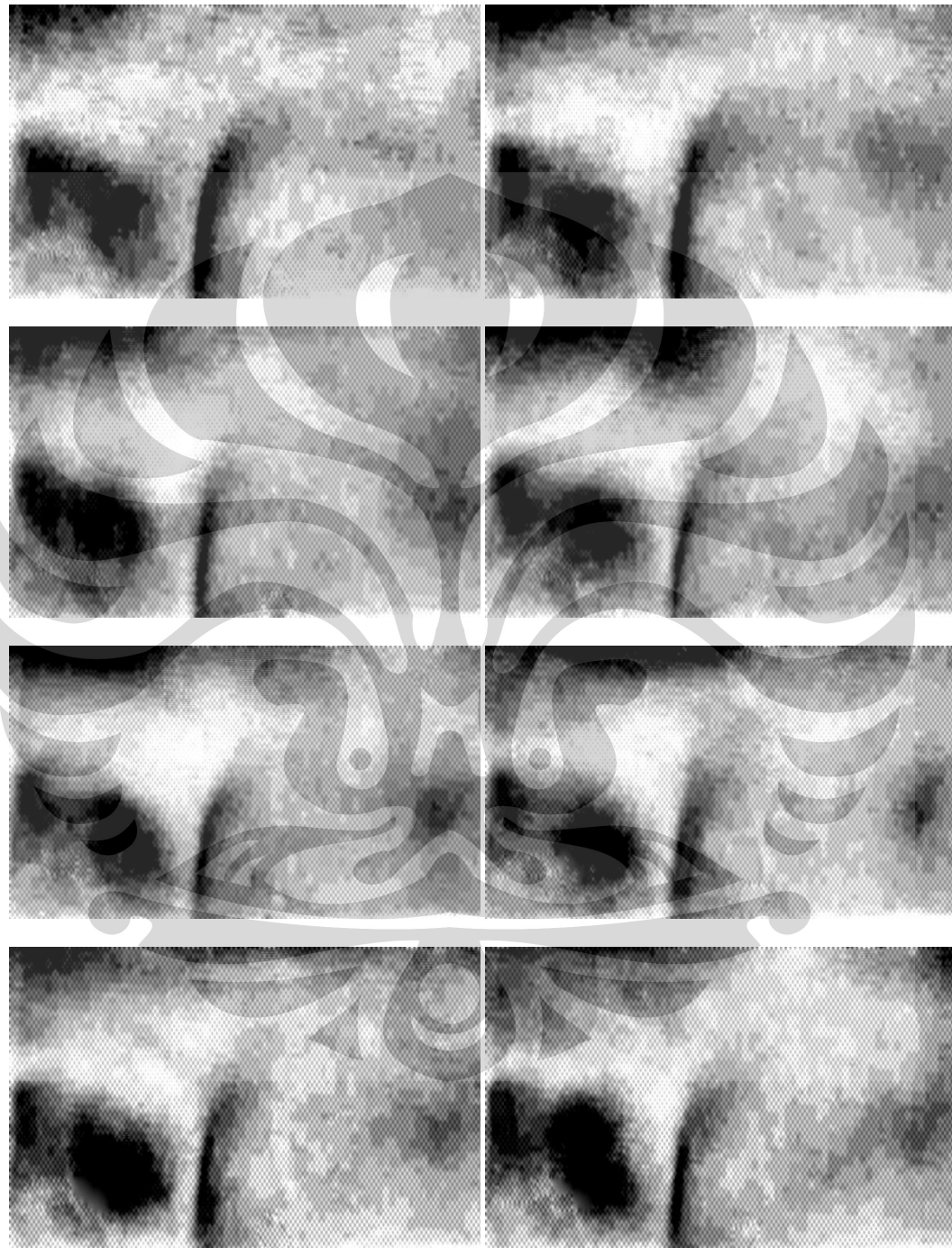
Lanjutan

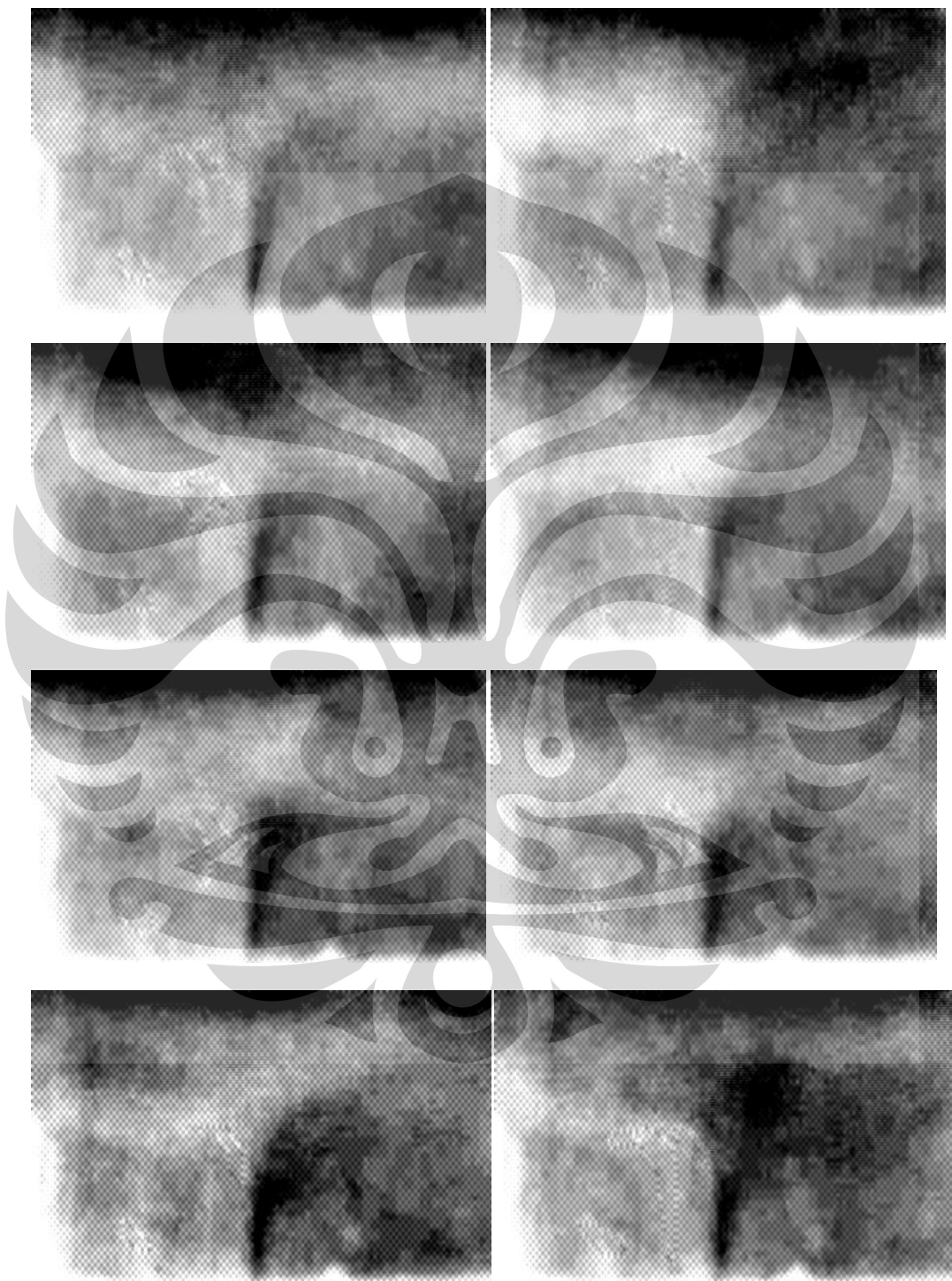
Kondisi Injeksi Ketinggian *Step H*

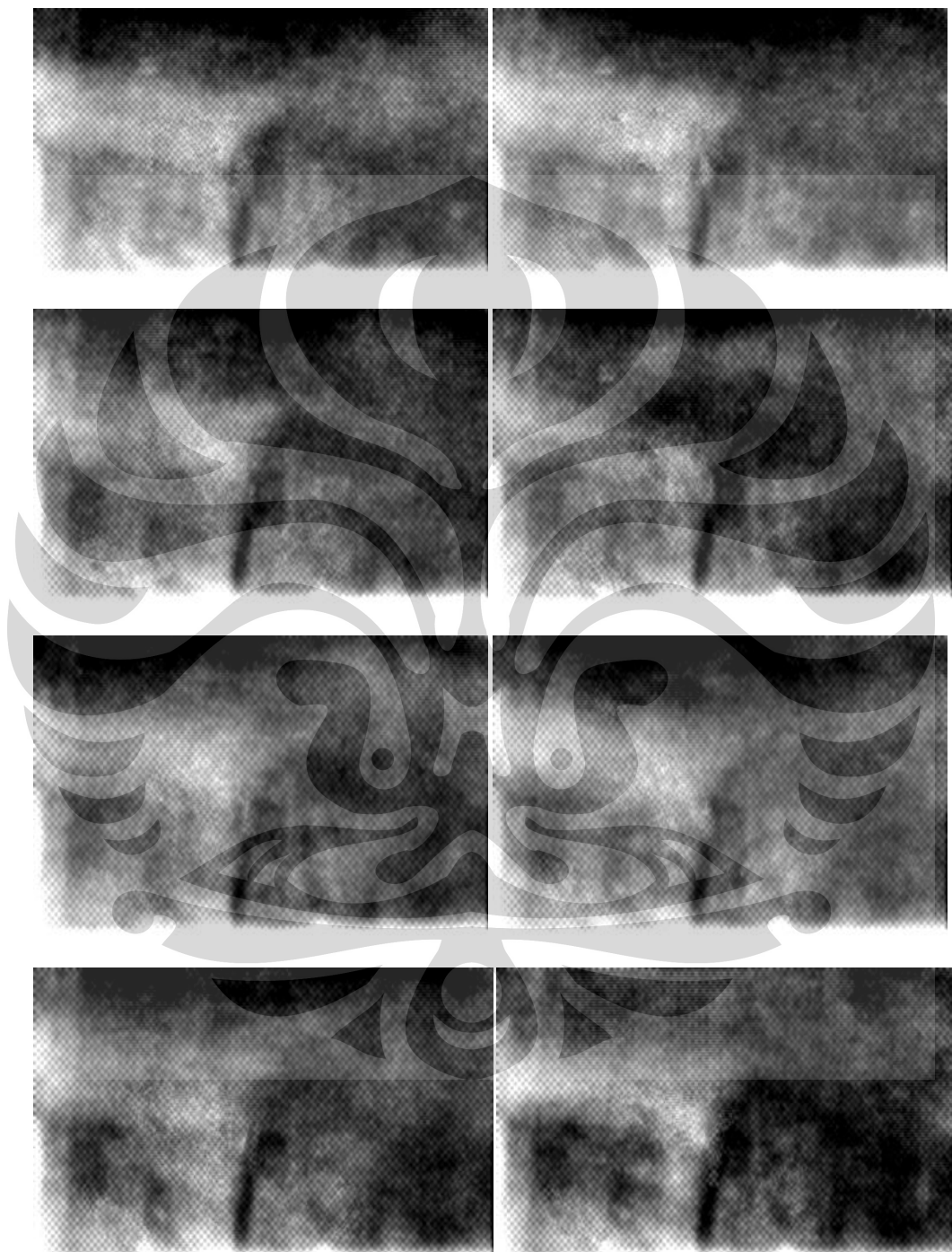
Rasio Injeksi 0.1 Temperatur Injeksi 100 °C

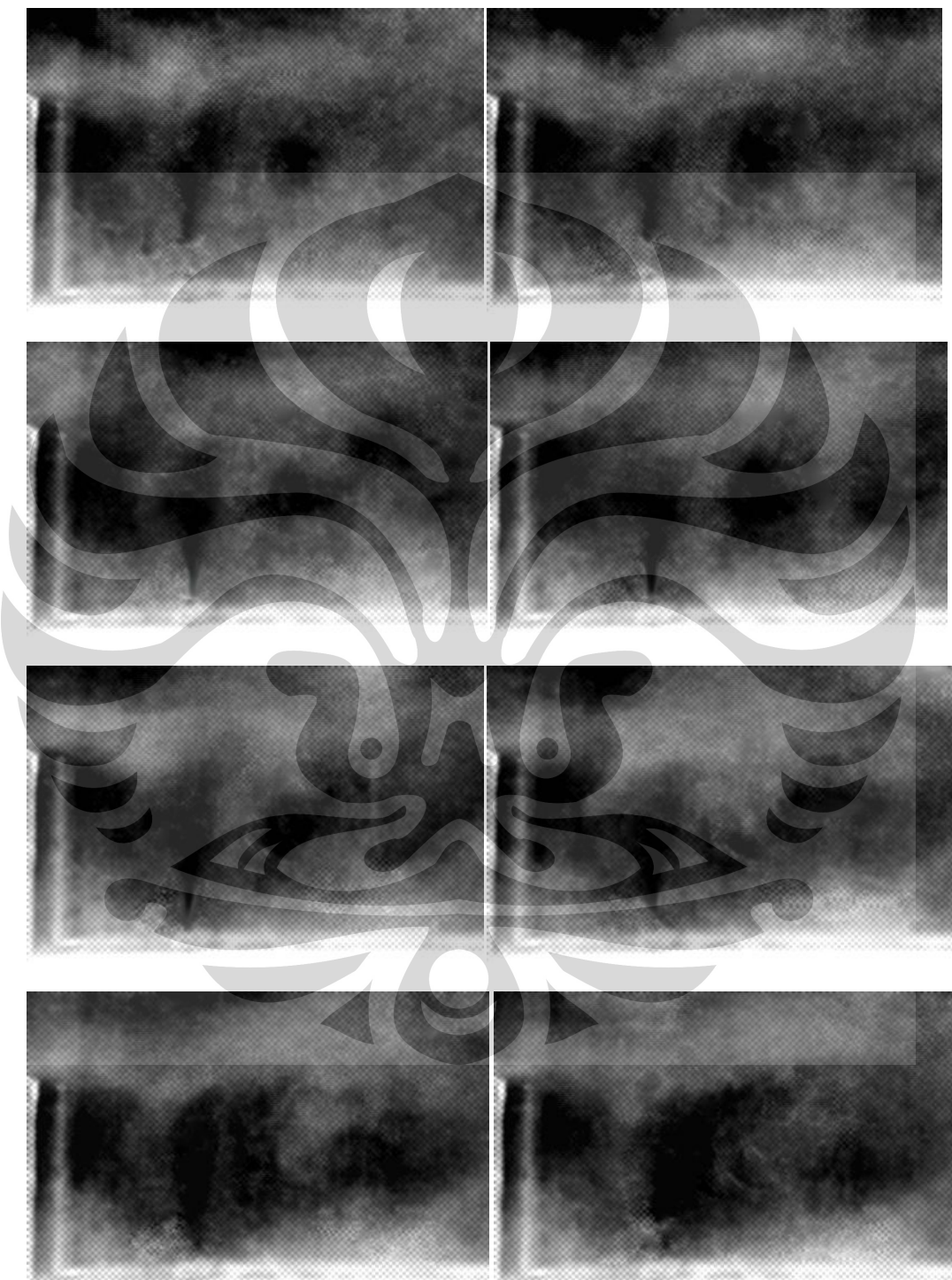


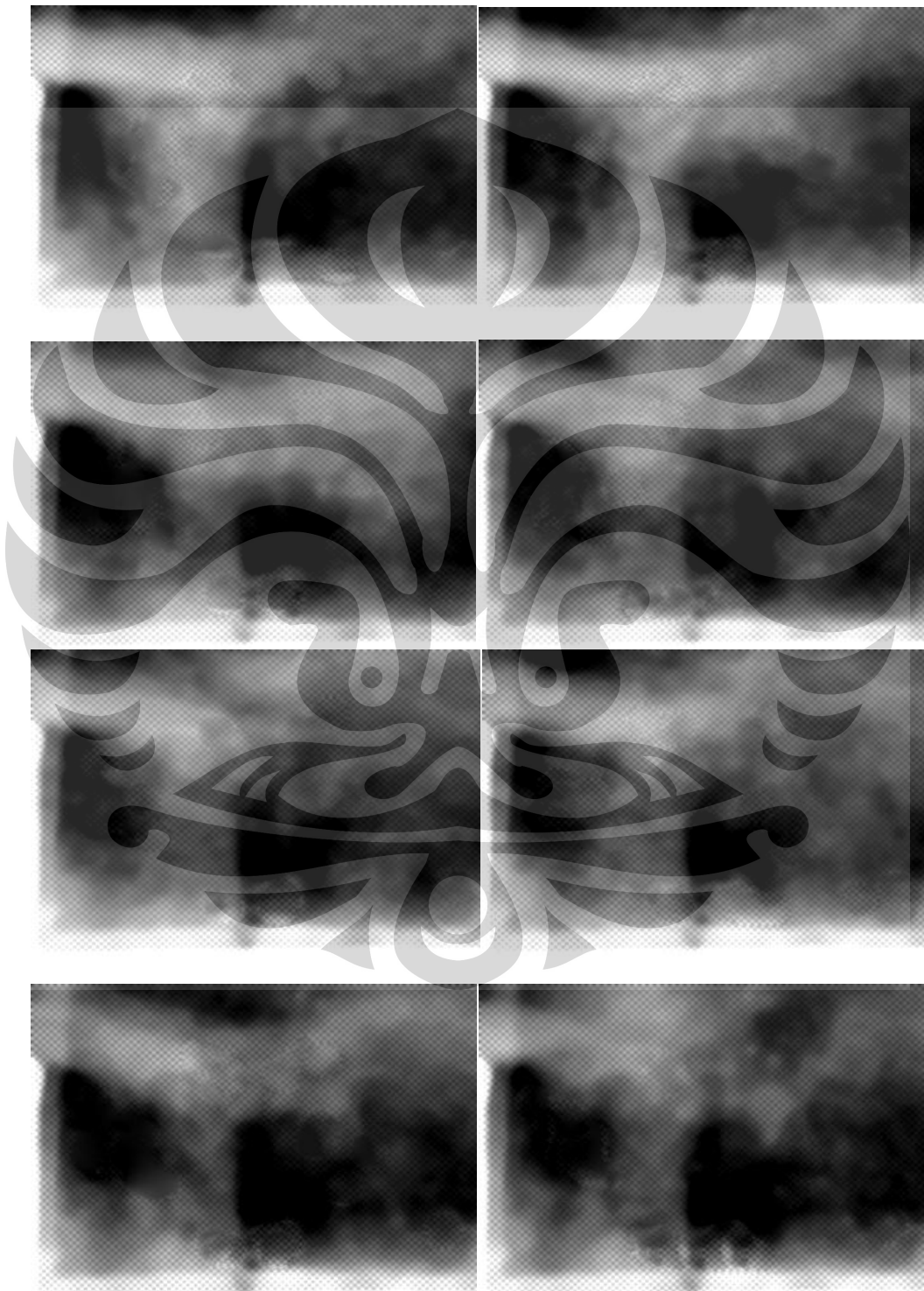
Universitas Indonesia

Lanjutan**Kondisi Injeksi Ketinggian Step H****Rasio Injeksi 0.1 Temperatur Injeksi 300 °C**

Lanjutan**Kondisi Injeksi Ketinggian Step H****Rasio Injeksi 0.5 Temperatur Injeksi 100 °C**

Lanjutan**Kondisi Injeksi Ketinggian Step H****Rasio Injeksi 0.5 Temperatur Injeksi 300 °C**

Lanjutan**Kondisi Injeksi Ketinggian Step 2H****Rasio Injeksi 0.1 Temperatur Injeksi 100 °C**

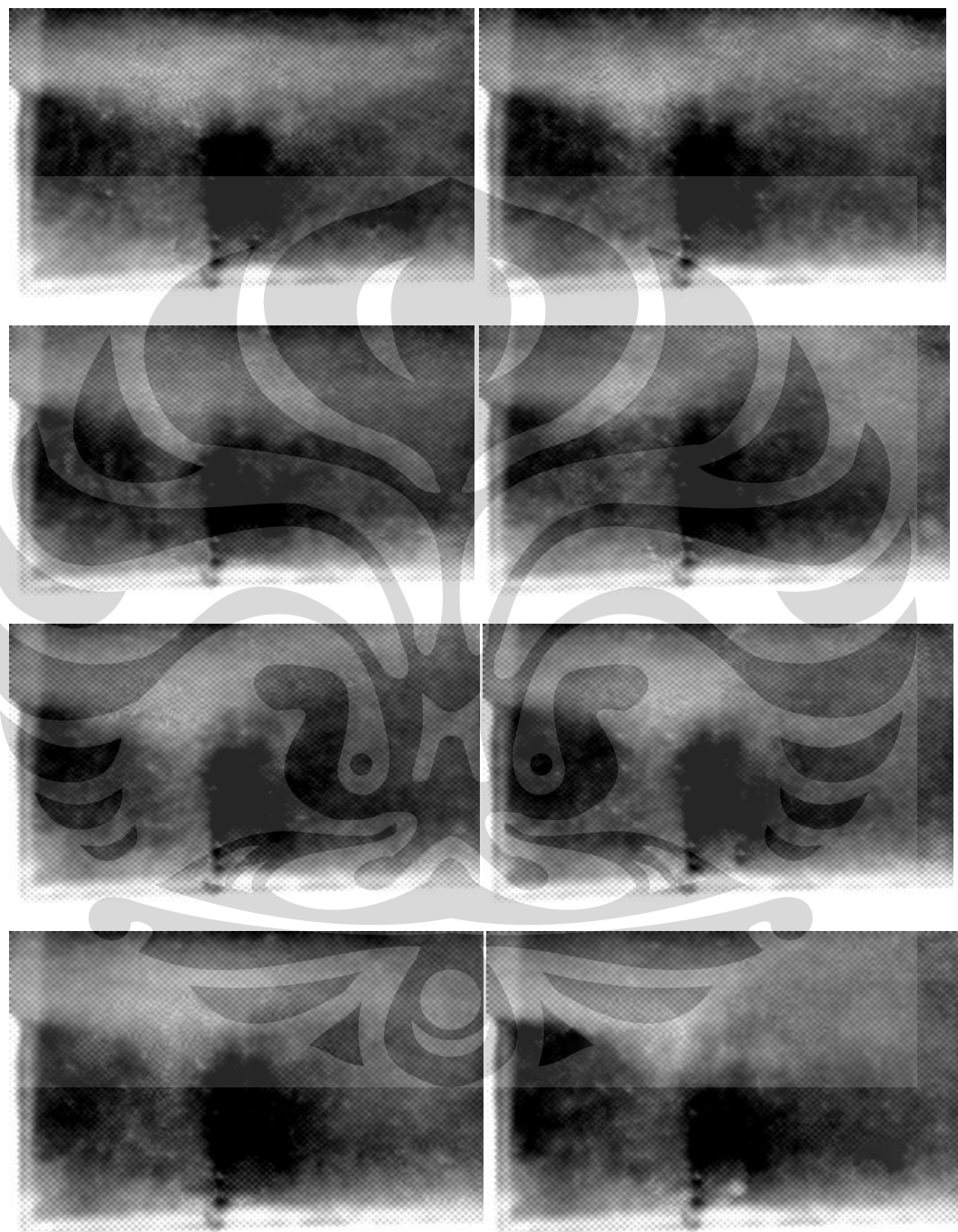
Lanjutan**Kondisi Injeksi Ketinggian *Step 2H*****Rasio Injeksi 0.1 Temperatur Injeksi 300 °C**

Lanjutan

Kondisi Injeksi Ketinggian Step 2H

Rasio Injeksi 0.5 Temperatur Injeksi 100 °C



Lanjutan**Kondisi Injeksi Ketinggian Step 2H****Rasio Injeksi 0.5 Temperatur Injeksi 300 °C**



LAMPIRAN 3
TABEL HASIL *RGB AVERAGING*
DAN STANDAR DEVIASI

Lanjutan**Kondisi Tanpa Injeksi Ketinggian Step H dan 2H**

Tanpa Injeksi 2 cm			Tanpa Injeksi 4 cm		
Posisi	Mean RGB	Standard Deviation	Posisi	Mean RGB	Standard Deviation
2	93,74	5,072444871	2	68,35	3,641727367
4	95,68	4,828116307	4	70,93	3,711822162
6	96,04	4,990738898	6	72,55	4,030060315
8	98,49	5,068211487	8	73,86	4,168125157
10	98,24	4,938244893	10	73,7	4,040929214
12	98,55	4,926479678	12	77,12	4,314126003
14	101,14	4,966595485	14	77,64	4,29339811
16	101,71	4,866490242	16	79,23	4,201131389
18	103,19	5,143781182	18	81,43	4,959539263
20	106,83	5,820644207	20	81,78	4,746483847
22	108,79	6,176356024	22	83	4,846433822
24	112,61	6,519427068	24	83,91	5,182052042
26	112,97	6,899648652	26	85,2	5,469157446
28	112,81	7,11052002	28	87,58	5,5051551
30	115,02	7,371772535	30	88,51	5,551076963
32	115,55	7,228416147	32	91,92	5,384227056
34	115,39	7,319401366	34	92,26	5,20276012
36	115,67	7,314100123	36	92,1	5,147257272
38	116,91	7,385619388	38	90,29	5,248007637
40	117,82	7,353113819	40	97,64	5,257582925
42	116,29	7,275661655	42	92,14	5,70768112
44	114,79	7,136893759	44	91,57	5,706622868
46	112,15	6,718548124	46	91,94	5,590090242
48	110,55	6,541823488	48	91,21	5,504075897
50	108,85	6,446947441	50	90,71	5,651040384
52	108,07	6,288124128	52	91,23	5,411300973
54	103,71	5,978572851	54	89,58	5,2511762
56	102,92	6,112877614	56	88,98	5,223992631
58	101,07	6,251068596	58	87,37	5,296458746
60	97,52	6,122454119	60	86,62	5,548240288
62	94,15	6,475088237	62	86,49	5,652827208
64	92,5	6,59889798	64	83,32	5,445408639
66	90,36	6,412613832	66	84,16	5,522877712
68	85,28	6,375584742	68	85,28	5,470677913
70	82,79	6,079099814	70	79,37	4,712254931
72	80,71	6,307435087	72	78,59	4,747026167
74	76,75	6,301154295	74	78,85	4,609245981

76	72,86	5,865530193	76	75,29	4,041100723
78	70,49	5,565940798	78	74,32	4,290145281
80	67,15	5,589266409	80	73,73	4,289522118
82	64,36	5,23106494	82	71,25	4,073143141
2	98,06	5,243215915	84	69,7	3,822290019
4	96,32	5,080920938	86	67,45	3,732570054
6	97,81	4,961864671	88	66,82	3,716806891
8	98,77	4,929513263	90	64,65	3,629035821
10	99,84	4,945603087	92	62,65	3,623411226
12	101,6	4,988876516	94	61,03	3,584261527
14	102,68	5,116580297	96	58,74	3,648924974
16	104,66	5,435052712	98	56,19	3,576933805
18	105,72	5,879393908	100	55,29	3,454427493
20	109,02	6,69083498	102	53,43	3,497155846
22	110,35	6,712531624	104	52,17	3,58451013
24	111,73	6,674018673	2	73,62	4,328743444
26	112,79	6,651945869	4	70,28	2,964008525
28	112,9	6,684068198	6	70,56	2,983386341
30	114,52	6,750203888	8	72,43	2,750769469
32	115,62	6,684491323	10	73,41	2,817554589
34	115,56	6,72297433	12	76,26	3,189431806
36	115,73	6,520914294	14	76,95	3,384413897
38	117,18	6,526372297	16	79,66	3,48902097
40	116,77	6,453962842	18	81,43	3,875181248
42	114,92	6,271113831	20	82,96	4,130447198
44	114,24	6,162971866	22	85,21	4,146619761
46	112,98	5,922018493	24	88	4,351237448
48	112,13	5,842469037	26	89,57	4,12536227
50	109,74	5,764082448	28	91,49	4,109178328
52	108,93	5,798388839	30	92,14	3,921431341
54	106,21	5,675207467	32	92,69	3,838961287
56	104,84	5,495121804	34	95,33	3,594357514
58	102,8	5,455050482	36	95,1	3,926149955
60	99,63	5,264048064	38	94,23	3,988845834
62	96,3	5,630903188	40	95,03	3,906658444
64	94,47	5,607453553	42	95,19	3,732039498
66	92,52	5,684428491	44	97,49	4,078220346
68	88,57	5,599882755	46	95,43	4,041321223
70	85,83	5,773598916	48	99,28	3,981317758
72	82,68	6,026674712	50	98,2	4,351738016
74	79,28	5,818951969	52	96,63	4,235820843
76	75,67	5,528722065	54	94,58	4,439784135
78	73,03	5,078087208	56	95,06	4,359557612

80	69,62	4,86957157	58	94,51	4,301968235
82	66,35	4,824966635	60	93,18	4,20631303
2	73,99	2,907652738	62	93,89	4,093704416
4	72,97	2,786892118	64	92	4,273403819
6	74,13	2,787616918	66	90,29	4,397906793
8	74,13	3,268011473	68	88,47	4,434361776
10	77,02	4,126729818	70	87,27	4,41175298
12	78,82	4,445812921	72	86,31	4,150963147
14	82,03	5,168777672	74	85,65	4,411393889
16	86,33	5,464402709	76	82,23	4,3041081
18	89,85	5,698440332	78	81,8	4,065698094
20	93,5	5,303896033	80	80,71	3,826484052
22	95,63	5,240971072	82	77,95	3,675312339
24	99,32	4,646884478	84	77,9	3,705842324
26	101,8	5,513985891	86	74,48	3,154848539
28	102,85	6,102450245	88	73,8	3,089522376
30	104,69	6,362286293	90	72,14	3,037586327
32	106,12	6,515374203	92	69,98	3,185393645
34	106,26	6,180157234	94	67,6	3,388974552
36	106,83	6,077039085	96	65,32	3,572419099
38	108,74	5,957119499	98	63,13	3,378235523
40	109,4	5,719009591	100	62,17	3,476996542
42	107,41	5,195365067	102	60,55	3,163467204
44	106,36	5,086166622	104	58,63	3,198050149
46	106,51	5,307694053	2	68,82	3,50151311
48	106,48	5,413190026	4	68,69	3,220233065
50	104,45	5,431622709	6	69,24	3,083748523
52	105,02	5,283823226	8	71,39	2,856328738
54	101,75	4,987610914	10	71,5	3,070233971
56	101,3	4,848200749	12	75,02	3,168970848
58	99,41	4,433788995	14	75,42	3,319966599
60	97,8	4,275842406	16	77,03	3,566205516
62	94,77	4,350444073	18	78,71	3,779569885
64	92,42	4,53088169	20	80,1	3,851603755
66	90,89	4,403614218	22	80,83	4,299896384
68	87,1	4,60675832	24	83,01	4,378842019
70	84,55	4,533545004	26	83,46	4,232547158
72	81,45	4,573474245	28	84,43	4,445623056
74	78,35	4,393234008	30	87,11	4,348346676
76	75,78	4,24164062	32	86,95	4,13061499
78	73,61	4,148493703	34	90,03	3,992567352
80	69,77	4,052321943	36	90,58	3,929200155

82	67,85	3,937324631	38	90,38	3,761951253
2	73,18	2,690724809	40	91,37	3,659410763
4	73,08	2,784081736	42	91,84	3,499306862
6	74,09	2,913205739	44	92,41	3,920774827
8	76,85	4,000946858	46	92,3	3,974846656
10	79,54	4,314457724	48	93,41	3,89259261
12	81,34	3,706995843	50	93,9	3,935620524
14	81,59	3,559295697	52	95,22	4,209795273
16	82,66	3,898251356	54	91,65	3,986611256
18	84,53	3,865033615	56	91,96	3,707765466
20	87,14	3,781988147	58	91,56	3,550874944
22	88,28	4,170797952	60	89,33	3,92549423
24	91,96	4,355236022	62	90,1	3,858281565
26	93,03	4,804154347	64	88,16	4,252849947
28	93,3	4,889692312	66	88,39	4,041321223
30	95,66	4,634564912	68	86,07	4,090486427
32	98,43	4,593044808	70	85,98	4,255968436
34	99,24	4,54410485	72	85,22	4,069033018
36	100,07	4,250383227	74	83,6	4,059263943
38	101,15	4,073503939	76	81,47	3,942783858
40	100,72	4,075251743	78	80,93	3,713928826
42	100,03	4,041339412	80	79,85	3,676470542
44	100,06	4,03224378	82	76,8	3,532480126
46	99,23	4,294358526	84	75,91	3,548894682
48	99,39	4,232856093	86	73,85	3,305411105
50	98,18	4,409310627	88	73,92	3,548838884
52	97,45	4,459412925	90	70,95	3,311815033
54	95,64	4,480079364	92	70,44	3,161181631
56	95,83	4,581594712	94	66,44	3,093877698
58	98,1	4,379705262	96	64,68	3,139811434
60	93,02	4,201923561	98	62,8	2,878874918
62	90,17	4,334626847	100	61,6	2,51195163
64	89,84	4,464721422	102	58,97	2,336537169
66	87,84	4,687658415	104	57,71	2,494111878
68	84,43	4,559937533	2	70,38	3,123878016
70	82,02	4,426686747	4	69,72	2,998184269
72	79,3	4,053929382	6	70,33	2,845075648
74	76,72	3,858821718	8	72,27	3,147936618
76	73,28	3,623938368	10	73,18	3,021670904
78	71,26	3,413046863	12	76,08	3,259168332
80	69,85	3,488436888	14	77,08	3,70386472
82	67,38	3,884129844	16	78,4	3,954368433
2	74,44	3,254584955	18	79,82	4,129056661

4	72,16	3,103338053	20	79,9	3,924031065
6	75,03	3,585760277	22	81,78	4,170025049
8	76,32	3,419728857	24	82,96	4,449785844
10	78,42	3,0786984	26	83,23	4,556705428
12	80,14	3,238093965	28	85,76	4,530119226
14	82,31	3,59768444	30	86,71	4,618194753
16	82,72	3,684748802	32	85,7	4,714628593
18	84,26	3,686228808	34	88,35	4,575137286
20	88,29	3,965240385	36	87,98	4,059312725
22	88,84	3,948455778	38	88,47	3,666546653
24	89,99	4,418727364	40	89,21	3,929653702
26	90,86	4,052733209	42	91,85	3,791627044
28	90,89	4,116718807	44	90,16	3,652098271
30	91,65	3,998421406	46	91,47	3,578870888
32	91,99	4,391210229	48	92,01	3,229566381
34	93,22	4,685201288	50	90,6	3,47143934
36	94,86	4,380904385	52	91,11	3,726437526
38	96,49	4,179060355	54	89,34	3,726995445
40	95,42	4,183131107	56	89,14	3,676012691
42	96,03	3,975823401	58	88,06	3,700575283
44	95,99	3,849426036	60	86,55	4,18029323
46	95,8	3,53910335	62	88,17	3,579230516
48	95,48	3,807170269	64	85,8	3,83764573
50	96,15	4,125248692	66	85,25	3,878603403
52	95,98	4,204326776	68	83,81	3,81570491
54	93,76	4,413294882	70	83,66	3,800182382
56	93,28	4,280753261	72	82,59	3,50394403
58	91,98	4,336781845	74	80,31	3,061417519
60	94,65	3,677326104	76	80,05	3,064811464
62	88,75	3,901243003	78	78,55	3,208991082
64	87,27	4,29671004	80	78,72	3,035858304
66	86,16	4,41466793	82	75,3	2,917105578
68	82,74	4,234585832	84	74,02	2,943931499
70	81,17	4,283053286	86	73,42	2,907722732
72	77,82	3,851747603	88	71,83	2,772317185
74	75,93	3,657716349	90	70,18	2,718874257
76	73,26	3,600280573	92	67,14	2,961736178
78	71,63	3,380439873	94	65,92	3,059055701
80	69,34	3,579458793	96	63,46	2,676076632
82	67,81	3,433921691	98	68,12	3,038010031
			100	61,5	2,817449166
			102	58,8	2,427360543
			104	57,71	2,494111878

2	71,94	2,813827245
4	72,04	2,835873449
6	72,87	2,850916129
8	74,5	2,881487515
10	74,53	2,871643542
12	77,36	3,08926599
14	80,67	3,979103835
16	80,48	3,762793359
18	81,73	4,058776092
20	82,68	4,125602266
22	84,37	4,138995908
24	84,51	4,503573938
26	86,39	4,344109475
28	86,94	4,177758175
30	89,97	4,199245571
32	89,78	4,558291325
34	92,49	4,443751871
36	92,13	4,464535721
38	93,28	4,283886456
40	94,26	3,896431472
42	94,25	4,007320035
44	95,02	4,27710923
46	93,19	3,844193255
48	94,84	3,691896398
50	92,86	3,509477973
52	95,76	3,248731664
54	93,23	3,28859415
56	92,17	3,318594478
58	91,03	3,312592237
60	89,03	3,840276393
62	88,98	3,553885059
64	86,77	3,603051512
66	87,85	3,61103918
68	85,73	3,955469956
70	84,46	3,794341801
72	83,84	3,553857199
74	82,73	3,563983754
76	80,61	3,309721654
78	80,2	3,184896287
80	79,89	3,315131824
82	77,82	2,899573202
84	75,45	2,840931377
86	73,66	2,919785697

88	73,93	2,68335537
90	71,3	2,534475164
92	69,96	2,481495876
94	68,3	2,660268728
96	66,53	2,722731593
98	65,79	2,619273575
100	63,67	2,42041646
102	63,95	2,344912336
104	63,34	2,40556286



Lanjutan**Kondisi Injeksi Ketinggian Step H****Rasio Injeksi 0.1 Temperatur Injeksi 100 °C dan 300 °C**

2H 2 cm 0.1 100			2H 2 cm 0.1 300		
Posisi	Mean RGB	Standard Deviation	Posisi	Mean RGB	Standard Deviation
2	91,39	3,631776147	2	91,79	3,248294036
4	94,41	3,612813895	4	96,92	3,295788558
6	97,46	3,854473984	6	100,08	3,543895021
8	101,44	4,038501572	8	104,17	3,866601358
10	105,11	4,47189879	10	105	3,959389811
12	105,41	4,532921104	12	107,11	4,206524514
14	106,87	4,736821165	14	107,42	4,259700753
16	108,04	4,640445816	16	111,2	4,417595671
18	109,82	4,812399809	18	111,36	4,491338466
20	113,46	4,833427376	20	112,79	4,546715987
22	116,23	4,972357935	22	114,45	4,671804531
24	117,84	5,046691085	24	113,51	4,695785775
26	117,3	5,028203286	26	113,91	4,712105622
28	120,2	5,138486198	28	114,28	4,923823758
30	118,65	5,205620506	30	114,93	4,991416875
32	121,7	5,207803003	32	119,19	5,308074657
34	119,26	5,347745678	34	120,47	5,582177628
36	119,12	5,352767622	36	119,12	5,558286198
38	115,52	5,261792912	38	114,59	5,399392035
40	111,83	5,453300363	40	114,63	5,357247522
42	108,49	5,413218016	42	112,7	5,284817209
44	107,16	5,515304693	44	112,07	5,347056209
46	103,72	5,403104233	46	108,74	5,267817289
48	100,69	5,040632877	48	101,59	4,746279777
50	98,35	4,799779035	50	99,96	4,556979329
52	93,6	4,752458162	52	98,72	4,383347736
54	91,96	4,775611442	54	95,05	4,236386396
56	88,01	5,1	56	92,51	4,179060355
58	83,83	5,316365053	58	88,46	4,391037704
60	79,66	5,085570794	60	84,22	4,545127261
62	76,77	4,760644638	2	84,17	3,152856649
64	71,83	4,070229438	4	90,52	2,664696242
66	69,33	4,209309068	6	94,2	2,961026303
68	66,58	4,05811321	8	97,4	3,011761456
2	78,93	2,927594248	10	97,02	2,977966223

4	85,54	2,969270223	12	99,27	3,120007122
6	92,64	2,826712407	14	103,24	3,297136805
8	97,85	3,473928874	16	106,48	3,704978905
10	96,15	3,409360259	18	106,37	3,686324714
12	95,82	3,379618053	20	108,47	3,777806001
14	97,28	3,339630416	22	108,71	3,9294151
16	99,24	3,423389542	24	108,18	3,998434037
18	102,46	3,577200531	26	107,91	4,012845536
20	105,56	4,058461668	28	108,99	4,229513906
22	107,86	4,080057437	30	110,7	4,164544914
24	109,81	3,870883281	32	116,48	4,708642387
26	110,26	4,111132951	34	117,26	4,883739253
28	112,74	4,518469393	36	117,1	4,846116846
30	112,12	4,851907883	38	114,84	4,831964278
32	114,2	5,230060741	40	114,44	4,8227575
34	113,68	5,361441085	42	111,29	4,916052864
36	112,37	5,663376942	44	107,66	4,746545793
38	110,21	5,86600375	46	101,84	4,277542956
40	105,44	5,888389535	48	95,39	3,951460541
42	101,56	5,313067557	50	93,69	3,849950806
44	100,28	5,065390589	52	92,37	3,966157339
46	95,72	4,456478657	54	88,4	3,879498041
48	93,68	4,306161899	56	85,74	3,904465198
50	92,12	4,010793518	58	81,79	4,07330556
52	88,1	4,10592083	60	77,82	3,726454702
54	87,06	4,189501067	2	80,38	3,021070785
56	83,18	4,404726571	4	89,44	3,25147985
58	79,61	4,301503143	6	92,37	2,688001774
60	76,33	4,010226825	8	92,47	2,808554753
62	74,3	3,775251681	10	96,41	2,835899017
64	69,44	3,488277628	12	94,44	2,652690649
66	67,49	3,574587636	14	95,87	2,820040117
68	64,07	3,514055472	16	97,02	2,863846393
2	76,03	2,194828633	18	96,85	2,93489972
4	82,07	3,210635734	20	98,87	2,94616683
6	92,64	3,083091719	22	99,8	2,998316026
8	96,19	3,142073561	24	100,27	3,277887346
10	92,66	2,978780172	26	100,4	3,513322408
12	91,32	3,004642872	28	102,34	3,668649602
14	92,75	2,91764053	30	105,66	4,045748486
16	93,05	2,797455554	32	110,54	4,333146849
18	94,59	2,860723226	34	108,75	4,262533509
20	97,59	3,008724687	36	109,34	4,243164438

22	99,95	3,229832532	38	108,36	4,328715488
24	102,14	3,178272194	40	105,64	3,878248068
26	102,83	3,393561938	42	101,68	3,484105323
28	104,98	3,951677818	44	96,57	3,075662038
30	105,91	4,216597796	46	92,78	2,816186977
32	108,55	4,761747833	48	89,66	3,175728661
34	105,95	4,744747229	50	90,18	3,098973437
36	105,36	4,885600363	52	90,95	3,358616237
38	102,69	4,916874675	54	85,18	3,671842078
40	95,98	4,499113268	56	82,48	3,901514857
42	94,38	3,448846975	58	77,59	3,679303294
44	93,84	3,359653662	60	72,72	3,213230226
46	92,79	3,248294036	2	82,69	3,193095455
48	91,78	3,442397567	4	90,08	2,983726908
50	88,03	3,528971006	6	91,88	2,690349382
52	83,82	3,843872206	8	93,06	2,718511179
54	83,46	3,867554757	10	98,6	2,474108349
56	79,49	3,833649526	12	95,29	2,989189276
58	76,41	3,679303294	14	97,22	2,986772184
60	73,73	3,581250275	16	97,51	2,82662307
62	71,97	3,505997747	18	97,37	2,71045488
64	66,86	3,498975319	20	98,6	2,474108349
66	64,11	3,422725596	22	98,83	2,474332886
68	61,96	3,396135653	24	98,34	2,625515822
2	75,88	2,194023102	26	99,41	2,995265625
4	82,87	3,027333393	28	101,69	2,911818481
6	92,23	2,806396014	30	105,21	3,370384985
8	94,92	2,953101434	32	107,77	3,951358288
10	90,96	3,041530715	34	106,21	3,728934096
12	90,21	3,2420688	36	105,93	3,516928757
14	91,18	3,179416121	38	103,79	3,257609584
16	91,81	3,037459731	40	100,92	3,096690968
18	93,78	2,973213749	42	95,04	2,628207516
20	96,91	2,974962864	44	94,56	2,567551992
22	99,01	2,972924962	46	93,9	2,743219372
24	98,92	2,638793725	48	90,49	2,88673385
26	99,16	2,569125151	50	89,805	2,978792888
28	103,13	2,769440012	52	89,12	3,306803516
30	103,89	3,578541546	54	85,74	3,735226793
32	107,25	4,038639135	56	81,21	3,726224292
34	107,33	4,190067621	58	76,83	3,446722935
36	105,3	4,110838102	60	74,54	3,086038944
38	101,08	3,221393136	2	83,87	3,326219682

40	92,86	3,091271518	4	90,26	2,687870247
42	93,71	3,194992926	6	94,68	2,597123506
44	92,31	3,371583568	8	96,46	2,775870052
46	90,95	3,270236145	10	104,27	3,103777431
48	90,43	3,417882267	12	101,91	3,002002699
50	86,92	3,600448906	14	101,31	2,970205584
52	81,76	3,851065706	16	100,19	2,732871358
54	81,5	3,812525873	18	100,86	2,636266108
56	77,46	3,710264223	20	104,27	3,103777431
58	72,71	3,334227153	22	101,43	2,775269575
60	69,87	3,301836037	24	103,14	3,055116589
62	68,8	3,296769156	26	106,44	3,31302907
64	66,32	3,339025443	28	110,21	3,627323359
66	63,61	3,145928907	30	112,04	3,773699522
68	60,66	3,104965069	32	110,86	3,687324726
2	77,45	2,84400841	34	109,56	3,761366612
4	86,55	3,322330325	36	110,19	3,813042477
6	96,39	3,004693299	38	107,64	3,427517876
8	99,17	3,162453337	40	95,84	2,281767877
10	94,81	2,813010896	42	97,21	2,527804973
12	94,11	2,842303092	44	95,86	2,708087401
14	95,68	2,852891498	46	94,02	2,744986247
16	97,55	2,896793769	48	92,58	2,853953487
18	99,58	3,117821047	50	91,3	2,927576997
20	102,55	3,5	52	90,03	3,089424777
22	102,92	3,410263771	54	88,99	3,214534542
24	106,6	3,662532104	56	87,98	3,393338691
26	107,04	3,47841831	58	78,27	3,326826983
28	108,47	3,574474603	60	72,37	2,717898029
30	109,16	3,909894209			
32	112,97	4,291064241			
34	111,7	4,584779386			
36	110,16	4,315160027			
38	100,46	3,086038944			
40	94,57	3,525534561			
42	96,65	3,551568156			
44	94,37	3,839336538			
46	93,6	3,850750943			
48	95,06	3,855522079			
50	92,52	3,942721206			
52	84,91	4,383382302			
54	83,83	4,20210385			
56	80,32	4,111771719			

58	76,25	3,696503945
60	74,37	3,580686126
62	71,61	3,299510218
64	67,6	3,455342811
66	65,41	3,300122434
68	62,82	3,150693366



Lanjutan**Kondisi Injeksi Ketinggian Step H****Rasio Injeksi 0.5 Temperatur Injeksi 100 °C dan 300 °C**

2H 2 cm 0.5 100			2H 2 cm 0.5 300		
Posisi	Mean RGB	Standard Deviation	Posisi	Mean RGB	Standard Deviation
2	77,12	3,409078788	2	75,040404	7,81671351
4	81,14	3,94410441	4	79,030303	8,295818589
6	86,35	3,610800297	6	85,181818	8,818621253
8	90,54	3,301117044	8	88,767677	8,940521757
10	93,17	3,120654554	10	91,757576	9,076437471
12	95,93	3,042643056	12	92,060606	9,00056115
14	96,84	3,05412455	14	93,070707	8,976169348
16	97,31	3,277394259	16	96,313131	9,206118958
18	98,75	3,462278691	18	96,585859	9,163272099
20	101,7	3,702306134	20	98,636364	9,254401082
22	103,45	3,877870393	22	99,646465	9,295507767
24	107,55	4,100689767	24	98,30303	9,090254522
26	105,95	3,806891677	26	98,080808	8,967793103
28	108,11	3,89481655	28	98,434343	8,919499692
30	107,64	4,021457598	30	99,979798	9,015872648
32	109,4	4,109609335	32	104,73737	9,481907279
34	109,13	4,270299117	34	105,67677	9,485017425
36	108,42	4,682182	36	102,94949	9,089343299
38	106,07	4,501974875	38	101,39394	8,818317712
40	104	4,201971639	40	99,868687	8,599101433
42	99,5	3,672172175	42	96,787879	8,192698153
44	96,5	3,406766885	44	94,111111	7,774466106
46	94	3,284490644	46	87,949495	7,185141796
48	90,21	3,226453161	48	85,666667	6,998376435
50	86,36	3,356043847	50	82,979798	6,633249581
52	84,2	3,475745687	52	79,373737	6,287264665
54	81,69	3,471951101	54	77,727273	5,857879094
56	77,78	3,141703842	56	73,333333	5,13903658
58	73,68	2,673778396	58	69,353535	4,676126775
2	69,34	2,248321484	60	67,191919	4,384039003
4	74,16	2,364382167	2	72,555556	4,882498119
6	82,07	3,095304362	4	75,848485	5,179787835
8	89,76	2,927128424	6	80,79798	5,73643327
10	88,18	2,903776712	8	84,707071	6,021845752
12	86,61	2,905567627	10	85,424242	5,894150499

14	87,93	2,807835357	12	85,868687	5,868345146
16	88,5	2,73215052	14	88,949495	5,907117775
18	90,37	2,754812135	16	92,010101	6,064393514
20	93,33	2,763598152	18	92,313131	5,967216836
22	94,68	2,845801444	20	93,353535	5,948227815
24	98,39	2,926351885	22	94,878788	5,939458874
26	97,94	2,936430871	24	93,545455	5,800478907
28	98,98	2,977966223	26	94,090909	5,751029772
30	100,02	3,004979033	28	95,40404	5,776817131
32	101,89	3,345115541	30	98,333333	6,036923425
34	103,36	3,888652229	32	99,919192	6,129544284
36	102,91	3,964730875	34	98,505051	5,92460202
38	100,85	3,641442161	36	98,939394	5,912245467
40	97,99	3,261328353	38	97,868687	5,611640139
42	94,58	2,796751362	40	94,565657	5,178198275
44	91,76	2,539068468	42	92,212121	4,769431281
46	88,54	2,451221093	44	89,191919	4,445812921
48	84,03	2,660807958	46	83,838384	4,018781664
50	81,31	2,592510581	48	84,030303	4,138645169
52	80,36	2,735918954	50	80,636364	3,912631706
54	78,38	2,394353627	52	76,545455	3,263573056
56	74,94	2,312984866	54	74,161616	2,935312693
58	71,39	2,295780055	56	69,454545	2,648498717
2	65,65	1,838834721	58	66,353535	2,462158042
4	70,01	1,961729808	60	63,262626	2,214985692
6	81,35	3,166666667	2	69,252525	2,424850303
8	89,24	3,120864941	4	72,89899	2,648784741
10	84,83	3,191070243	6	81,131313	3,833333333
12	82,34	3,140546179	8	83,050505	3,920987301
14	83,76	2,98859786	10	84,505051	3,678204986
16	83,12	2,731337039	12	85,242424	3,682815677
18	83,9	2,587850401	14	87,848485	3,69143152
20	87,05	2,396862427	16	89,828283	3,578541546
22	89,78	2,472393026	18	89,10101	3,531960854
24	93,08	2,464618314	20	91,343434	3,535262481
26	92,22	2,619198736	22	92,878788	3,34911416
28	93,02	2,974572374	24	90,626263	3,188742826
30	93,97	2,962578047	26	91,525253	3,291310875
32	95,85	3,160280642	28	93,616162	3,143632333
34	96,88	3,207566811	30	97,727273	3,580248849
36	96,83	3,213151636	32	99,191919	3,667823509
38	95,95	2,875795893	34	97,606061	3,381470602

40	92,62	2,377419023	36	96,111111	3,153497337
42	90,21	2,175599302	38	93,909091	2,738133258
44	87,83	2,331406131	40	90,373737	2,518035951
46	87,2	2,470022288	42	86,676768	2,521743825
48	85,38	2,654441675	44	83,818182	2,69305129
50	79,49	2,52460618	46	80,686869	2,641146828
52	77,34	2,283980222	48	81,393939	2,814751904
54	76,18	2,110005027	50	81,242424	2,817979791
56	73,17	2,113233914	52	75,636364	2,714048748
58	70,14	2,32257259	54	73,212121	2,551984769
2	64,94	1,656453556	56	68,888889	2,894369316
4	70,38	1,884439203	58	65,191919	3,201183493
6	80,01	2,87972712	60	61,747475	3,400698086
8	87,4	3,025147129	2	71,181818	3,021070785
10	81,83	3,342578089	4	76,767677	3,255702069
12	80,96	3,001413808	6	82,909091	3,537661728
14	81,98	2,898902614	8	86,080808	3,274387906
16	81,62	2,521743825	10	85,89899	3,282937217
18	83,21	2,753491814	12	86,272727	3,329255081
20	86,82	2,289104628	14	89,525253	3,02180627
22	87,91	2,247759828	16	91,666667	2,802794421
24	90,91	2,122962481	18	91,343434	2,878622005
26	89,54	2,222111108	20	93,212121	2,760032206
28	90,93	2,640993844	22	93,909091	2,601398225
30	92,39	2,561939764	24	93,474747	2,738870961
32	94,59	2,818033558	26	94,686869	2,748204189
34	96,83	3,110928927	28	95,868687	2,724282873
36	96,3	3,192478534	30	98,717172	2,88703126
38	95,06	2,780959794	32	98,383838	2,955631502
40	92,53	2,320114069	34	96,040404	3,023059525
42	88,7	2,500505	36	95,252525	2,859610767
44	86,79	2,57138488	38	92,515152	2,842249785
46	84,99	2,622725084	40	88,909091	3,114903893
48	84,31	2,676855535	42	89,070707	3,400222809
50	79,9	2,595645149	44	90,888889	3,217690997
52	76,52	2,363356627	46	86,444444	3,975416883
54	75,07	2,17541358	48	84,535354	4,218896883
56	71,87	2,268159045	50	82,545455	4,469097032
58	67,69	2,19132818	52	78,050505	4,763614195
2	66,99	1,766666667	54	74,575758	4,874174367
4	72,68	1,857988485	56	70,212121	5,302362729
6	86,16	2,869976947	58	67,616162	5,620408339

8	92,21	2,786312142	60	64,444444	5,988203893
10	86,72	3,269324831	2	72,333333	5,394310508
12	85,6	3,414171299	4	75,111111	5,193585788
14	86,87	2,997153532	6	82,929293	5,208879365
16	88,41	2,857190115	8	88,414141	4,649003369
18	90,35	2,479715689	10	91,545455	4,32114837
20	92,79	2,341091	12	93,69697	4,213925927
22	93,1	2,426703296	14	93,636364	4,205467821
24	97,44	2,471330562	16	94,535354	4,191513793
26	97,22	2,60760349	18	93,141414	4,407294229
28	96,81	2,517394035	20	95,323232	4,308917228
30	97,51	2,564304304	22	96,161616	4,262817866
32	100,39	2,688903498	24	96,818182	4,387896576
34	100,31	2,827337685	26	100,37374	4,157262114
36	100,52	3,059939922	28	102,76768	4,135776404
38	96,9	2,500505	30	102,78788	4,289745819
40	92,02	2,169485346	32	101,20202	4,531316396
42	91,36	2,359250009	34	100,9798	4,643274706
44	88,64	2,520702163	36	99,424242	4,829821085
46	87,95	2,528124629	38	95	5,007711225
48	88,63	2,699251673	40	92,959596	5,274782776
50	85,6	2,817693017	42	91,20202	5,553231837
52	80,6	2,745059842	44	88,909091	5,829773806
54	78,06	2,469286078	46	87,212121	6,21964142
56	74,53	2,162373369	48	86,333333	6,441806322
58	71,11	2,192249894	50	85,242424	6,725077447
			52	82,010101	7,197607627
			54	79,535354	7,391361324
			56	72,636364	7,904601652
			58	67,292929	8,513678833
			60	65,444444	8,757444164

Lanjutan**Kondisi Injeksi Ketinggian Step 2H****Rasio Injeksi 0.1 Temperatur Injeksi 100 °C dan 300 °C**

2H 4 cm 0.1 100			2H 4 cm 0.1 300		
Posisi	Mean RGB	Standard Deviation	Posisi	Mean RGB	Standard Deviation
2	69,48	6,130697721	2	62,952	4,918928601
4	71,28	6,935605688	4	66,168	5,468541807
6	74,48	7,489359455	6	69,04	5,587684871
8	75,48	7,432497575	8	71,416	5,419484116
10	75,79	7,663760978	10	72,608	5,503203842
12	78,26	8,047359815	12	75,824	5,31926174
14	78,69	8,119928098	14	76,464	5,47940128
16	80,69	8,26785793	16	78,656	5,548464161
18	82,55	8,406797394	18	80,552	5,659880072
20	82,47	8,295617682	20	82,12	5,655738125
22	83,43	8,279529338	22	84,272	5,91218567
24	83,95	8,234412885	24	85,368	6,003862393
26	85,19	8,538321222	26	88,896	6,619957582
28	87,05	8,514248308	28	92,184	7,222097124
30	89,55	8,51543459	30	94,672	7,114106061
32	91,96	8,368917963	32	96,728	7,121024498
34	90,86	8,487685673	34	98,936	7,26004007
36	91,67	8,629354412	36	100,84	7,266048069
38	92,9	8,396127053	38	102,288	7,363601446
40	95,95	7,873206065	40	105,816	7,315204865
42	92,96	8,700307669	42	106,784	7,285629969
44	93,35	8,399585127	44	107,976	7,263378461
46	94,02	8,322999654	46	109,52	7,317475968
48	93,16	8,202881977	48	110,528	7,486985341
50	92,7	8,287144724	50	112,24	7,273169178
52	93,34	8,142940178	52	113,304	7,242767204
54	93,05	8,369467116	54	114,232	7,177820777
56	92,81	8,240936252	56	114,312	7,130663618
58	92,09	7,867713079	58	114,824	6,769591844
60	94,86	7,960787738	60	119,08	7,193396242
62	92,84	7,267917602	62	116,136	6,604337418
64	90,33	7,236349043	64	114,08	6,414944673
66	93,25	6,296343335	66	113,768	6,030721015

68	88,18	6,503115027	68	111,6	6,157035887
70	88,1	6,503301415	70	111,352	6,303269955
72	88,28	6,058769419	72	110,768	6,150338744
74	88,46	5,874822155	74	110,184	6,530201785
76	85,5	6,026037779	76	108,208	6,82630089
78	85,73	5,413889731	78	106,208	6,929835948
80	84,75	5,468689574	80	103,32	6,981034915
82	84,11	5,231789002	82	101,032	7,286759821
84	81,73	5,243283342	84	97,976	7,093110899
86	80,16	5,137935757	86	95,136	6,743017339
88	79,64	5,227201581	88	92,448	6,512334839
90	77,37	5,204223227	90	87,856	6,270630597
92	76,5	5,196152423	92	84,736	6,079739495
94	74,41	5,222513424	94	80,76	5,659308949
96	73,42	5,023540544	96	78,128	5,598015521
98	71,73	4,962190377	98	74,44	5,560275773
100	69,6	5,017142331	100	70,848	5,782802788
102	69,4	4,834639322	102	67,848	6,026364634
104	67,87	4,7644623	104	65,64	5,953311616
106	63,68	4,724490246	106	59,088	4,92575175
2	68,76	2,391567678	2	59,768	2,675345725
4	68,36	2,743293015	4	57,88	2,516109712
6	70,48	2,418280548	6	59,392	2,216193843
8	71,94	2,66977092	8	61,2	2,492412729
10	72,72	2,832281445	10	62,008	2,653356936
12	74,63	2,81286726	12	65,352	3,422135313
14	75,8	2,874478433	14	66,464	3,560955495
16	77,03	3,043306947	16	68,104	3,558046791
18	79	3,516196292	18	70,264	3,11741605
20	80,36	3,85735556	20	72,672	2,830997254
22	82,84	4,361725171	22	75,28	3,109126351
24	84,92	4,414576406	24	77,416	3,329861829
26	86,91	4,532921104	26	80,824	3,937529862
28	88,8	4,546060566	28	83,16	4,443528946
30	91,05	5,009838805	30	85,28	4,670993665
32	90,81	5,374265277	32	86,64	5,056249259
34	92,9	5,702205846	34	89,208	5,298170067
36	91,6	6,093546843	36	89,224	5,273250584
38	90,67	6,14480975	38	89,28	5,535924913
40	90,82	5,90048791	40	91,104	5,859086011
42	90,55	5,600099205	42	91,544	5,691132567
44	91,99	5,196142703	44	93,384	5,750458919

46	90,46	5,141276813	46	93,752	5,840809063
48	94,65	5,115583243	48	98,376	6,024285867
50	91,31	5,064622793	50	97,816	5,967682324
52	90,94	5,173397375	52	98,352	6,155920202
54	90,34	5,13105026	54	100,12	5,948219324
56	91,52	5,105908639	56	102,656	5,940581205
58	92,01	5,010080747	58	103,208	5,934822762
60	91,01	5,032209387	60	101,248	6,065834109
62	92,38	4,964072945	62	102,256	6,273851458
64	90,44	5,191912903	64	101,216	6,201140332
66	89,69	5,056638801	66	99,592	6,099337603
68	88,01	5,19225336	68	98,608	6,079639809
70	88,33	5,085243059	70	98,688	5,946767223
72	88,4	4,867953338	72	98,176	6,121794152
74	87,29	4,660808011	74	97,456	5,973645825
76	85,36	4,571585495	76	93,984	5,945000446
78	85,47	4,368054371	78	93,736	5,715573268
80	84,11	4,576830097	80	90,872	5,455226388
82	83,53	4,488942644	82	89,536	5,549920374
84	81,93	4,71673359	84	87,128	5,264892298
86	79,49	4,61769762	86	84,584	5,146058608
88	79,43	4,535505273	88	82,832	4,804080757
90	77,24	4,223838075	90	80,168	4,916052864
92	76,19	4,179543738	92	77,16	4,663148024
94	74,59	4,127011294	94	74,512	4,703362219
96	73,45	4,18601568	96	71,88	5,152963255
98	71,18	3,919338225	98	67,992	5,223287018
100	70	4,010088288	100	65,416	5,12836241
102	68,04	3,928451002	102	63,424	4,859812525
104	65,6	4,094835377	104	59,128	4,092602343
106	63,25	4,023604595	106	55,944	3,864510893
2	66,3	2,414183677	2	55,832	1,939983338
4	66,15	2,5	4	56,088	2,122010672
6	69,97	2,199426004	6	58,256	2,266934031
8	71,99	2,346262878	8	59,864	2,546754718
10	71,79	2,6904057	10	60,552	2,866367144
12	74	3,035147643	12	63,928	3,203832932
14	74,1	3,105875826	14	64,016	3,146201815
16	75,17	3,140015441	16	65,792	3,800903667
18	76,81	3,215162939	18	67,984	3,692690022
20	77,17	3,15925768	20	69,936	3,64644562
22	77,43	3,294485751	22	71,704	3,22444489
24	79,12	3,649491455	24	73,184	3,147806676

26	79,47	3,767095712	26	75,056	3,285659075
28	79,72	3,806108859	28	75,88	3,462278691
30	81,86	4,141487558	30	77,56	3,677326104
32	80,97	4,068740157	32	77,592	3,737592268
34	82,88	3,911340673	34	79,04	3,792603114
36	81,65	3,856975839	36	79,112	3,689720911
38	80,8	3,604150245	38	78,248	3,572326294
40	80,26	3,189692997	40	79,208	3,030134844
42	81,08	2,852183286	42	79,296	2,864904321
44	81,35	2,955477708	44	81,488	3,22872211
46	82,11	3,259469499	46	82,112	3,356043847
48	84,07	3,207488082	48	83,192	3,497459395
50	88,05	3,179400236	50	85,864	3,795411903
52	86,99	2,972924962	52	86,464	4,034397556
54	84,72	3,19747375	54	86,256	4,041151951
56	85,05	3,310146629	56	86,432	4,126582953
58	86,39	3,30562728	58	87,896	4,389277569
60	85,33	3,604304385	60	87,616	4,473219978
62	86,51	3,870361349	62	87,984	4,722565644
64	84,7	3,647331943	64	86,304	4,499786751
66	84,71	3,599368632	66	86,12	4,393234008
68	83,72	3,68200648	68	85,672	4,266607481
70	82,97	3,453749244	70	85,28	4,030189108
72	84,13	3,69453596	72	85,592	4,058897198
74	82,71	3,811982702	74	84,088	4,348214541
76	80,98	3,816445011	76	81,992	4,125542511
78	81,1	3,563280749	78	81,768	4,137278176
80	79,9	3,397860289	80	79,216	4,055125202
82	79,24	3,384814573	82	77,992	4,248576708
84	77,11	3,126604639	84	76,112	4,148798049
86	75,75	3,169854854	86	75,024	4,239258559
88	75,62	3,087217046	88	73,504	4,233774732
90	73,55	2,742759062	90	70,184	4,382829214
92	72,01	2,668541008	92	68,032	4,598901933
94	70,25	2,591263488	94	64,624	4,482468656
96	69,52	2,73577127	96	63,04	4,1706042
98	67,41	3,015431691	98	60,456	3,739645638
100	65,22	3,186397859	100	58,344	3,39415719
102	63,6	3,175028831	102	55,904	3,127848197
104	62,69	3,161303273	104	53,952	3,15690681
106	61,34	3,029217988	106	51,352	3,148496515
2	68,12	2,753436787	2	57,6	2,155565969
4	67,89	2,631952073	4	56,312	1,93268014

6	70,65	2,701944679	6	58,112	2,236158322
8	71,66	2,606208593	8	59,624	2,249377018
10	72,03	2,687250106	10	60,648	2,635020557
12	74,07	2,76432906	12	64,232	3,235831587
14	74,84	2,762373449	14	64,96	3,590109871
16	76,55	2,928008252	16	66,32	3,557606732
18	77,1	3,013437917	18	67,752	3,445667753
20	78,04	3,103988962	20	69,256	3,303671053
22	78,46	3,379737603	22	70,656	3,158698108
24	78,48	3,128494006	24	71,144	3,108330287
26	79,67	3,621080256	26	72,848	2,87032888
28	80,63	3,804980787	28	74,08	2,964435661
30	81,87	3,549519814	30	75,048	2,908347443
32	80,76	3,291003961	32	75,12	2,746899078
34	82,58	3,376029585	34	76,808	3,059989437
36	82,3	3,036811193	36	76,648	2,873406453
38	81,22	3,027083138	38	76,36	3,072770605
40	79,11	3,08759329	40	75,688	2,926351885
42	78,47	2,26280866	42	75,184	2,643765298
44	80,63	3,00052184	44	76,568	2,836611295
46	81,68	2,542090129	46	77,704	3,205598008
48	84,06	2,662193217	48	78,616	3,152215831
50	83,68	2,802884517	50	78,392	2,890230846
52	83,87	2,646343007	52	78,72	3,051742341
54	83,53	2,668389595	54	79,048	3,030801474
56	82,96	2,752115807	56	78,72	3,212978731
58	82,95	2,716857216	58	79	3,260956667
60	82,84	2,994000735	60	78,6	3,343544964
62	84,42	2,850411985	62	79,608	3,66940669
64	81,15	2,671869924	64	77,952	3,444568261
66	81,95	2,858179826	66	77,184	3,307414383
68	80,58	2,652157498	68	77,184	3,406707584
70	80,68	2,604890505	70	77,168	3,462409974
72	80,55	2,579542673	72	76,464	3,774395396
74	79,2	2,502523978	74	74,536	3,478810316
76	78,09	2,458113755	76	74,424	3,627768883
78	78,73	2,827909247	78	74,128	3,487988046
80	77,95	2,599048	80	72,408	4,041439388
82	76,95	2,315407332	82	70,6	4,432148395
84	75,04	2,522304542	84	68,304	4,412516632
86	73,34	2,26622099	86	67,112	4,444710851
88	73,05	2,379945675	88	65,44	4,042701367
90	70,83	2,074642479	90	62,16	3,594327742

92	69,9	2,254064791	92	60,064	3,27426451
94	69,62	2,377419023	94	58,344	3,134219733
96	67,36	2,451633139	96	57,616	3,107436502
98	65,67	2,640228793	98	57,816	3,120007122
100	63,43	2,727543758	100	52,968	2,958620345
102	62,07	2,629494709	102	51,4	2,945206686
104	61,41	2,741727687	104	50,4	2,885001269
106	59,51	2,694907281	106	47,312	2,437170076
2	67,61	2,473679629	2	54,672	2,305986938
4	68,66	2,515487382	4	55,376	2,007963942
6	71,45	2,664298191	6	57,32	2,026964691
8	74,1	2,645751311	8	58,984	2,173555482
10	74,06	2,901828055	10	60,488	2,300175663
12	75,19	2,873406453	12	61,904	2,662041443
14	76,24	2,792920343	14	63,928	2,988513363
16	76,39	2,722502562	16	64,064	3,06060006
18	78,5	3,131785562	18	65,72	3,343544964
20	78,05	3,033066921	20	66,752	3,37943872
22	79,43	3,414925647	22	68,36	3,089163203
24	81,12	3,590897583	24	69,928	3,172148365
26	81,35	3,391537299	26	71,552	2,746237095
28	82,27	3,606545677	28	72,672	2,537476676
30	84,54	3,497242781	30	74,256	2,491926357
32	84,88	3,843609415	32	75,112	2,522204423
34	87,73	3,113525398	34	76,28	2,724282873
36	87,46	3,003096046	36	77,568	2,79942274
38	87,64	2,855156597	38	77,216	2,840827878
40	82,08	3,422091038	40	74,712	2,957254391
42	79,83	2,582204054	42	73,664	2,615725559
44	83,27	2,635633824	44	75,864	2,763598152
46	84,74	2,695375763	46	75,752	3,145286677
48	86,66	2,387763418	48	76,424	2,982965103
50	86,23	2,493851024	50	77,04	2,96613887
52	85,95	2,315407332	52	77,456	3,160296623
54	85,43	2,590795674	54	77,032	3,046093706
56	85,74	2,61549385	56	76,624	3,26777965
58	86,18	2,649108865	58	76,88	3,154282002
60	85,05	2,910708199	60	75,528	3,181686866
62	84,38	2,60837811	62	75,656	3,585196838
64	83,99	2,679872604	64	74,328	3,387722932
66	82,51	2,787037093	66	74,496	3,242022065
68	80,19	2,439966054	68	72,992	3,306314742
70	80,37	2,51723353	70	72,056	3,682486534

72	81,38	2,73318551
74	80,3	2,698671577
76	77,68	2,004439517
78	78,53	2,14831388
80	77,8	1,792239162
82	76,71	2,24865841
84	75,31	2,259413529
86	73,18	2,266934031
88	72,16	2,053427782
90	70,07	2,094991623
92	69,72	2,160620936
94	66,83	2,420681096
96	65,48	2,289545851
98	64,26	2,298967709
100	62,19	2,359999144
102	60,81	2,168157995
104	60,06	2,339040639
106	58,31	2,334177337
72	71,816	3,425557538
74	70,72	3,673547263
76	68,12	4,033633848
78	69,168	4,001060465
80	67,272	4,055411648
82	66,728	4,102462921
84	64,232	3,822567227
86	62,416	3,381410858
88	61,352	3,164496864
90	58,648	2,897909382
92	57,632	2,703981352
94	56,144	2,742777476
96	53,872	2,705101802
98	52,232	2,811574202
100	50,824	2,438972296
102	49,584	2,45352766
104	49,208	2,376207827
106	45,848	2,008542363

Lanjutan**Kondisi Injeksi Ketinggian Step 2H****Rasio Injeksi 0.5 Temperatur Injeksi 100 °C dan 300 °C**

2H 4 cm 0.5 100			2H 4 cm 0.5 300		
Posisi	Mean RGB	Standard Deviation	Posisi	Mean RGB	Standard Deviation
2	78,17	3,660677317	2	89,25	4,441801011
4	80,98	4,276875807	4	93,22	4,228163022
6	84,88	4,971287836	6	96,18	4,037118371
8	86,12	5,020105624	8	99,25	4,357272627
10	88,31	5,106196122	10	101,66	4,393743599
12	91,54	4,869318877	12	105,08	4,7900509
14	92,05	4,888160709	14	105,63	5,078465079
16	94,35	4,982551169	16	109,75	5,352059853
18	96,54	4,710452113	18	113,17	5,998854415
20	98,82	4,79486857	20	115,25	5,747777099
22	99,76	4,619081148	22	118,29	5,688582041
24	101,57	4,952610475	24	121,08	5,626302827
26	104,81	5,332863489	26	125,28	5,924224397
28	107,38	5,69505347	28	130,77	6,044384091
30	109,84	5,782683892	30	133,53	6,201547584
32	112,2	5,899028693	32	136,68	6,401648198
34	114,15	6,02386434	34	139,54	6,123794502
36	115,35	6,096869796	36	142,64	6,135812569
38	117,77	6,178456502	38	144,52	6,284714588
40	120,87	6,082603637	40	147,67	6,322942054
42	121,96	6,326236076	42	148,82	6,60280842
44	123,04	6,154458753	44	150,25	6,785274383
46	124,12	6,184606347	46	151,11	6,911769061
48	125,9	6,189778599	48	152,75	7,177936077
50	127,63	6,078046943	50	154,64	7,498482092
52	128,21	6,156569704	52	155,3	7,740335954
54	129,77	6,096006664	54	155,92	7,714598782
56	129,52	6,070904783	56	156,38	7,434262305
58	130,87	6,123303468	58	157,36	7,457957765
60	136,42	6,35492679	60	161,62	7,141052484
62	131,65	6,229985135	62	159,34	6,86836215
64	129,71	6,426310422	64	156,28	6,742661787
66	129,13	6,629703155	66	156,28	6,619068699
68	126,48	6,347977734	68	153,83	6,58931174
70	126,59	6,414518541	70	152,76	6,436479209

72	125,92	6,501784053	72	153,04	6,476215406
74	125,29	6,498810359	74	151,92	6,541681715
76	123,91	6,517208914	76	149,89	6,652261068
78	121,53	6,801919453	78	148,46	6,699585821
80	119,25	6,8377741	80	144,93	6,891977631
82	116,24	6,992064107	82	142	7,15460405
84	112,56	6,650097537	84	139,86	7,026826358
86	109,96	6,352070312	86	135,95	7,361055458
88	108,15	6,067472144	88	132,61	7,45027906
90	102,89	5,672513155	90	125,98	7,32672109
92	100,31	5,249018072	92	122,57	6,879875653
94	96,24	4,827523466	94	116,8	6,257898789
96	92,51	4,776445644	96	112,81	6,113562327
98	88,44	5,14950453	98	108,69	5,349290186
100	84,81	5,447933812	100	103,73	5,137562133
102	82,41	5,157860248	102	99,93	5,04249553
2	74,86	2,57761811	104	98,42	5,106280245
4	75,39	2,610323478	2	79,4	2,630690526
6	78,06	2,338558827	4	77,86	2,811213432
8	79,98	2,71826424	6	81,51	3,265262865
10	81,58	3,064876962	8	84,42	3,410112312
12	85,12	3,256370969	10	87,42	3,832595551
14	86,58	3,158879918	12	90,39	3,04176964
16	88,55	3,014248808	14	91,92	3,217722349
18	90,73	2,682352919	16	94,06	2,956732663
20	93,43	2,40417735	18	96,07	3,143305492
22	95,12	2,474526578	20	98,67	3,218323025
24	97,37	2,978192503	22	101,95	3,507294803
26	100,62	3,142861327	24	105,63	3,886905279
28	103,41	3,575793234	26	109,95	4,190968649
30	105,57	4,077692647	28	114,23	5,135680556
32	107,59	4,077613639	30	118,14	5,450377521
34	110,01	4,407043917	32	121,13	5,962331643
36	109,54	5,003456709	34	125,9	6,313032666
38	109,66	5,800539879	36	128,11	6,645929948
40	110,66	5,731405764	38	128,25	6,88514949
42	110,2	5,885414291	40	128,86	6,840192266
44	109,65	5,684446284	42	128,64	6,875800484
46	109,37	5,523652671	44	128,03	6,654133408
48	112,37	5,684824103	46	127,55	6,515989453
50	111,84	5,138795238	48	130,58	6,051841474
52	112,61	4,836724134	50	130,78	5,958259738

54	113,22	4,972799726	52	131,11	6,045449994
56	115,84	5,271861699	54	133,63	6,322959038
58	115,9	4,934406519	56	136,89	6,050297485
60	115,07	5,106532606	58	138,28	5,882968749
62	115,5	5,183654591	60	135,46	5,96227761
64	114,21	4,915261317	62	136,75	5,798817867
66	112,64	5,008090533	64	135,2	5,917803966
68	111,18	4,956576907	66	134,55	5,889117169
70	111	5,192203546	68	132,74	6,217976378
72	110,56	5,182017711	70	132,49	6,164727567
74	108,97	5,04922079	72	133,04	6,360078724
76	106,7	4,707943678	74	131,57	6,462886379
78	106,11	4,511535425	76	127,83	6,339411986
80	103,64	4,387408765	78	128,27	6,019459424
82	102,23	4,50231422	80	124,7	6,022812446
84	98,55	4,1307819	82	122,79	6,00057271
86	96,68	3,872900163	84	120,65	5,951118177
88	95,36	3,706737851	86	116,57	5,871969497
90	92,38	3,931599449	88	114,95	5,708030757
92	88,73	4,227197775	90	111	5,547127054
94	85,45	4,343201821	92	106,8	5,087676304
96	81,81	3,932609943	94	103,23	4,577464221
98	78,07	3,410553159	96	100,16	4,387580097
100	76,07	3,414140798	98	96,77	4,173276544
102	73,36	3,38212783	100	93,59	4,119327298
2	74	2,371753524	102	90,69	4,113927397
4	73,81	2,589962119	104	85,77	4,390442799
6	76,99	2,145782245	2	77,05	2,55342402
8	78,4	2,106639398	4	75,96	2,52049162
10	79,17	2,272510533	6	80,04	3,099994457
12	81,83	2,658990778	8	82,6	3,487890194
14	82,62	2,921694243	10	84,58	3,964105486
16	84,77	3,438993349	12	86,85	4,016878051
18	87,12	3,382731059	14	87,48	3,922274263
20	88,19	3,40324032	16	90,42	3,464473599
22	89,01	3,319699351	18	92,38	3,230612275
24	91,69	3,119023495	20	93,1	3,205919675
26	94,18	3,104114053	22	94,24	2,994948496
28	95,5	3,020832593	24	96,68	2,982444338
30	97,16	3,082241843	26	99,97	3,145696072
32	97,73	3,290587169	28	101,63	3,588294735
34	100,4	3,656714861	30	105,76	3,726703121

36	99,61	3,935203266	32	106,05	4,266820363
38	98,98	4,03757055	34	109,98	4,738977082
40	98,57	3,505855436	36	112,32	5,280003449
42	97,08	3,513871627	38	110,65	4,852927164
44	96,87	3,224290327	40	109,52	4,763387717
46	98,15	3,482837154	42	107,99	4,232605398
48	98,7	3,296651691	44	106,84	3,877749551
50	100,43	3,01795173	46	108,47	3,701519378
52	101,5	3,191483512	48	111,35	3,818700594
54	100,87	3,257129373	50	113,23	3,976466424
56	100,85	3,511211792	52	115,71	4,401753009
58	103,03	3,707172393	54	115,56	4,315594475
60	101,43	3,891875183	56	115,64	4,10553959
62	101,06	4,041398741	58	118,63	4,493313092
64	100,11	3,651483717	60	117,11	4,684757216
66	99,72	3,613732637	62	118,06	4,982615827
68	98,76	3,727452259	64	117,03	5,014519297
70	98,27	3,68552826	66	117,19	5,03996059
72	98,26	3,680629849	68	115,76	5,019463834
74	96,24	3,586678292	70	114,58	4,791619976
76	94,65	3,454571402	72	116,31	5,060119662
78	94,02	3,587935588	74	114,2	4,971439046
80	91,41	3,652013049	76	111,55	4,740676326
82	90,43	3,462768344	78	111,32	4,761042509
84	88,08	3,723157078	80	107,8	4,468075956
86	85,59	3,752318871	82	105,84	4,375300677
88	84,97	3,661439964	84	104,34	4,249924196
90	81,18	3,494534269	86	101,6	4,041531599
92	78,64	3,236125552	88	100,09	4,114945311
94	76,21	3,121019802	90	96,56	3,827071683
96	74,29	3,316916187	92	93,99	3,865517441
98	71,96	3,378665122	94	90,19	4,090287927
100	68,81	3,004363951	96	87,57	4,691148351
102	66,53	3,084331593	98	85,28	4,396895382
2	73,45	2,44843733	100	82,05	4,201154521
4	73,44	2,409843431	102	78,4	3,389676312
6	76,55	2,204532975	104	70,76	2,521088035
8	78,35	2,327926972	2	78,98	3,058493329
10	79,42	2,367402843	4	76,37	2,726232815
12	82,53	3,134341707	6	80,15	3,184881598
14	83,78	3,190608534	8	82,43	3,572337881
16	84,71	3,207928858	10	85,42	3,992421945

18	86,06	3,463109462	12	87,96	3,792683769
20	86,62	3,318372785	14	89,54	3,684595731
22	89,23	3,201662745	16	90,04	3,474471208
24	90,25	3,012181739	18	90,6	3,473667511
26	90,92	3,074811759	20	90,99	3,184645562
28	93,24	2,760484543	22	93,65	3,003327193
30	93,79	2,700348393	24	95,56	3,223157723
32	95,08	2,845574426	26	96,17	3,299321757
34	96,39	2,686073605	28	99,8	3,417598984
36	96,2	2,861418316	30	100,57	3,417661828
38	96,96	2,883438609	32	101,91	3,496469746
40	96,7	3,424442162	34	104,69	3,496254746
42	92,46	2,825160033	36	106,01	3,672685235
44	92,01	2,502061006	38	106,77	3,892371824
46	93,57	2,58967186	40	105,49	3,910510992
48	94,99	2,880867686	42	99,06	3,243318535
50	94,84	2,885932821	44	100,32	2,938114562
52	94,56	3,119539904	46	103,42	2,854542109
54	94,45	3,179313235	48	105,53	3,274753735
56	94,44	3,374053259	50	106,36	3,357334127
58	94,56	3,159389812	52	107,03	3,37112384
60	93,97	2,902888418	54	106,44	3,205015131
62	94,93	2,948367246	56	107,38	3,546300284
64	92,34	2,972670476	58	107,59	3,425351463
66	92,14	3,076278266	60	106,36	3,589790793
68	90,38	3,292805601	62	107,34	3,548237789
70	90,96	3,41234745	64	105,75	3,585929692
72	89,67	3,222191363	66	105,52	3,526592643
74	88,17	3,21758885	68	104,09	3,611354516
76	86,67	3,457305876	70	104,77	3,636158617
78	87,46	3,218156182	72	104,17	3,607010404
80	86,89	3,361457813	74	101,78	3,688033263
82	82,48	2,700388161	76	100,02	3,517445477
84	81,04	2,688231639	78	100,66	3,890467688
86	78,91	2,48902229	80	101,37	3,802580965
88	77,88	2,256719634	82	96,3	3,487058795
90	74,98	2,307959111	84	95,12	3,279439752
92	72,65	2,619071607	86	92,56	3,550113739
94	70,99	2,704282591	88	90,73	3,507049846
96	69,47	2,648793734	90	86,36	4,071129811
98	69,87	2,808041043	92	83,61	3,760752054
100	64,91	2,209009979	94	80,83	3,273901012
102	63	2,205799136	96	79,55	3,419703621

2	73,11	2,552666889	98	80,12	3,315847608
4	74,51	2,275532867	100	75,44	2,939466604
6	76,88	2,107760574	102	73,82	2,738573575
8	78,94	2,530993448	104	70,76	2,521088035
10	79,02	2,56684685	2	73,85	2,478559262
12	83,04	3,139955622	4	74,7	2,389121968
14	84,47	3,234299905	6	77,02	2,566930522
16	85,03	3,510018797	8	80,52	3,365097794
18	86,03	3,592153295	10	82,69	3,619997437
20	88,69	3,193569032	12	86,26	3,603197559
22	89,19	2,995414594	14	88,26	3,410521672
24	89,82	3,231443189	16	90,51	3,25142052
26	91,19	2,986114774	18	91,35	2,926615335
28	93,33	2,750156197	20	93,8	2,819833414
30	94,62	2,718896266	22	94,85	3,001574615
32	95,13	2,809493907	24	95,35	3,007007852
34	97,9	3,07840695	26	97,08	3,184207163
36	97,23	3,144125324	28	99,18	3,314195491
38	98,95	3,227752295	30	100,75	3,295609127
40	96,99	3,211040608	32	101,32	3,309558686
42	91,65	2,308889515	34	104,75	3,686198369
44	93,65	2,767827252	36	106,05	3,760180911
46	92,92	2,876801692	38	107,07	4,018855901
48	94,39	3,021863345	40	106,32	3,405448434
50	94,42	2,816098786	42	96,74	2,402300587
52	95,1	2,832031741	44	101,08	2,916396649
54	93,36	2,834836371	46	102,37	2,568059826
56	93,72	2,693300202	48	103,79	2,882917158
58	93,2	2,823372931	50	103,96	2,982588361
60	91,19	3,206857451	52	105,17	3,114613323
62	90,99	2,866667666	54	104,35	3,136876059
64	89,36	3,119712021	56	104,59	3,127310143
66	89,27	3,051744473	58	105,02	3,142177873
68	87,9	3,189362959	60	102,13	2,923788556
70	87,58	3,214015698	62	103,17	2,800075171
72	86,2	3,30637726	64	100,57	3,26700547
74	85,59	3,30101385	66	101,36	3,026798974
76	82,59	2,908173693	68	99,39	3,064701765
78	83,06	3,077744075	70	99,15	3,119918549
80	83,04	3,205651689	72	98,56	2,856121719
82	82,68	3,107468003	74	97,38	3,234299905
84	77,13	1,839162087	76	94,75	2,997708174
86	77,14	1,958767408	78	94,76	2,884890726

88	77,35	2,031591136
90	73,79	2,444442817
92	72,17	2,383631899
94	69,39	2,246847735
96	69,93	2,318358303
98	65,79	1,824682809
100	65,93	2,067742348
102	66,3	2,065767874
80	94,42	2,809837896
82	95,95	3,210706156
84	91,44	2,978228561
86	88,99	3,432335624
88	88,82	3,457523298
90	84,48	3,647835116
92	82,32	3,535716145
94	78,43	2,750624734
96	78,06	2,907324262
98	75,47	2,56881242
100	74,81	2,702892367
102	74,73	2,763050881
104	73,47	2,779906115